



دانشگاه صنعتی امیرکبیر
(پلی تکنیک تهران)

دانشکده مهندسی برق

کنترل و عیب‌یابی هوشمند

پیاده‌سازی روش‌های هوشمند برای کنترل و عیب‌یابی سیستم وسیله‌ی زیرآبی خودران
(AUV)

نگارش

علی نظامی‌وند چگینی

استاد

دکتر فرزانه عبدالمهی

بهار 1404

چکیده

مقدمه

در سال‌های اخیر، وسایل زیرآبی خودران (AUVs) به عنوان یکی از ابزارهای پیشرفته در حوزه‌های دریایی، نظامی، صنعتی و تحقیقاتی، جایگاه ویژه‌ای یافته‌اند. این وسایل بدون نیاز به کنترل مستقیم انسانی، قادرند مأموریت‌های پیچیده‌ای همچون نقشه‌برداری از بستر دریا، پایش زیست‌محیطی، بازرسی زیرساخت‌های دریایی و عملیات جست‌وجو و نجات را با دقت و بهره‌وری بالا انجام دهند. با گسترش کاربردهای AUV و افزایش پیچیدگی مأموریت‌ها، نیاز به کنترل دقیق، پایدار و مقاوم در برابر اغتشاشات و خطاهای عملکردی این سیستم‌ها بیش از پیش احساس می‌شود.

از سوی دیگر، به دلیل عملکرد مستقل و حضور طولانی‌مدت در محیط‌های ناشناخته و متغیر زیرآبی، سیستم‌های AUV در معرض انواع خطاهای سنسوری، عملگری و ساختاری قرار دارند. شناسایی سریع و دقیق این خطاها، و اعمال اقدامات کنترلی مناسب به منظور حفظ پایداری و ایمنی سیستم، از جمله چالش‌های اساسی در توسعه AUV های پیشرفته به شمار می‌رود.

در این راستا، بهره‌گیری از روش‌های **کنترل و عیب‌یابی هوشمند** مبتنی بر یادگیری ماشین، شبکه‌های عصبی، منطق فازی و الگوریتم‌های تطبیقی، راهکاری مؤثر جهت افزایش قابلیت اطمینان، انعطاف‌پذیری و عملکرد این سیستم‌ها فراهم می‌سازد. هدف این مقاله، بررسی و توسعه چارچوبی هوشمند برای کنترل و شناسایی عیب در AUV ها با تکیه بر مدل‌سازی دقیق دینامیکی، طراحی کنترلرهای مقاوم و بهره‌گیری از ساختارهای یادگیری تطبیقی است.

واژه‌های کلیدی:

کنترل، عیب‌یابی، سیستم‌های هوشمند، شبکه‌های عصبی، سیستم تعلیق هوشمند خودرو

صفحه	فهرست مطالب
1	فصل اول: مقدمه و مدل سازی سیستم.....
2	معرفی سیستم.....
5	مدل سازی سیستم.....
8	مدل سازی خطا و توصیف دیتاست.....
11	فصل دوم: عیب یابی مبتنی بر روش Model Based.....
12	معرفی روش MLP.....
14	طراحی سیستم تشخیص خطا برای وسیله زیرآبی خودگردان (AUV).....
16	نتایج شبیه سازی.....
20	جمع بندی نهایی و پیشنهادات بهبود.....
21	فصل سوم: عیب یابی مبتنی بر روش SVM.....
22	معرفی روش SVM.....
24	آماده سازی و تقسیم بندی داده ها.....
24	استخراج ویژگی های فرکانسی.....
25	کاهش ابعاد با نمونه برداری و انتخاب ویژگی.....
25	ساخت مدل طبقه بندی با استفاده از SVM.....
26	تنظیم پارامترها و انتخاب مقادیر عددی.....
28	نتایج شبیه سازی.....
34	پیشنهادهای برای بهبود مدل.....
35	فصل چهارم: عیب یابی مبتنی بر روش DBN.....
36	معرفی روش DBN.....
38	پردازش داده ها و آماده سازی آنها.....
39	ساخت و آموزش مدل های RBM (Restricted Boltzmann Machine).....
40	ساخت مدل DBN (Deep Belief Network).....
40	عددگذاری ها (Hyperparameter Tuning).....
41	نتایج شبیه سازی.....
44	فصل پنجم: عیب یابی مبتنی بر بازسازی داده ها با استفاده از Autoencoder.....
45	معرفی روش.....
46	پیش پردازش و آماده سازی داده ها برای آموزش مدل تشخیص خطا.....
47	مدل Autoencoder مبتنی بر شبکه های عصبی چندلایه (MLP) برای تشخیص ناهنجاری.....

48	نتایج مدل اول
51	مدل Autoencoder Variational (VAE) برای شناسایی ناهنجاری‌ها و ارزیابی
52	نتایج مدل دوم
55	نتیجه گیری کلی
57	فصل ششم: عیب‌یابی مبتنی بر CNN
58	معرفی روش عیب‌یابی مبتنی بر CNN
59	پیش پردازش و آماده سازی داده ها
61	مدل سازی و آموزش شبکه عصبی
63	نتایج شبیه سازی
66	نتیجه گیری کلی
67	فصل هفتم: عیب‌یابی با استفاده از شبکه Resnet
68	معرفی شبکه Resnet
69	پیش پردازش داده ها
70	ساختار مدل
72	نتایج شبیه سازی
76	نتیجه گیری کلی و پیشنهادات
78	فصل هشتم: عیب‌یابی مبتنی بر TL
79	معرفی روش
80	پیش پردازش داده ها
82	معرفی مدل اول: Resnet1D
82	ساختار مدل اول
83	نتایج مدل اول
85	معرفی مدل دوم: Resnet50
86	ساختار مدل دوم
87	نتایج مدل دوم
91	معرفی مدل سوم : VGG16
92	ساختار مدل سوم
93	نتایج مدل سوم
96	معرفی مدل چهارم: Mobilenet
97	ساختار مدل چهارم
98	نتایج مدل چهارم
101	نتیجه گیری کلی و مقایسه مدل ها

103	نتیجه نهایی و پیشنهادات.....
104	فصل نهم: عیب یابی مبتنی بر RL.....
105	معرفی روش.....
106	آماده سازی داده ها.....
107	طراحی محیط تقویتی AUV برای تشخیص عیب.....
107	شیوه ی پاداش دهی پویا (Dynamic Rewarding).....
109	مدل اول : DQN + Resnet Feature Extractor.....
112	نتایج مدل اول.....
115	مدل دوم : Proximal Policy Optimization (PPO).....
117	نتایج مدل دوم.....
121	نتایج و مقایسه مدل ها.....
122	فصل دهم: جمع بندی و نتیجه گیری.....
123	ارزیابی هر روش.....
127	نتیجه گیری کلی.....
128	منابع و مراجع.....

شکل 1-1 تصویر کلی از سیستم AUV با 6 درجه آزادی.....	4
شکل 1-2 نتایج شبیه سازی.....	17
شکل 1-3 ماتریس آشفتگی (a).....	29
شکل 2-3 ماتریس آشفتگی (b).....	30
شکل 1-4 ماتریس آشفتگی.....	41
شکل 1-5 ساختار روش عیب یابی با استفاده از Auto Encoder.....	46
شکل 2-5 نتایج شبیه سازی مدل اول.....	49
شکل 3-5 نتایج شبیه سازی مدل دوم.....	53
شکل 1-6 ساختار شبکه.....	58
شکل 2-6 نمودار دقت و هزینه در طول آموزش.....	63
شکل 3-6 ماتریس سردرگمی.....	64
شکل 1-7 کاربرد Resnet در عیب یابی سیستم مورد نظر.....	69
شکل 2-7 ماتریس سردرگمی.....	73
شکل 3-7 بررسی هزینه و دقت در طول آموزش.....	74
شکل 1-8 استفاده از TL در عیب یابی AUV.....	80
شکل 2-8 بررسی هزینه و دقت در طول آموزش مدل دوم.....	88
شکل 3-8 ماتریس سردرگمی مدل دوم.....	89
شکل 4-8 هزینه و دقت در طول آموزش مدل سوم.....	94
شکل 5-8 ماتریس سردرگمی مدل سوم.....	95
شکل 6-8 هزینه و دقت در طول آموزش مدل چهارم.....	98

شکل 8-7	ماتریس سردرگمی مدل چهارم.....	99
شکل 9-1	عیب یابی AUV با استفاده از RL.....	105
شکل 9-2	نمودار دقت و پاداش در طول آموزش مدل اول.....	112
شکل 9-3	نمودار پاداش در طول آموزش مدل اول.....	113
شکل 9-4	ماتریس سردرگمی مدل اول.....	114
شکل 9-5	بررسی مدل دوم در طول آموزش.....	117
شکل 9-6	بررسی پاداش در طول آموزش مدل دوم.....	119
شکل 9-7	ماتریس سردرگمی مدل دوم.....	120

صفحه

فهرست جداول

جدول 1-3 نتایج شبیه سازی (classification report).....	31
جدول 1-6 نتایج شبیه سازی (بررسی معیار های آموزش).....	65
جدول 1-7 ارزیابی مدل.....	74
جدول 1-8 معیار های ارزیابی مدل دوم.....	90
جدول 2-8 معیار های ارزیابی مدل سوم.....	95
جدول 3-8 معیارهای ارزیابی مدل چهارم.....	100
جدول 4-8 مقایسه مدل ها.....	101
جدول 1-10 مقایسه روش های عیب یابی.....	126

فصل اول:

مقدمه و مدل سازی سیستم

معرفی سیستم

سیستم مورد استفاده در این پژوهش، یک وسیله نقلیه زیردریایی خودران (Autonomous Underwater Vehicle – AUV) به نام «Haizhe» است که به صورت خاص برای انجام مطالعات و آزمایش‌های مربوط به حرکت و پایداری در محیط‌های دریایی طراحی و توسعه یافته است. این سیستم در آزمایشگاه سامانه‌های الکترونیک دریایی و هوشمند دانشگاه ژجیانگ چین ساخته شده و ساختار آن به گونه‌ای طراحی شده که بتواند در شرایط واقعی زیر آب به صورت مستقل حرکت کند و داده‌های دینامیکی متعددی از وضعیت خود جمع‌آوری نماید.

«Haizhe» از نوع کوادروتور است و از چهار موتور براشلس (مدل SUNNYSKY A2212 KV980) بهره می‌برد که هر یک به ملخ‌های سه‌پره با قطر خارجی ۵۵ میلی‌متر و گام ۸۰ میلی‌متر متصل هستند. برای کنترل سرعت موتورها از چهار کنترلر الکترونیکی سرعت (ESC) مدل HOBBYWING Skywalker 20A استفاده شده است. این سیستم همچنین به یک واحد پردازنده مرکزی STM32F407VET6 مجهز است که وظیفه اجرای برنامه‌ها، دریافت داده‌ها و مدیریت عملکرد اجزای مختلف را بر عهده دارد.

در زمینه سنجش و دریافت اطلاعات محیطی و حرکتی، «Haizhe» دارای یک سنسور عمق مدل MS5803-01BA و یک واحد اندازه‌گیری اینرسی (IMU) نه‌محوره مدل GY-MPU9250 است که اطلاعاتی شامل شتاب، سرعت زاویه‌ای، زاویه‌های رول، پیچ و یاو، فشار، و عمق را با دقت بالا ثبت می‌کند. داده‌های تولید شده در هر بار حرکت، از طریق سیستم ثبت اطلاعات ذخیره می‌شوند و امکان بازیابی و تحلیل پس از انجام آزمایش‌ها را فراهم می‌کنند.

فرایند عملکرد سیستم شامل مراحل آماده‌سازی، اجرای برنامه، حرکت در زیر آب به مدت ۱۰ تا ۲۰ ثانیه، ثبت پیوسته داده‌های وضعیت، و در نهایت بازگشت به سطح و ذخیره داده‌ها در حافظه داخلی است. فایل‌های ثبت‌شده به صورت نمونه‌هایی مجزا برای تحلیل‌های بعدی در قالب فایل‌های متنی (CSV) نگهداری می‌شوند.

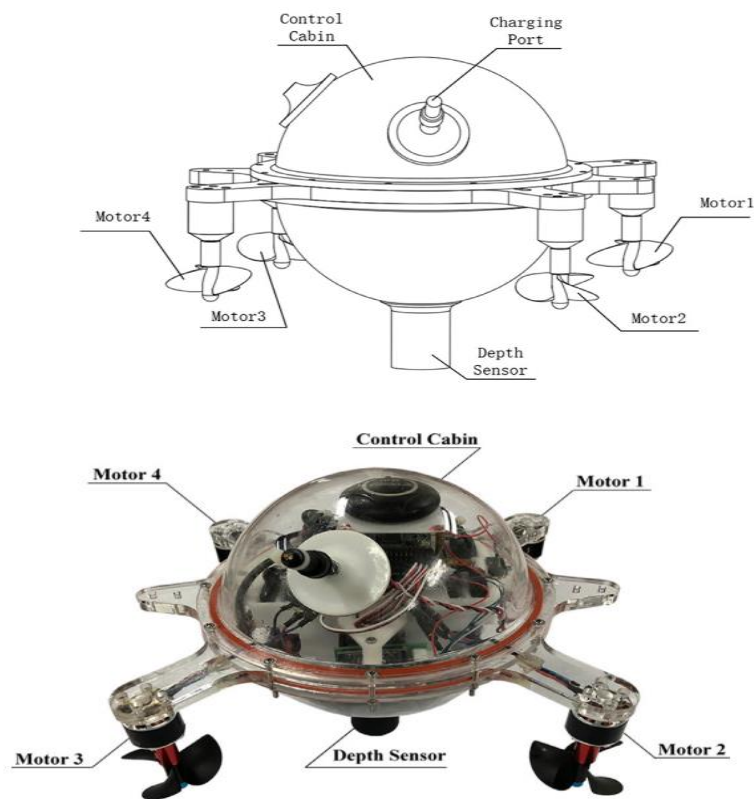
طراحی ماژولار و دقیق سیستم «Haizhe» به گونه ای است که امکان کنترل کامل بر اجزای حرکتی، جمع آوری داده های وضعیت به صورت جامع، و اعمال شرایط گوناگون عملیاتی را فراهم می کند. این ویژگی ها باعث شده اند که این سیستم به بستری مناسب برای پژوهش در حوزه های دینامیک زیرآبی، تحلیل داده های حرکتی، و بررسی واکنش های سیستماتیک در برابر شرایط متغیر محیطی تبدیل شود. سیستم مورد استفاده در این پژوهش، یک وسیله نقلیه زیردریایی خودران (Autonomous Underwater Vehicle – AUV) به نام «Haizhe» است که به صورت خاص برای انجام مطالعات و آزمایش های مربوط به حرکت و پایداری در محیط های دریایی طراحی و توسعه یافته است. این سیستم در آزمایشگاه سامانه های الکترونیک دریایی و هوشمند دانشگاه ژجیانگ چین ساخته شده و ساختار آن به گونه ای طراحی شده که بتواند در شرایط واقعی زیر آب به صورت مستقل حرکت کند و داده های دینامیکی متعددی از وضعیت خود جمع آوری نماید.

«Haizhe» از نوع کوادروتور است و از چهار موتور براشلس (مدل SUNNYSKY A2212 KV980) بهره می برد که هر یک به ملخ های سه پره با قطر خارجی ۵۵ میلی متر و گام ۸۰ میلی متر متصل هستند. برای کنترل سرعت موتورها از چهار کنترلر الکترونیکی سرعت (ESC) مدل HOBBYWING Skywalker 20A استفاده شده است. این سیستم همچنین به یک واحد پردازنده مرکزی STM32F407VET6 مجهز است که وظیفه اجرای برنامه ها، دریافت داده ها و مدیریت عملکرد اجزای مختلف را بر عهده دارد.

در زمینه سنجش و دریافت اطلاعات محیطی و حرکتی، «Haizhe» دارای یک سنسور عمق مدل MS5803-01BA و یک واحد اندازه گیری اینرسی (IMU) نه محوره مدل GY-MPU9250 است که اطلاعاتی شامل شتاب، سرعت زاویه ای، زاویه های رول، پیچ و یاو، فشار، و عمق را با دقت بالا ثبت می کند. داده های تولید شده در هر بار حرکت، از طریق سیستم ثبت اطلاعات ذخیره می شوند و امکان بازیابی و تحلیل پس از انجام آزمایش ها را فراهم می کنند.

فرایند عملکرد سیستم شامل مراحل آماده سازی، اجرای برنامه، حرکت در زیر آب به مدت ۱۰ تا ۲۰ ثانیه، ثبت پیوسته داده های وضعیت، و در نهایت بازگشت به سطح و ذخیره داده ها در حافظه داخلی است. فایل های ثبت شده به صورت نمونه هایی مجزا برای تحلیل های بعدی در قالب فایل های متنی (CSV) نگهداری می شوند.

طراحی ماژولار و دقیق سیستم «Haizhe» به گونه ای است که امکان کنترل کامل بر اجزای حرکتی، جمع آوری داده های وضعیت به صورت جامع، و اعمال شرایط گوناگون عملیاتی را فراهم می کند. این ویژگی ها باعث شده اند که این سیستم به بستری مناسب برای پژوهش در حوزه های دینامیک زیرآبی، تحلیل داده های حرکتی، و بررسی واکنش های سیستماتیک در برابر شرایط متغیر محیطی تبدیل شود.



شکل 1-1 تصویر کلی از سیستم AUV با 6 درجه آزادی

مدل سازی سیستم

خودران (AUV) در شش درجه آزادی بررسی می شود. مدل مورد استفاده از روابط غیرخطی مبتنی بر دینامیک نیوتن-اولر پیروی می کند و رفتار سیستم را در فضای متشکل از موقعیت ها و سرعت های خطی و زاویه ای مدل می نماید.

فضای حالت

فضای حالت سیستم از ۱۲ متغیر حالت تشکیل شده است که به صورت زیر تعریف می شوند:

$$x = \begin{bmatrix} \eta \\ \nu \end{bmatrix} = [x \ y \ z \ \phi \ \theta \ \psi \ u \ v \ w \ p \ q \ r]^T$$

که در آن:

(x, y, z): موقعیت خطی وسیله در فضای اینرسی؛

(ϕ, θ, ψ): زوایای اوایلر (حرکات رول، پیچ و یاء)؛

(u, v, w): سرعت های خطی در راستای محورها؛

(p, q, r): سرعت های زاویه ای حول محورها.

مدل سینماتیکی

مدل سینماتیکی معادلات تبدیل بین سرعت ها و نرخ تغییر موقعیت ها را بر اساس زوایای اوایلر ارائه می دهد:

$$\dot{\eta} = \begin{bmatrix} R(\phi, \theta, \psi) & 0 \\ 0 & T(\phi, \theta) \end{bmatrix} \nu$$

مدل دینامیکی

معادلات دینامیکی وسیله بر اساس نیروهای اعمالی و تاثیرات دینامیکی سیستم به صورت زیر مدل می شوند:

$$M\dot{\nu} + C(\nu)\nu + D\nu + g(\eta) = \tau$$

که در آن:

M : ماتریس جرم و جرم افزوده؛

$C(\nu)$: ماتریس کوریولیس و سانترفیوژ؛

D : ماتریس میرایی؛

$g(\eta)$: نیروی گرانش و شناوری؛

τ : نیروی کنترلی و ورودی ها.

ماتریس کوریولیس

ماتریس کوریولیس و گریز از مرکز $C(\nu)$ به صورت زیر تعریف می شود:

$$C(\nu) = 10 \cdot \begin{bmatrix} 0 & 0 & 0 & 0 & -w & v \\ 0 & 0 & 0 & w & 0 & -u \\ 0 & 0 & 0 & -v & u & 0 \\ 0 & -w & v & 0 & -r & q \\ w & 0 & -u & r & 0 & -p \\ -v & u & 0 & -q & p & 0 \end{bmatrix}$$

نیروی شناوری و گرانش

اثر گرانش و شناوری به صورت زیر مدل می شود:

$$g(\eta) = \begin{bmatrix} 0 \\ 0 \\ 9.81(\rho - \rho_w) \\ 0 \\ 0 \\ 0 \end{bmatrix}$$

معادلات اندازه گیری

برای اندازه گیری خروجی سیستم از رابطه زیر استفاده شده است:

$$y = Cx$$

که در آن ماتریس C خروجی های ψ , θ , φ , z را استخراج می کند.

$$C = \begin{bmatrix} 0 & 0 & 1 & 0 & 0 & 0 & 0 & 0 & 0 & 0 & 0 & 0 \\ 0 & 0 & 0 & 1 & 0 & 0 & 0 & 0 & 0 & 0 & 0 & 0 \\ 0 & 0 & 0 & 0 & 1 & 0 & 0 & 0 & 0 & 0 & 0 & 0 \\ 0 & 0 & 0 & 0 & 0 & 1 & 0 & 0 & 0 & 0 & 0 & 0 \end{bmatrix}$$

مدل سازی خطا و توصیف دیتاست

در شرایط عملیاتی دنیای واقعی، وسایل نقلیه زیرآبی خودمختار (AUV) ممکن است با انواع مختلفی از خطاها مواجه شوند که می توانند باعث کاهش عملکرد، بروز رفتارهای ناایمن، یا حتی شکست کامل مأموریت شوند. از این رو، توسعه ی سامانه های تشخیص و شناسایی خطا (FDD) برای اطمینان از ایمنی و پایداری عملکرد این سیستم ها ضروری است.

مدل سازی خطاها

در این مطالعه، دو دسته اصلی از خطاها مدل سازی شده اند:

1. خطاهای عملگر (تراسترها یا پروانه ها):

این خطاها، کاهش یا از دست رفتن بخشی از عملکرد عملگرها را نشان می دهند و به صورت ضریب کاهنده در ورودی کنترلی τ مدل سازی شده اند. ورودی کنترلی در شرایط وجود خطا، به صورت زیر تعریف می شود:

$$\tau_f = T_A \cdot \tau$$

که در آن، T_A یک ماتریس قطری 6×6 است که هر عنصر آن نشان دهنده میزان سلامت هر عملگر می باشد. مقدار 1 به معنای سلامت کامل عملگر و مقادیر کمتر از 1 نشان دهنده کاهش عملکرد یا خرابی جزئی هستند.

2. خطاهای حسگر (سنسورها):

خطاهای حسگر به صورت بایاس یا تغییر تدریجی در اندازه گیری مدل سازی شده اند. خروجی اندازه گیری شده در حضور خطا به صورت زیر بیان می شود:

$$y_f = Cx + T_S$$

که در آن، $TS \in R^{4 \times 1}$ بردار خطای حسگر است که نشان دهنده بایاس ثابت یا کند تغییر در هر کانال اندازه گیری می باشد. این نوع خطا ممکن است ناشی از نقص در سنسور عمق، ژيروسکوپ یا زاویه سنج باشد.

این مدل های خطا به صورت مصنوعی در محیط شبیه سازی AUV تزریق می شوند تا رفتار واقعی سیستم در حضور خطا را بازسازی کرده و داده های مناسب برای آموزش مدل های تشخیص خطا فراهم کنند.

توصیف دیتاست

برای آموزش و ارزیابی مدل های تشخیص و شناسایی خطا، یک دیتاست مصنوعی بر پایه شبیه سازی های دینامیکی AUV در شرایط مختلف (عادی و خطا دار) تولید شده است. این دیتاست شامل موارد زیر است:

- **ویژگی های ورودی:** توالی های زمانی از مشاهدات جزئی سیستم (خروجی های y ، ورودی های کنترلی u و در صورت نیاز متغیرهای حالت کامل) x برای آموزش شناساگر یا تخمین زن خطا.
- **خروجی ها (برچسب ها):** مقادیر واقعی ماتریس خطای عملگر TA و بردار خطای حسگر TS که به عنوان هدف در یادگیری نظارت شده استفاده می شوند.

مشخصات اصلی دیتاست:

- **نرخ نمونه برداری:** داده ها با فرکانس مشخص (مثلاً 100 هرتز) نمونه برداری شده اند.
- **طول توالی:** هر نمونه آموزشی شامل یک پنجره زمانی (مثلاً 50 تا 100 گام زمانی) از داده ها است.
- **سناریوهای خطا:** سناریوهای متنوعی از خطا مدل سازی شده اند، از جمله:

➤ خرابی جزئی در یک عملگر،

➤ ترکیب خطاهای عملگر و حسگر،

➤ شروع ناگهانی یا تدریجی خطا.

این داده ها به سه بخش آموزش، اعتبارسنجی و آزمون تقسیم شده اند تا توانایی تعمیم مدل ها به درستی ارزیابی شود. استفاده از داده های مصنوعی ولی فیزیکی-معتبر، امکان برچسب گذاری دقیق خطا و انجام آزمایش های کنترل شده را فراهم می سازد.

فصل دوم:

عیب یابی مبتنی بر روش Model Based

معرفی روش MLP

معرفی روش عیب یابی مبتنی بر مدل (Model-Based Fault Diagnosis)

روش عیب یابی مبتنی بر مدل یکی از رویکردهای پیشرفته و پرکاربرد در سامانه های کنترل و مانیتورینگ است که بر مبنای استفاده از یک مدل ریاضی یا فیزیکی از سیستم واقعی طراحی می شود. در این روش، رفتار سیستم در شرایط عادی (بدون خطا) توسط یک مدل دقیق شبیه سازی شده و با رفتار واقعی سیستم مقایسه می شود. انحراف یا اختلاف بین این دو (که به آن باقیمانده یا *residual* گفته می شود)، به عنوان نشانه ای از وجود خطا تلقی می گردد.

اصول کلی روش Model-Based

رویکرد مبتنی بر مدل بر اساس سه مرحله ای اصلی پیاده سازی می شود:

1. مدل سازی دینامیکی سیستم:

ابتدا یک مدل دینامیکی دقیق یا تقریبی از سیستم طراحی می شود که می تواند شامل مدل های خطی یا غیرخطی، گسسته یا پیوسته باشد. این مدل می تواند از طریق قوانین فیزیکی مدل های (white-box)، شناسایی سیستم (grey-box)، یا تخمین مبتنی بر داده (data-driven/black-box) به دست آید.

2. تولید باقیمانده: (Residual Generation)

با استفاده از مدل سیستم و سیگنال های ورودی و خروجی واقعی، مقدار باقیمانده تعریف می شود که به صورت تفاوت بین خروجی واقعی سیستم و خروجی پیش بینی شده توسط مدل است:

$$r(t) = y_{\text{measured}}(t) - y_{\text{model}}(t)$$

اگر خطایی وجود نداشته باشد، مقدار $r(t)$ باید نزدیک به صفر یا در محدوده نویز باشد. اما در صورت وقوع خطا، این مقدار به طور معنی داری از صفر منحرف خواهد شد.

3. تحلیل باقیمانده و تصمیم گیری:

با تحلیل سیگنال باقیمانده و الگوهای آن، می توان نوع، محل و شدت خطا را تشخیص داد. این

تحلیل می‌تواند به صورت آستانه‌گذاری ساده، استفاده از فیلترهای انطباقی، یا حتی بهره‌گیری از الگوریتم‌های یادگیری ماشین و شبکه‌های عصبی برای طبقه‌بندی خطا انجام شود.

مزایای روش مبتنی بر مدل

- **قابلیت تفسیر بالا:** به دلیل استفاده از مدل‌های فیزیکی، این روش به‌خوبی قابل تفسیر است و با دانش مهندسی سیستم هم‌راستا می‌باشد.
- **تشخیص زودهنگام خطا:** انحراف‌های جزئی نیز می‌توانند با دقت بالا شناسایی شوند.
- **قابلیت تشخیص و جداسازی انواع مختلف خطا: (FDI)** در بسیاری از موارد، می‌توان خطاها را نه تنها تشخیص، بلکه از یکدیگر نیز تمایز داد.

چالش‌ها و محدودیت‌ها

- **نیاز به مدل دقیق:** صحت روش به شدت وابسته به دقت مدل سیستم است.
- **حساسیت به نویز و تغییرات پارامترها:** مدل ممکن است در شرایط نویزی یا تغییر رفتار سیستم، دچار خطا شود.
- **پیچیدگی پیاده‌سازی برای سیستم‌های غیرخطی یا بزرگ مقیاس:** در سیستم‌های پیچیده، ساخت مدل دقیق ممکن است دشوار یا زمان‌بر باشد.

کاربردها

روش‌های مبتنی بر مدل در صنایع مختلفی از جمله:

- هوافضا) برای تشخیص خطا در هواپیما یا (AUV
- صنعت خودروسازی (خطا در حسگرها یا موتور)
- نیروگاه‌ها (عیب‌یابی در توربین‌ها یا بویلر)
- رباتیک و سامانه‌های خودران

به کار گرفته می‌شوند.

طراحی سیستم تشخیص خطا برای وسیله زیرآبی خودگردان (AUV)

در این پروژه، هدف طراحی یک سامانه تشخیص خطا بر پایه شبکه‌های عصبی برای وسیله زیرآبی خودگردان (AUV) غیرخطی است. مدل دینامیکی سیستم دارای ۱۲ حالت، ۶ ورودی کنترلی و ۴ خروجی اندازه‌گیری شده می‌باشد. پنج نوع حالت عملکرد برای سیستم در نظر گرفته شده است: عملکرد نرمال، خرابی خفیف در پیشران، خرابی شدید در پیشران، خرابی حسگر عمق، و افزایش بار.

ساختار مدل

کلاس 'AUV_Nonlinear_System' برای شبیه‌سازی دینامیک سیستم طراحی شده است. معادلات سینماتیکی و دینامیکی سیستم شامل ماتریس‌های جرم (M)، میرایی (D)، گرانش و بویانسی (g) و ماتریس کوریولیس می‌باشند. معادلات چرخش نیز بر اساس زوایای اویلر تعریف شده‌اند.

شبکه‌های طراحی شده

برای هر یک از بخش‌های زیر یک شبکه MLP طراحی شده است: کنترل‌کننده (Controller): ورودی شامل حالت واقعی و مرجع است (۲۴ بعدی)، خروجی ۶ نیروی کنترلی تولید می‌کند.

شناساگر (Identifier): برای برآورد حالت فعلی سیستم.

تخمین گر خطای محرک (T_A model)

تخمین گر خطای حسگر (T_S model)

نحوه آموزش

در هر اپیزود آموزشی:

1. ابتدا سیستم ریست می شود.
2. با استفاده از مقادیر حالت و مرجع، کنترل کننده نیروی کنترلی τ را تخمین می زند.
3. سیستم با استفاده از τ و حالت خطا (در صورت وجود) به روز می شود.
4. خروجی سیستم و حالت تخمین زده شده ثبت می شود.
5. خطاهای تخمین برای آموزش شبکه های شناساگر و تخمین گر استفاده می شود
6. خطای تعقیب بین حالت واقعی و مرجع برای آموزش کنترل کننده به کار می رود.

شرایط خطا

در بازه های مشخصی از زمان، خطاهای زیر به سیستم اعمال می شوند:

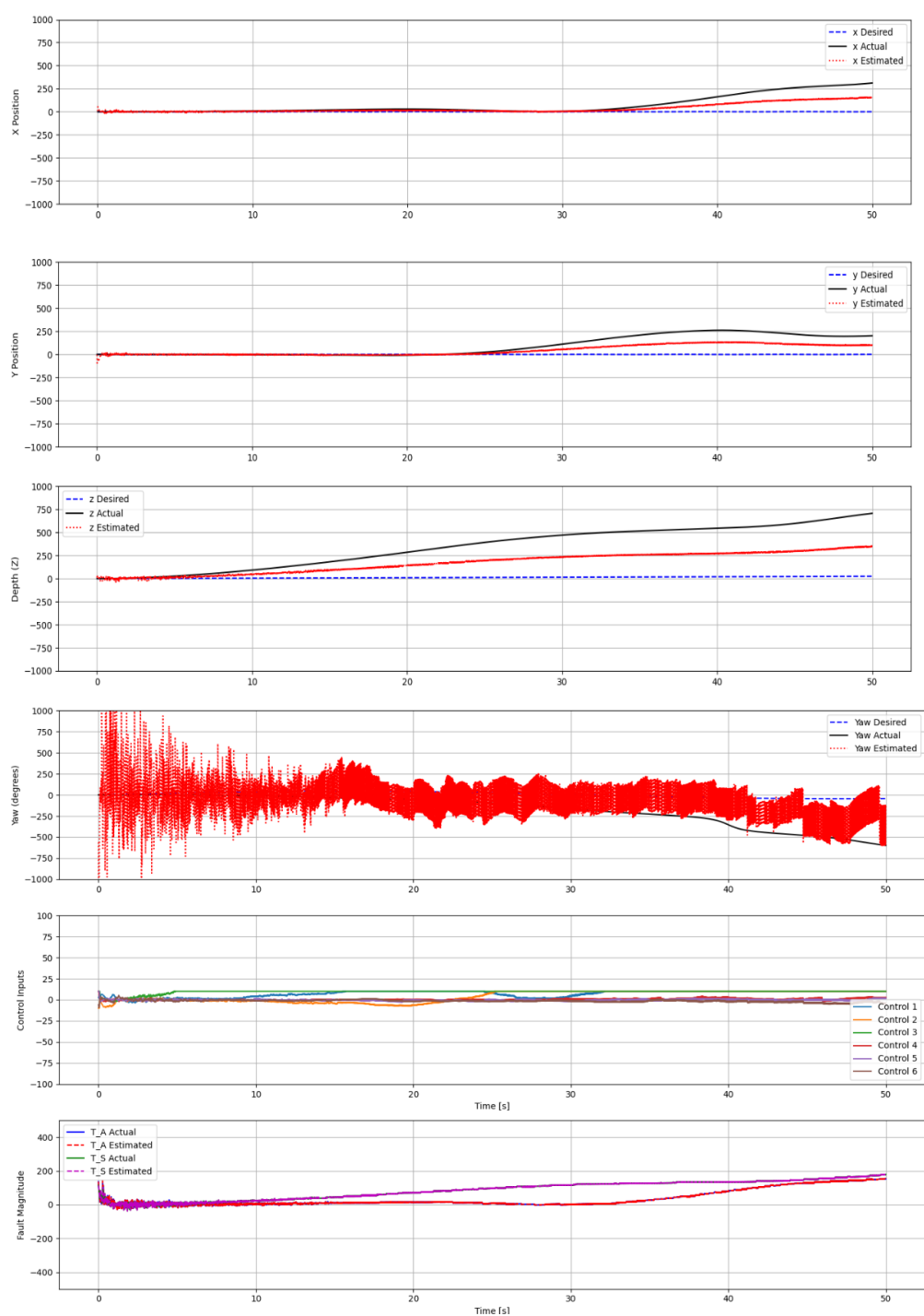
`propeller_slight` : در گام های زمانی ۲۰ تا ۲۵

نتایج

در پایان هر ۱۰ دوره، میانگین خطای برآورد حالت (e_x) گزارش می شود. این اطلاعات می تواند برای تحلیل دقت مدل تشخیص خطا و توانایی شبکه ها در تعقیب مسیر استفاده شود.

نتایج شبیه سازی

در شبیه سازی صورت گرفته، رفتار دینامیکی AUV غیرخطی در شش درجه آزادی تحت ورودی های کنترلی تولید شده توسط شبکه ی عصبی چندلایه (MLP) و در حضور خطای جزئی پروانه (بین زمان های ۲۰ تا ۲۵ ثانیه) مدل سازی شد. در هر گام زمانی، کنترل کننده مقدار نیروی لازم را با رعایت محدودیت های اعمالی محاسبه کرده و سیستم با معادلات سینماتیکی و دینامیکی به روز می شود. هم زمان، شناساگر و تخمین گرهای خطای محرک و حسگر به صورت آنلاین وضعیت و بایاس های ایجاد شده را برآورد می کنند. تمامی مقادیر حالت واقعی، حالت تخمین زده، ورودی کنترلی و برآوردهای خطا در هر گام ذخیره شد تا عملکرد سامانه در تعقیب مسیر مرجع و دقت شناسایی خطا مورد ارزیابی قرار گیرد. نتیجه نشان داد که شبکه ها توانایی سازگاری سریع با خطا و حفظ پایداری سیستم را دارند.



شکل 1-2 نتایج شبیه سازی

در این شبیه‌سازی، عملکرد سامانه کنترل‌کننده و سیستم تخمین خطا برای یک وسیله زیردریایی خودمختار (AUV) بررسی شده و خروجی‌ها به صورت نمودارهای زمانی در شش محور ارائه شده‌اند. این نتایج برای ارزیابی توانایی سیستم در پیروی از مسیر مرجع، پایداری کنترلی، و همچنین دقت در تخمین خطاهای محرک و حسگر تحلیل شده‌اند.

1. نمودار موقعیت در محور (X-Position) X

در ابتدای حرکت، پاسخ واقعی (خط سیاه) و مقدار تخمین‌زده‌شده (خط قرمز نقطه‌چین) تطابق مناسبی با مسیر مرجع (خط آبی نقطه‌چین) دارند. اما با گذشت زمان، به‌ویژه در انتهای بازه زمانی (حدود ثانیه ۴۵ به بعد)، انحراف محسوسی بین مقدار واقعی و مقدار مرجع مشاهده می‌شود. تخمین‌گر نیز با وجود حفظ روند مشابه، دچار مقداری انحراف نسبت به مسیر مطلوب شده است. این موضوع نشان‌دهنده ضعف کنترل‌گر در جبران خطای تجمعی بلندمدت یا وجود دینامیک‌هایی است که در مدل کنترل لحاظ نشده‌اند.

2. نمودار موقعیت در محور (Y-Position) Y

رفتار محور Y نیز مشابه محور X است. تا حدود ثانیه ۳۰ سیستم عملکرد نسبتاً مناسبی دارد و مقدار واقعی مسیر مرجع را دنبال می‌کند. اما از آن به بعد، به‌ویژه نزدیک به پایان بازه زمانی، شاهد کاهش دقت در پیروی از مسیر مطلوب هستیم. تخمین‌گر با وجود اینکه رفتار سیستم را بازسازی می‌کند، اما تخمین‌ها از مسیر مرجع فاصله می‌گیرند. این رفتار ممکن است ناشی از اثرات ترکیبی اغتشاشات، خطاهای مدل، یا اشباع عملگرها باشد که در طراحی کنترل لحاظ نشده‌اند.

3. نمودار عمق (Z-Position) یا (Depth) Depth

در این نمودار، فاصله قابل توجهی میان مسیر مطلوب (Z Desired) و مسیر واقعی (Z Actual) وجود دارد. هرچند روند حرکتی تقریباً مشابه است، اما میزان خطای حالت ایستا (steady-state error) در طول شبیه‌سازی حفظ می‌شود. نکته مثبت آن است که تخمین‌گر خطای عمق را با دقت خوبی دنبال کرده است. این نشان می‌دهد که سیستم تشخیص خطا به‌خوبی توانسته دینامیک عمق را مدل کند، اما کنترل‌ر در به صفر رساندن خطای حالت ایستا دچار ضعف است.

4. نمودار زاویه انحراف (Yaw)

یکی از چالش برانگیزترین خروجی‌های این شبیه‌سازی مربوط به محور Yaw است. در این محور، تخمین‌گر نوسانات شدیدی دارد، به‌ویژه در ۲۰ ثانیه ابتدایی شبیه‌سازی. همچنین انطباق بین مسیر مرجع و پاسخ واقعی ضعیف‌تر از سایر محورهاست. وجود نوسانات و عدم پایداری ممکن است ناشی از کمبود داده آموزشی برای شبکه‌های تخمین‌گر، دینامیک غیرخطی پیچیده‌تر این زاویه، یا حساسیت بالای این پارامتر به اغتشاشات باشد.

5. نمودار سیگنال‌های کنترلی

در این نمودار، رفتار شش سیگنال کنترلی ارائه شده است. سیگنال‌ها به‌خوبی در محدوده پایداری باقی مانده‌اند و فاقد تغییرات ناگهانی یا اشباع هستند. این موضوع نشان‌دهنده عملکرد پایدار کنترل‌کننده در تولید سیگنال‌های معقول و پاسخ‌گو به خطاها و اغتشاشات است.

6. نمودار تخمین خطاهای محرک و حسگر (T_S و T_A)

این نمودار از موفق‌ترین نتایج شبیه‌سازی است. در آن مشاهده می‌شود که تخمین‌گر خطا (احتمالاً شبکه‌های عصبی پیش‌بینی‌کننده) توانسته‌اند با دقت بالا خطاهای واقعی را بازسازی کنند. خطوط واقعی و تخمینی تقریباً منطبق هستند که بیانگر توانمندی سیستم تشخیص خطا در تفکیک خطاهای محرک (actuator fault) و حسگر (sensor fault) است.

جمع بندی نهایی و پیشنهادات بهبود

بر اساس تحلیل بالا، می توان نتایج را در سه دسته زیر خلاصه کرد:

رسیدن به شرایط مطلوب: محورهای کنترل ورودی (نمودار پنجم) و تخمین خطا (نمودار ششم) به خوبی و با دقت بالا به نتایج مطلوب دست یافته اند.

نزدیکی به شرایط مطلوب: در محورهای موقعیت X ، Y و عمق Z ، پاسخ سیستم به مسیر مرجع نزدیک است اما با انحرافات به ویژه در انتهای بازه زمانی همراه است.

عدم تحقق شرایط مطلوب: در محور Yaw ، ناپایداری و انحراف شدید از مسیر مطلوب مشاهده می شود که نیازمند بهبود اساسی در بخش کنترل و تخمین این متغیر است.

پیشنهادهای برای بهبود مدل:

بازطراحی کنترلر با لحاظ کردن مدل های غیرخطی دقیق تر: استفاده از کنترل کننده هایی مانند LQR غیرخطی، کنترل مقاوم (H -infinity)، یا کنترل تطبیقی می تواند دقت در مقابله با خطاهای بلندمدت را بهبود دهد.

بهبود شبکه های تخمین گر (Estimator): استفاده از ساختارهای پیچیده تر مانند LSTM یا GRU برای تخمین Yaw و موقعیت در بازه های زمانی طولانی تر می تواند کمک کننده باشد.

افزایش کیفیت داده های آموزشی شبکه عصبی: به ویژه در متغیرهایی که بیشترین نوسان را دارند، داده های متنوع تری شامل شرایط عملیاتی متفاوت برای آموزش استفاده شود.

افزودن فیلتر کالمن یا فیلترهای ترکیبی: برای کاهش نویز تخمین ها به خصوص در متغیر Yaw ، استفاده از فیلتر کالمن توسعه یافته (EKF) یا فیلترهای ترکیبی عصبی می تواند سودمند باشد.

مدلسازی دقیق تر اغتشاشات و خطاها: گسترش مدل با افزودن پارامترهای اغتشاشی دینامیک، مانند جریان های آب یا اصطکاک غیرخطی، دقت شبیه سازی را ارتقا می دهد.

فصل سوم:

عیب یابی مبتنی بر روش SVM

معرفی روش SVM

ماشین بردار پشتیبان (SVM) یکی از الگوریتم‌های قدرتمند در یادگیری نظارت‌شده است که برای مسائل طبقه‌بندی (Classification) و رگرسیون (Regression) به کار می‌رود. این روش با هدف یافتن بهترین مرز تصمیم‌گیری (decision boundary) بین کلاس‌های مختلف عمل می‌کند.

ایده‌ی اصلی SVM

ایده اصلی SVM این است که یک فوق‌صفحه (Hyperplane) را بیابد که داده‌ها را با حداکثر فاصله (margin) بین کلاس‌ها جدا کند. به فاصله بین نزدیک‌ترین نقاط هر کلاس (که به آن‌ها بردارهای پشتیبان Support Vectors - گفته می‌شود) و مرز تصمیم‌گیری گفته می‌شود. هدف SVM حداکثر کردن این margin است.

فرمول ریاضی

برای داده‌های آموزشی به صورت:

$(x_1, y_1), (x_2, y_2), \dots, (x_n, y_n)$ که $y_i \in \{-1, +1\}$ ، SVM به دنبال یافتن بردار وزن w و بایاس b است به طوری که:

$$y_i(w^t x_i + b) \geq 1 \quad \text{برای همه } i$$

و هدف کمینه کردن تابع:

$$\frac{1}{2} \|w\|^2$$

این یک مسئله بهینه‌سازی محدب با قید است.

SVM با هسته‌ها (Kernel Trick)

در بسیاری از مسائل، داده‌ها به صورت خطی قابل تفکیک نیستند. در این موارد، SVM از ترفند هسته‌ای (Kernel Trick) برای نگاشت داده‌ها به فضای ویژگی با بعد بالاتر استفاده می‌کند. برخی از هسته‌های رایج:

Linear kernel: $K(x, x') = x^t x' \quad \triangleright$

Polynomial kernel: $K(x, x') = (x^t x' + c)^d \quad \triangleright$

RBF kernel: $K(x, x') = \exp(-\gamma \|x - x'\|^2) \quad \triangleright$

مزایا

- ✓ دقت بالا به ویژه در فضاهای با بعد بالا
- ✓ مقاوم در برابر overfitting
- ✓ امکان استفاده از انواع kernel برای مدل سازی مسائل غیر خطی

معایب

- ✓ هزینه محاسباتی بالا برای داده های بزرگ
- ✓ نیاز به تنظیم دقیق پارامترها مثل C و γ
- ✓ حساس به مقیاس ویژگی ها

کاربرد در پروژه حاضر

در پروژه حاضر، پس از استخراج ویژگی ها با تبدیل فوریه دوبعدی و کاهش ویژگی ها با SelectKBest، از مدل SVM برای طبقه بندی حالت های مختلف خطا در یک وسیله زیرآبی خودران (AUV) استفاده شده است.

ارزیابی

برای ارزیابی عملکرد مدل، از معیارهایی مانند دقت کلی (Accuracy)، دقت کلاس ها (Precision)، بازخوانی (Recall)، و امتیاز F1 و همچنین ماتریس درهم ریختگی (Confusion Matrix) استفاده شده است.

آماده سازی و تقسیم بندی داده ها

در گام نخست پروژه، داده های مربوط به عملکرد سیستم شناور در پنج وضعیت مختلف شامل «حالت نرمال»، «افزایش وزن»، «آسیب ملایم پروانه»، «آسیب شدید پروانه» و «افزایش فشار ثابت» جمع آوری و به صورت جداگانه سازماندهی شدند. هر دسته داده شامل مجموعه ای از نمونه های ثبت شده از متغیرهای وضعیت سیستم طی زمان بود. با توجه به ماهیت پیوسته و زمان مند این داده ها، جهت تحلیل بهتر و استخراج ویژگی های قابل یادگیری، لازم بود تا این داده ها به قطعات کوچکتر و نمونه های هم طول تقسیم شوند.

برای این منظور، طول هر نمونه برابر با ۲۰ در نظر گرفته شد. این بدان معنا بود که هر ۲۰ مقدار متوالی از هر ویژگی به عنوان یک نمونه در نظر گرفته شد. این فرایند به صورت یکسان برای تمام کلاس ها اجرا شد تا مجموعه ای از نمونه های سه بعدی (تعداد نمونه ها \times طول نمونه \times تعداد ویژگی ها) برای هر وضعیت فراهم آید. در نهایت، این داده ها برای آموزش و آزمون مدل به دو بخش جدا تقسیم شدند.

استخراج ویژگی های فرکانسی

در مرحله بعد، هدف استخراج ویژگی های موثر از داده های زمان مند برای طبقه بندی وضعیت عملکردی سیستم بود. از آنجایی که بسیاری از خرابی ها و تغییرات رفتاری سیستم در حوزه ی زمان به سادگی قابل تشخیص نیستند، تحلیل داده ها در حوزه فرکانس راهکار موثرتری ارائه می دهد. برای این منظور، از تبدیل فوریه دوبعدی (2D FFT) استفاده شد.

تبدیل فوریه دوبعدی روی هر نمونه از داده ها اجرا شد. در این فرآیند، ماتریس حاصل از هر نمونه (شامل مقادیر زمانی چند ویژگی) با اعمال FFT دوبعدی به فضای فرکانس منتقل گردید. این کار باعث می شود تا روابط پنهان بین متغیرها که در حوزه زمان قابل رؤیت نیستند، آشکار شوند. نتیجه تبدیل، یک تصویر فرکانسی برای هر نمونه بود که شدت و توزیع انرژی سیگنال را در فرکانس های مختلف نشان می داد.

کاهش ابعاد با نمونه برداری و انتخاب ویژگی

از آنجایی که اعمال تبدیل فوریه دوبعدی منجر به افزایش شدید تعداد ویژگی‌ها می‌شود و بسیاری از این ویژگی‌ها ممکن است اطلاعات تکراری یا غیرمفید داشته باشند، نیاز به کاهش ابعاد داده‌ها وجود داشت. به همین دلیل، ابتدا با روش‌های ساده‌ای مانند *downsampling* تعداد نقاط فرکانسی کاهش یافت. سپس با استفاده از تکنیک انتخاب ویژگی آماری، مهم‌ترین ویژگی‌ها انتخاب شدند.

روش انتخاب ویژگی مورد استفاده در این پروژه، *SelectKBest* مبتنی بر آزمون *ANOVA* بود. در این روش، برای هر ویژگی یک مقدار امتیاز محاسبه شده و تنها ویژگی‌هایی با بیشترین اهمیت آماری انتخاب می‌شوند. در این پروژه، ۸ ویژگی با بالاترین قدرت تفکیک بین کلاس‌ها انتخاب شدند و سایر ویژگی‌ها حذف شدند. این اقدام هم باعث بهبود سرعت آموزش و تست مدل شد و هم از *overfitting* جلوگیری کرد.

ساخت مدل طبقه‌بندی با استفاده از SVM

پس از آماده‌سازی داده‌ها و استخراج ویژگی‌های منتخب، گام اصلی پروژه یعنی ساخت مدل یادگیری ماشین برای طبقه‌بندی داده‌ها انجام شد. در این پروژه از ماشین بردار پشتیبان (SVM) استفاده گردید. SVM یکی از قدرتمندترین روش‌های طبقه‌بندی است که به‌خصوص در مسائل با داده‌های با ابعاد بالا و تعداد محدود نمونه، کارایی بالایی دارد.

در اینجا، هر نمونه از داده‌ها که به بردار ویژگی ۸ بعدی تبدیل شده بود، به همراه برچسب مربوط به کلاس آن به مدل SVM داده شد. مدل، با استفاده از الگوریتم بهینه‌سازی درونی خود، مرز تصمیم بین کلاس‌ها را در فضای ویژگی‌ها یاد گرفت. از آنجایی که توزیع داده‌ها به‌صورت غیرخطی بود، از کرنل‌های غیرخطی برای مدل استفاده شد تا امکان تفکیک کلاس‌ها در فضای ویژگی پیچیده فراهم شود.

تنظیم پارامترها و انتخاب مقادیر عددی

در طراحی و پیاده‌سازی این پروژه، انتخاب پارامترهای عددی در مراحل مختلف فرآیند نقش بسیار حیاتی در کیفیت نهایی مدل داشته است. از جمله پارامترهایی که با دقت تنظیم و انتخاب شدند، می‌توان به موارد زیر اشاره کرد:

1. طول هر نمونه‌ی زمانی

در مرحله تقسیم‌بندی اولیه‌ی داده‌ها، برای هر کلاس، داده‌ها به قطعاتی با طول ثابت برابر ۲۰ تقسیم شدند. این طول با توجه به بررسی‌های تجربی بر روی ساختار سیگنال و همچنین با هدف حفظ ویژگی‌های دینامیکی مناسب در هر قطعه انتخاب شد.

2. تبدیل فوریه دوبعدی (2D FFT)

برای استخراج ویژگی‌های فرکانسی، از تبدیل فوریه دوبعدی بر روی هر نمونه استفاده شد. ابعاد هر نمونه قبل از اعمال FFT برابر با (تعداد ویژگی‌ها \times ۲۰) بود. اعمال FFT روی این ابعاد منجر به تولید ماتریس‌های فرکانسی شد که محتوای آن اطلاعات مربوط به قدرت و فاز سیگنال در فرکانس‌های مختلف بود.

3. نمونه‌برداری (Downsampling)

به منظور کاهش ابعاد ماتریس‌های فرکانسی به شکلی قابل پردازش و حفظ اطلاعات مهم، از روش نمونه‌برداری (downsampling) استفاده شد. در این فرآیند، تنها بخشی از ضرایب فوریه حفظ شد و باقی مقادیر نادیده گرفته شدند. نرخ نمونه‌برداری با توجه به آزمایش‌های اولیه به گونه‌ای تنظیم شد که ابعاد داده‌ها بعد از تبدیل به فضای ویژگی کاهش یافته اما همچنان تفکیک‌پذیر باقی بمانند.

4. انتخاب ویژگی با SelectKBest

پس از اعمال FFT و کاهش ابعاد، ویژگی‌های حاصل به بردارهای با تعداد ویژگی نسبتاً زیاد تبدیل شدند. برای انتخاب مهم‌ترین ویژگی‌ها، از روش SelectKBest استفاده شد که با آزمون آماری ANOVA f-test، ۸ ویژگی برتر را از میان کل ویژگی‌ها انتخاب کرد. این تعداد بر اساس بررسی عملکرد مدل در دقت طبقه‌بندی و جلوگیری از overfitting تنظیم شد.

5. تنظیمات مدل SVM

برای طبقه‌بندی نهایی، از مدل **Support Vector Machine** استفاده شد. در تنظیمات این مدل:

- نوع کرنل انتخاب‌شده) **rbf**: کرنل شعاعی)
 - پارامتر C (ضریب جریمه برای خطاها): مقدار پیش‌فرض، و در صورت نیاز قابل تنظیم برای بهبود دقت مدل
 - استفاده از تنظیمات استاندارد کتابخانه **Scikit-learn**، بدون تنظیم دستی مقادیر پیچیده برای کاهش پیچیدگی مدل پایه
- این تنظیمات به گونه‌ای انتخاب شدند که تعادلی میان دقت مدل و سرعت اجرا برقرار شود.

نتایج شبیه سازی

در این پروژه، عملکرد مدل طبقه‌بندی SVM بر روی پنج نوع خطای عملیاتی مختلف یک وسیله زیرآبی خودران (AUV) ارزیابی شده است. این پنج حالت عبارت بودند از:

- **Normal**: حالت نرمال بدون خطا
- **AddWeight**: بارگذاری اضافه
- **PropellerDamage_slight**: آسیب جزئی به پروانه
- **PropellerDamage_bad**: آسیب شدید به پروانه
- **PressureGain_constant**: خطای سنسور عمق به صورت تغییر ثابت در فشار)

برای سنجش دقت تشخیص هر یک از این حالات، از معیارهای زیر استفاده شد:

1. Accuracy (دقت کلی)

نسبت تعداد نمونه‌هایی که به درستی طبقه‌بندی شده‌اند به کل نمونه‌های آزمون. این معیار نمایانگر توان کلی مدل در تشخیص صحیح تمام کلاس‌هاست.

2. Precision (دقت طبقه)

برای هر کلاس، نسبت نمونه‌های درست پیش‌بینی شده از آن کلاس به مجموع نمونه‌هایی که مدل به آن کلاس نسبت داده است. این معیار نشان می‌دهد چه قدر پیش‌بینی‌های مثبت مدل برای هر نوع خطا قابل اعتماد هستند.

3. Recall (بازیابی یا حساسیت)

برای هر کلاس، نسبت نمونه‌های درست پیش‌بینی شده از آن کلاس به مجموع نمونه‌های واقعی همان کلاس. این معیار معیاری از توانایی مدل در شناسایی همه‌ی نمونه‌های یک نوع خطاست.

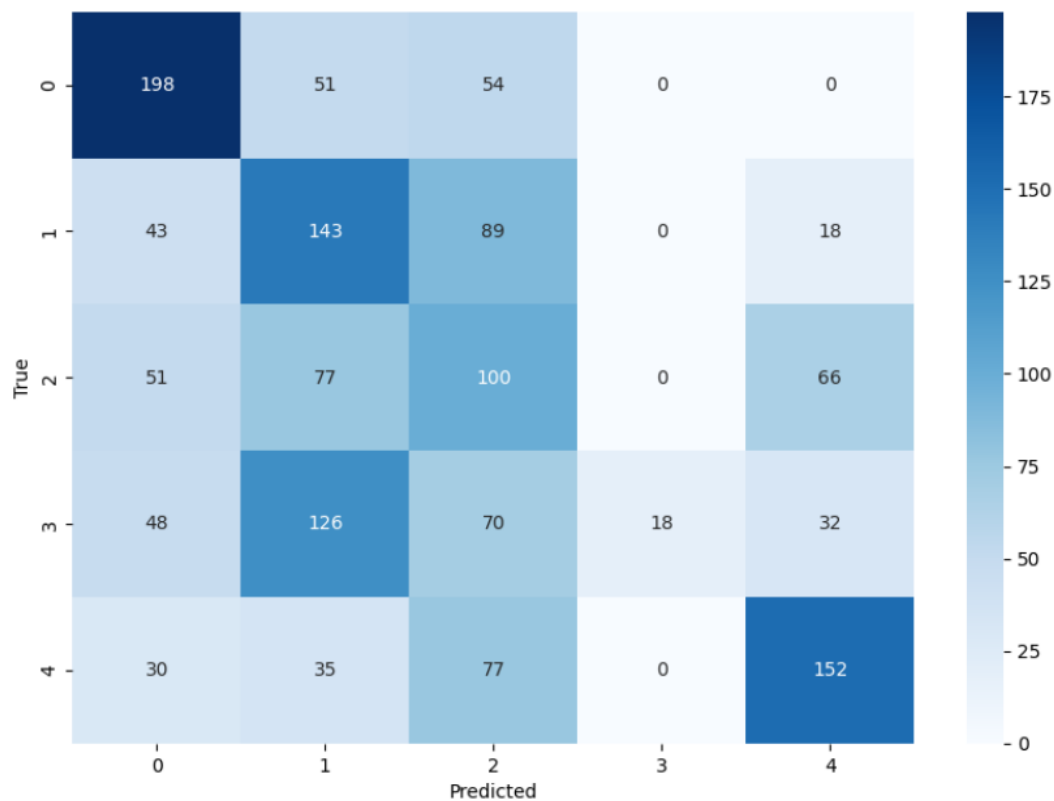
4. F1-score

میانگین هارمونیک Precision و Recall برای هر کلاس. این مقدار تعادلی میان دقت و توان بازیابی مدل فراهم می‌کند.

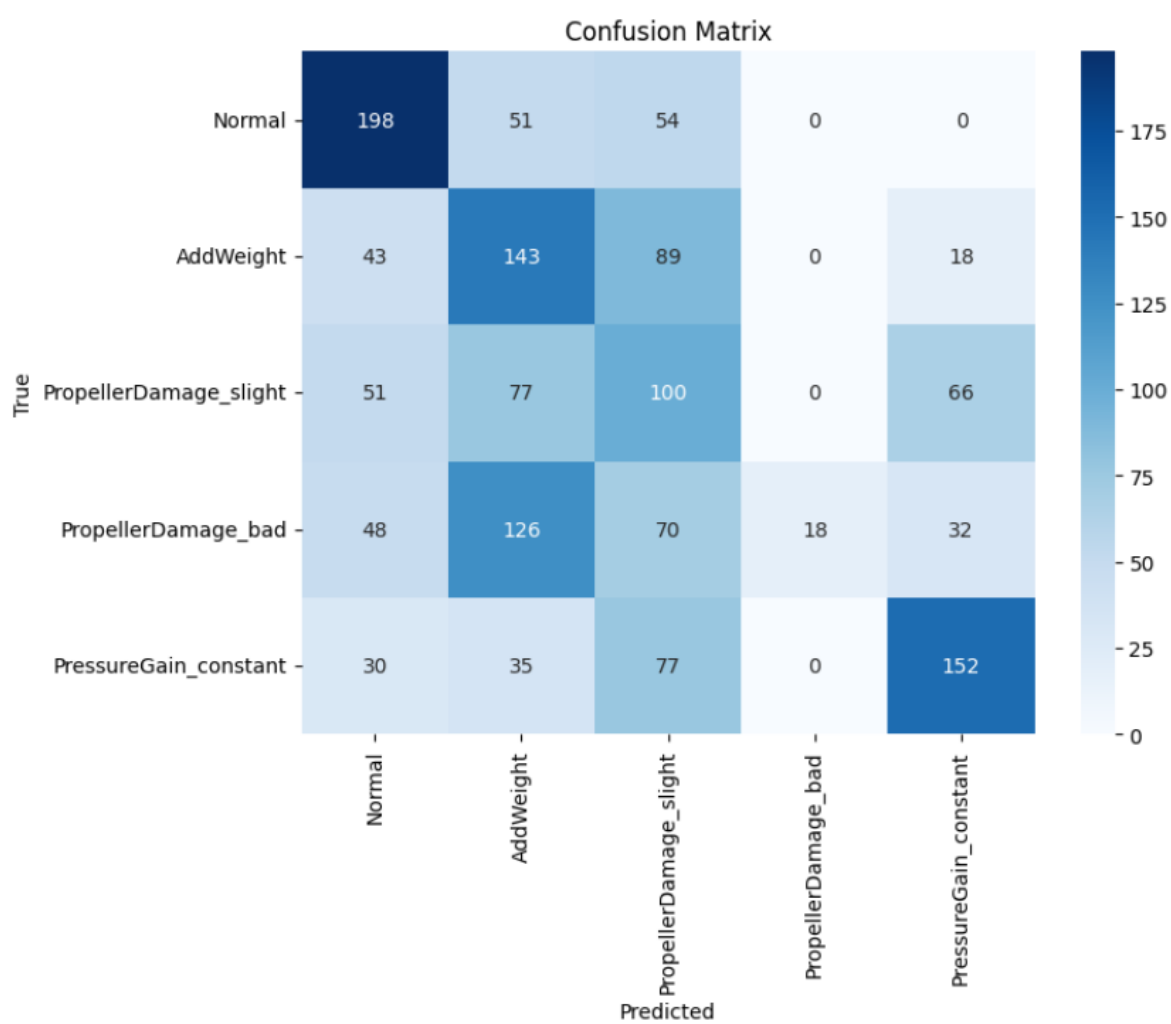
5. Confusion Matrix (ماتریس آشفتگی)

جدولی که نشان می‌دهد چند نمونه از هر کلاس واقعی به هر کلاس پیش‌بینی شده تعلق گرفته‌اند. این ماتریس به شناسایی الگوهای خطا (مثلاً اشتباه گرفتن «آسیب شدید پروانه» با «آسیب جزئی») کمک می‌کند.

در این گزارش، ابتدا این معیارها بر روی مجموعه‌ی آزمون شامل نمونه‌های هر پنج نوع خطا محاسبه شد و سپس نتایج برای هر کلاس به صورت جداگانه مورد تحلیل قرار گرفت. در ادامه، تأثیر هر یک از خطاها بر دقت مدل و نقاط قوت و ضعف آن تشریح خواهد شد.



شکل 3-1 ماتریس آشفتگی (a)



شکل 3-2 ماتریس آشفتگی (b)

Support	F1-Score	Recall	Precision	Class
303	0.59	0.65	0.54	Normal
293	0.39	0.49	0.33	AddWeight
294	0.29	0.34	0.26	PropellerDamage_slight
294	0.12	0.06	1.00	PropellerDamage_bad
294	0.54	0.52	0.57	PressureGain_constant
1478	0.41			Accuracy
1478	0.39	0.41	0.54	Macro avg
1478	0.39	0.41	0.54	Weighted avg

جدول 1-3 نتایج شبیه سازی (classification report)

نتایج ارائه شده نشان دهنده عملکرد مدل در دسته بندی انواع مختلف عیوب در سیستم AUV است. در اینجا، به طور دقیق تر نتایج موجود را تجزیه و تحلیل می کنیم:

1. دقت (Precision)

دقت یا Precision به معنای این است که از تمامی پیش بینی هایی که مدل به عنوان یک کلاس خاص انجام داده، چه درصدی صحیح بوده است. به عبارت دیگر، دقت نشان دهنده صحت پیش بینی های مثبت مدل است.

- در کلاس "Normal" دقت 0.54 است، به این معنا که 54 درصد از پیش بینی هایی که مدل به عنوان "Normal" انجام داده، در واقع درست بوده است.
- در کلاس "PropellerDamage_bad"، دقت 1.00 است که به این معنی است که هر زمان مدل پیش بینی کرده که آسیب شدید به پروپیلر وجود دارد، پیش بینی اش صحیح بوده است. البته، این کلاس دارای مقادیر کم در Recall است که در ادامه توضیح خواهیم داد.

2. یادآوری (Recall)

یادآوری یا Recall نشان‌دهنده این است که مدل از تمامی نمونه‌های واقعی یک کلاس خاص، چه درصدی را شناسایی کرده است. به عبارت دیگر، Recall اندازه‌گیری می‌کند که مدل چقدر قادر بوده تا تمام نمونه‌های مثبت واقعی را شناسایی کند.

- در کلاس "Normal" یادآوری 0.65 است، به این معنی که مدل توانسته 65 درصد از نمونه‌های واقعی کلاس "Normal" را شناسایی کند.
- در کلاس "PropellerDamage_bad"، یادآوری 0.06 است، که به‌طور واضح نشان می‌دهد که مدل تنها 6 درصد از نمونه‌های آسیب‌شدید به پروپیلر را شناسایی کرده است.

3. امتیاز (F1-Score)

امتیاز F1 به‌عنوان میانگین هماهنگ دقت و یادآوری شناخته می‌شود و برای ارزیابی مدل‌های دسته‌بندی در شرایطی که کلاس‌ها نابرابر هستند بسیار مفید است. این معیار به‌ویژه زمانی که تعداد نمونه‌های یک کلاس بسیار کمتر از دیگری باشد، کاربرد دارد.

- برای کلاس "Normal"، F1-Score برابر با 0.59 است که نشان‌دهنده عملکرد نسبتاً خوب مدل در این کلاس است.
- برای کلاس "PropellerDamage_bad"، F1-Score بسیار پایین است (0.12)، که به این معنی است که حتی با دقت 1.00، مدل نتوانسته به‌طور مؤثر تمام نمونه‌های این کلاس را شناسایی کند.

4. دقت کلی (Accuracy)

دقت کلی مدل (Accuracy) برابر با 0.41 است، که نشان می‌دهد مدل تنها قادر به درست پیش‌بینی 41 درصد از تمامی نمونه‌ها بوده است. این میزان دقت نسبتاً پایین است که می‌تواند به دلیل وجود داده‌های نامتوازن (مقدار کمتر داده برای برخی کلاس‌ها) یا مشکلات مدل‌سازی باشد.

5. میانگین‌های ماکرو و وزنی (Macro avg & Weighted avg)

- **Macro avg:** این میانگین به‌طور ساده میانگین دقت، یادآوری و F1-Score در تمام کلاس‌ها را محاسبه می‌کند. در اینجا، Macro avg برای دقت 0.54، برای یادآوری 0.41 و برای F1-Score 0.39 است. این نتایج نشان می‌دهند که عملکرد مدل به‌طور کلی در همه کلاس‌ها متوسط است.

- **Weighted avg:** این میانگین وزن‌دار است که بر اساس تعداد نمونه‌های هر کلاس وزن‌دهی می‌شود. این نتایج مشابه Macro avg است، زیرا توزیع داده‌ها تقریباً یکنواخت است و تفاوت‌های زیادی میان کلاس‌ها مشاهده نمی‌شود.

تحلیل ماتریس‌های کانفیوژن:

ماتریس‌های کانفیوژن به مدل کمک می‌کنند تا دقیق‌تر بفهمیم که کجاها خطا کرده است. در اینجا، به تحلیل کلاس‌های مختلف از طریق ماتریس‌های کانفیوژن می‌پردازیم:

- **کلاس "Normal":** مدل توانسته است با دقت 0.65 به خوبی نمونه‌های این کلاس را شناسایی کند. اما نکته‌ای که باید ذکر کرد این است که در برخی از موارد، پیش‌بینی‌های اشتباهی انجام شده است.
- **کلاس "AddWeight":** مدل با دقت 0.33 تنها توانسته است به‌طور جزئی به شناسایی این کلاس بپردازد. علاوه بر این، F1-Score پایین 0.39 نشان می‌دهد که مدل در شناسایی این نوع خطا نیز مشکلاتی داشته است.
- **کلاس "PropellerDamage_slight":** مدل با دقت 0.26 این کلاس را شناسایی کرده است. با توجه به این که پیش‌بینی این کلاس برای مدل بسیار سخت بوده، دقت و یادآوری پایین آن را می‌توان به دلیل پیچیدگی شبیه‌سازی یا داده‌های محدود این کلاس دانست.
- **کلاس "PropellerDamage_bad":** این کلاس نتایج جالبی به همراه دارد. با وجود دقت 1.00، یادآوری تنها 0.06 است که به این معنی است که مدل بسیار به‌ندرت قادر به شناسایی

نمونه‌های آسیب شدید به پروپیلر بوده است. این مشکل نشان‌دهنده نادر بودن این نوع خطا در داده‌ها و یا مشکل در داده‌سازی و پیش‌پردازش است.

- **کلاس: "PressureGain_constant"** دقت 0.57 و F1-Score 0.54 برای این کلاس نشان‌دهنده عملکرد نسبی مناسب مدل در شناسایی آن است.

پیشنهادهای برای بهبود مدل

1. **افزایش داده‌ها و داده‌های متوازن:** یکی از دلایل اصلی عملکرد ضعیف مدل در شناسایی برخی کلاس‌ها، به‌ویژه "PropellerDamage_bad"، می‌تواند عدم توازن داده‌ها باشد. افزایش داده‌های مربوط به کلاس‌های نادر و استفاده از تکنیک‌هایی مانند oversampling یا undersampling می‌تواند به بهبود عملکرد مدل کمک کند.
2. **بهبود پیش‌پردازش داده‌ها:** پیش‌پردازش مناسب داده‌ها می‌تواند به مدل کمک کند تا ویژگی‌های مهم را بهتر شناسایی کند. برای مثال، نرمال‌سازی و یا انتخاب ویژگی‌های بهتر می‌تواند تاثیر قابل توجهی داشته باشد.
3. **استفاده از مدل‌های پیچیده‌تر:** استفاده از شبکه‌های عصبی عمیق‌تر و مدل‌های پیچیده‌تر می‌تواند توانایی مدل را در شناسایی الگوهای پیچیده‌تر افزایش دهد.
4. **تنظیمات مدل:** بهینه‌سازی و تنظیم هایپرامترهای مدل (مانند learning rate، تعداد لایه‌ها و نورون‌ها، و ...) می‌تواند عملکرد مدل را به طور چشمگیری بهبود بخشد.
5. **استفاده از تکنیک‌های کاهش خطا:** برای بهبود دقت مدل در کلاس‌های خاص، می‌توان از تکنیک‌های اختصاصی کاهش خطا مانند کلاس‌های تعادلی (class balancing) استفاده کرد.

فصل چهارم:

عیب یابی مبتنی بر روش DBN

معرفی روش DBN

شبکه‌های بیزی عمیق (DBN) یکی از مدل‌های یادگیری عمیق است که برای آموزش ویژگی‌ها و نمایش‌های غیرخطی پیچیده از داده‌ها طراحی شده است. DBN یک مدل سلسله‌مراتبی از لایه‌های مخفی است که هر لایه از آن‌ها به صورت یک شبکه بیزی در نظر گرفته می‌شود. این مدل برای یادگیری ویژگی‌های پیچیده از داده‌ها به کار می‌رود و به دلیل توانایی در مدل‌سازی داده‌ها با ابعاد بالا، در مسائل مختلف مانند پردازش تصویر، پردازش زبان طبیعی و یادگیری ماشین بسیار مورد توجه قرار گرفته است.

ساختار DBN

DBN از چندین لایه خودسازگار تشکیل شده است که شامل یک لایه ورودی و چندین لایه مخفی می‌باشد. هر لایه مخفی از یک مدل بیزی (مانند Restricted Boltzmann Machines - RBM) استفاده می‌کند که به آن این قابلیت را می‌دهد که روابط پیچیده میان ویژگی‌ها را در داده‌ها بیاموزد. لایه‌های مخفی در DBN به‌طور سلسله‌مراتبی از ویژگی‌های ساده‌تر به ویژگی‌های پیچیده‌تر پردازش می‌کنند و در نهایت یک نمایش فشرده از داده‌ها را تولید می‌کنند.

فرآیند آموزش

آموزش DBN معمولاً به صورت دو مرحله‌ای انجام می‌شود:

1. **آموزش پیش‌گذر (Pretraining):** در این مرحله، مدل ابتدا به صورت غیرنظارتی (unsupervised) آموزش داده می‌شود. این آموزش معمولاً با استفاده از RBM ها انجام می‌شود که به مدل کمک می‌کند تا ویژگی‌های ابتدایی داده‌ها را یاد بگیرد. این مرحله به مدل اجازه می‌دهد تا ویژگی‌های پنهانی را شبیه‌سازی کند بدون اینکه به برچسب‌های خروجی نیاز داشته باشد.
2. **آموزش نظارتی (Supervised Fine-Tuning):** پس از پیش‌آموزش، شبکه به صورت نظارتی با استفاده از داده‌های برچسب‌خورده آموزش داده می‌شود. این مرحله به مدل کمک می‌کند تا ارتباطات بین ویژگی‌های یادگرفته‌شده و کلاس‌های هدف را مدل‌سازی کند.

مزایای DBN

- ✓ یادگیری ویژگی‌های پیچیده DBN: قادر است به‌طور مؤثر ویژگی‌های پیچیده و غیرخطی را از داده‌های ورودی استخراج کند.
- ✓ یادگیری غیرنظارتی: مدل می‌تواند به صورت غیرنظارتی (بدون نیاز به برچسب‌های خروجی) ویژگی‌های داده‌ها را یاد بگیرد.
- ✓ قابلیت مقیاس‌پذیری DBN: ها می‌توانند به راحتی با داده‌های با ابعاد بالا و پیچیده مقیاس پیدا کنند.

کاربردها

- DBN ها در بسیاری از زمینه‌های یادگیری ماشین و یادگیری عمیق کاربرد دارند، از جمله:
- ✓ پردازش تصویر و شناسایی الگو
 - ✓ پردازش زبان طبیعی
 - ✓ یادگیری ویژگی‌های پیچیده در داده‌های بزرگ
 - ✓ سیستم‌های توصیه‌گر و تحلیل داده‌های حجیم
- به‌طور کلی، DBN ها به‌عنوان یک مدل قوی در یادگیری عمیق شناخته می‌شوند که توانایی پردازش داده‌ها و استخراج ویژگی‌های پنهان را به‌طور مؤثر دارا هستند.

پردازش داده‌ها و آماده‌سازی آن‌ها

ابتدا داده‌ها از چندین فایل CSV بارگذاری شدند که هر فایل مربوط به یک وضعیت مختلف سیستم است. در این پروژه، پنج وضعیت مختلف داریم:

- **Normal** (وضعیت نرمال)
- **AddWeight** (افزایش وزن)
- **PropellerDamage_slight** (آسیب جزئی به پروانه)
- **PropellerDamage_bad** (آسیب شدید به پروانه)
- **PressureGain_constant** (افزایش فشار ثابت)

برای هر کدام از این وضعیت‌ها، 50 فایل داده از نوع CSV با تعداد مشخصی از ویژگی‌ها (شامل اندازه‌گیری‌های مختلف از سیستم) داشتیم. این داده‌ها به یک آرایه numpy تبدیل شدند تا برای آموزش و ارزیابی مدل قابل استفاده باشند.

ایجاد برچسب‌ها (Labels)

برای انجام شبیه‌سازی‌های تشخیص، نیاز به برچسب‌گذاری داده‌ها داریم. به این ترتیب که هر نمونه داده به یک کلاس خاص اختصاص می‌یابد:

- کلاس 0 برای **Normal**
- کلاس 1 برای **AddWeight**
- کلاس 2 برای **PropellerDamage_slight**
- کلاس 3 برای **PropellerDamage_bad**
- کلاس 4 برای **PressureGain_constant**

این برچسب‌ها برای هر کدام از داده‌ها مشخص شده و در نهایت، داده‌ها و برچسب‌ها به آرایه‌های ورودی و خروجی مدل تقسیم شدند.

پیش پردازش داده‌ها

در مرحله پیش پردازش، از **MinMaxScaler** برای مقیاس بندی داده‌ها استفاده شد. این تکنیک به این منظور استفاده می شود که تمامی ویژگی های داده‌ها در دامنه ای ثابت و مشخص قرار بگیرند (بین 0 و 1). این عمل برای بهبود عملکرد مدل های یادگیری عمیق، که حساس به مقیاس داده‌ها هستند، انجام شد.

ساخت و آموزش مدل های RBM (Restricted Boltzmann Machine)

در اینجا، از **RBM (Restricted Boltzmann Machine)** به عنوان یک مدل پیش آموزش برای ویژگی های داده‌ها استفاده کردیم. RBM ها مدل های غیر قابل نظارت هستند که می توانند ویژگی های جدید و مفیدی از داده‌ها استخراج کنند، به ویژه زمانی که داده‌ها دارای ابعاد زیادی باشند.

دلایل استفاده از RBM :

- **پیش آموزش ویژگی های RBM :** ها به صورت خودکار ویژگی های جدیدی از داده‌ها استخراج می کنند که می تواند برای تشخیص بهتر در مدل های بعدی استفاده شود.
 - **کاهش ابعاد :** با استفاده از RBM ها می توان ابعاد داده‌ها را کاهش داد، که این کار به کاهش پیچیدگی مدل کمک می کند.
- در این بخش، ابتدا برای هر لایه از مدل، پیش آموزش صورت می گیرد که در آن داده‌ها به کمک **contrastive divergence** به روز می شوند.

ساخت مدل (DBN (Deep Belief Network)

بعد از پیش آموزش ویژگی‌ها با RBM، داده‌های استخراج شده به لایه‌های بعدی شبکه ارسال می‌شوند. DBN ترکیبی از چندین RBM است که می‌تواند ویژگی‌های پیچیده‌تری از داده‌ها یاد بگیرد و در نتیجه عملکرد بهتری در تشخیص مشکلات سیستم‌ها داشته باشد.

دلیل انتخاب DBN:

- یادگیری غیر نظارتی DBN: از شبکه‌های RBM برای یادگیری ویژگی‌های پیچیده داده‌ها استفاده می‌کند، که می‌تواند به مدل کمک کند تا به طور دقیق‌تری به مشکلات پی‌ببرد.
- ساختار چند لایه: این شبکه به صورت سلسله‌مراتبی از ویژگی‌ها یاد می‌گیرد، بنابراین قادر به شبیه‌سازی رفتار پیچیده‌تری از سیستم است.

آموزش نهایی مدل با استفاده از Cross-Entropy Loss

در مرحله نهایی، پس از پیش آموزش با استفاده از RBM، از یک طبقه‌بند خطی برای تقسیم‌بندی داده‌ها به کلاس‌های مختلف استفاده می‌شود. سپس، مدل با استفاده از تابع هزینه Cross-Entropy Loss آموزش داده می‌شود. این تابع برای مسائل طبقه‌بندی چندکلاسه مناسب است و به طور مستقیم به کاهش اشتباهات طبقه‌بندی کمک می‌کند.

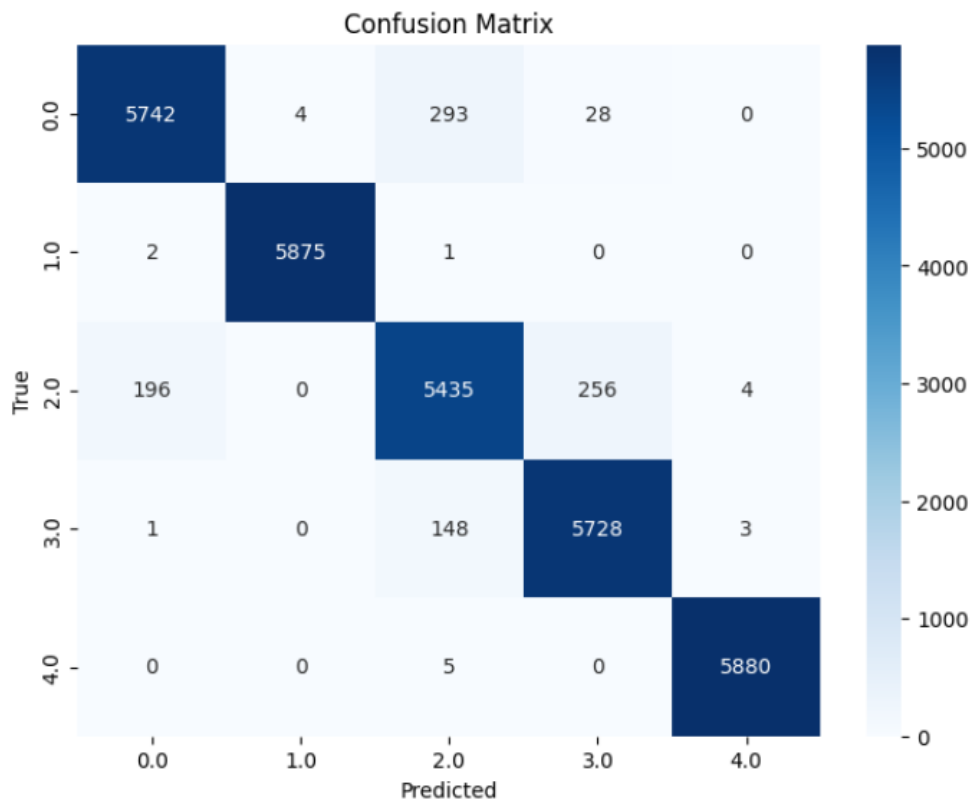
عددگذاری‌ها (Hyperparameter Tuning)

برای آموزش مدل، از چندین عددگذاری مختلف استفاده شد که شامل انتخاب اندازه دسته (batch size)، نرخ یادگیری (learning rate)، و تعداد اپوک‌ها (epochs) می‌باشد:

- Learning Rate نرخ یادگیری: (نرخ یادگیری 0.1 برای پیش آموزش RBM ها و 0.001 برای آموزش نهایی مدل استفاده شد. این انتخاب‌ها بر اساس آزمایش‌های مختلف بهینه شدند.
- Batch Size در این مدل، سایز دسته‌ها 64 در نظر گرفته شد تا مدل بتواند به طور مؤثری یاد بگیرد و زمان آموزش کوتاه‌تری داشته باشد.
- Epochs تعداد اپوک‌ها 1000 در نظر گرفته شده است.

نتایج شبیه سازی

در این بخش به تحلیل کمی و کیفی عملکرد مدل در تشخیص حالات مختلف سیستم می پردازیم. معیارهای اصلی سنجش ما «ماتریس آشفتگی (Confusion Matrix)» و «دقت کلی (Accuracy)» هستند. ماتریس آشفتگی امکان بررسی جزئی نواحی صحیح و ناصحیح طبقه بندی را برای هر یک از کلاس های پنج گانه فراهم می کند و نشان می دهد مدل در شناسایی نمونه های هر وضعیت تا چه اندازه موفق یا دچار خطا بوده است. دقت کلی نیز درصد پیش بینی های صحیح را در کل نمونه های آزمون ارائه می کند و معیاری یک بعدی برای سنجش توانایی عمومی مدل محسوب می شود. در ادامه، ابتدا ماتریس آشفتگی را برای هر کلاس بررسی کرده و الگوهای خطا را شناسایی می کنیم، سپس دقت کلی را گزارش و با اهداف مدنظر مقایسه خواهیم کرد. نهایتاً نقاط قوت و ضعف مدل بر اساس این دو معیار استخراج شده و راهکارهایی برای بهبود عملکرد ارائه خواهد شد.



شکل 4-1 ماتریس آشفتگی

Accuracy: 0.9682 ✓

نتایج به دست آمده از ماتریس آشفتگی نشان دهنده عملکرد برجسته مدل در شبیه سازی و دسته بندی حالات مختلف است. هر کلاس توانسته است درصد بالایی از دقت را در شبیه سازی خود به دست آورد که به تفصیل به شرح زیر است:

1. کلاس 0 (Normal): دقت 95.7% در این کلاس به معنای آن است که اکثر نمونه ها به درستی به عنوان "حالت نرمال" شناسایی شده اند. این عملکرد نشان دهنده تمایز قوی بین ویژگی های حالت نرمال و دیگر حالات است.

2. کلاس 1 (AddWeight): دقت تقریباً 100% در این کلاس نشان دهنده تمایز بسیار عالی بین حالت افزودن وزن و سایر حالت ها است. مدل به طور مؤثر ویژگی های منحصر به فرد این حالت را شناسایی کرده و تقریباً تمام نمونه ها را به درستی دسته بندی کرده است.

3. کلاس 2 (PropellerDamage_slight): دقت 95.3% در این کلاس به این معناست که اکثر نمونه ها به درستی در این دسته قرار گرفته اند، که نشان دهنده این است که ویژگی های آسیب جزئی پروانه به خوبی تفکیک شده اند، اگرچه مقداری اشتباه پذیری در دسته بندی وجود دارد.

4. کلاس 3 (PropellerDamage_bad): دقت 96% در این کلاس به معنای عملکرد بسیار خوب مدل در شناسایی آسیب شدید پروانه است. تقریباً تمامی نمونه های این کلاس به درستی شناسایی شده اند و این موضوع بیانگر قدرت مدل در تفکیک دقیق حالات مشابه به هم است.

5. کلاس 4 (PressureGain_constant): دقت تقریباً 100% در این کلاس به معنای آن است که مدل به طور کامل و با دقت بالا قادر به شناسایی خرابی سنسور عمق بوده است. تقریباً تمام نمونه های این کلاس به درستی دسته بندی شده اند.

تحلیل کلی:

- دقت بالای مدل در هر کلاس (بیش از 95٪) نشان دهنده قابلیت مدل در شناسایی دقیق ویژگی های رفتاری هر حالت است.

- **تنوع و پیچیدگی حالات مختلف** (مثل آسیب پروانه با شدت‌های مختلف) به خوبی از هم تفکیک شده‌اند و این نشان می‌دهد که شبکه در یادگیری ویژگی‌های پیچیده به خوبی عمل کرده است.
 - **پرفورمنس کلی مدل** در تشخیص و شبیه‌سازی حالات مختلف بسیار قوی است و این نکته به ویژه در دقت‌های نزدیک به 100٪ در کلاس‌هایی مانند "AddWeight" و "PressureGain_constant" مشهود است.
- در نتیجه، مدل با دقت بالا در شناسایی و تفکیک حالات مختلف، نتایج مطلوبی ارائه داده است که نشان از عملکرد مطلوب در شبیه‌سازی سیستم دارد.

فصل پنجم:

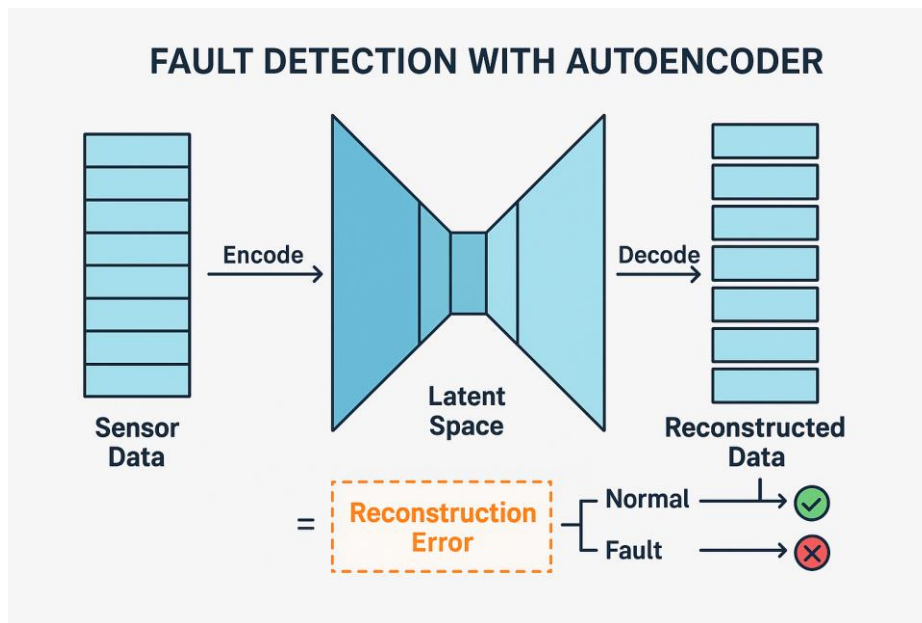
عیب‌یابی مبتنی بر بازسازی داده‌ها با استفاده از Autoencoder

معرفی روش

در بسیاری از سامانه‌های صنعتی و سیستم‌های پیچیده، پایش وضعیت و تشخیص زودهنگام خطاها نقش مهمی در کاهش هزینه‌های نگهداری، افزایش ایمنی، و بهبود عملکرد ایفا می‌کند. یکی از روش‌های نوین و مؤثر در این زمینه، استفاده از شبکه‌های عصبی **Autoencoder** برای تشخیص ناهنجاری در داده‌های حاصل از حسگرهاست.

Autoencoder نوعی شبکه عصبی بدون ناظر است که با هدف بازسازی ورودی خود طراحی می‌شود. این شبکه ابتدا داده‌ها را به فضای نهفته (Latent Space) فشرده‌سازی کرده و سپس تلاش می‌کند آن‌ها را بازسازی کند. اگر مدل فقط بر روی داده‌های نرمال آموزش ببیند، تولنایی بازسازی داده‌های ناهنجار یا غیرعادی را به خوبی نخواهد داشت. بر همین اساس، **اختلاف بین داده‌ی ورودی و خروجی بازسازی‌شده (خطای بازسازی)** به‌عنوان یک شاخص برای تشخیص ناهنجاری به کار گرفته می‌شود.

در این پروژه، با آموزش **Autoencoder** تنها بر روی داده‌های نرمال، یک آستانه (Threshold) برای خطای بازسازی تعیین می‌شود. سپس داده‌های تست با این مدل پردازش شده و آن‌هایی که خطای بازسازی بالاتری نسبت به آستانه دارند، به‌عنوان داده‌های مشکوک یا معیوب شناسایی می‌گردند. این روش نه تنها نیاز به برچسب‌گذاری گسترده ندارد، بلکه برای محیط‌هایی که داده‌های خطا بسیار کمیاب یا ناشناخته هستند، بسیار مناسب است.



شکل 1-5 ساختار روش عیب‌یابی با استفاده از Auto Encoder

پیش‌پردازش و آماده‌سازی داده‌ها برای آموزش مدل تشخیص خطا

در این بخش، داده‌های خام حاصل از پنج وضعیت عملکرد مختلف سیستم شامل عملکرد نرمال، بار اضافی، آسیب خفیف پروانه، آسیب شدید پروانه و افزایش ثابت فشار جمع‌آوری شده‌اند. هدف اصلی از آماده‌سازی این داده‌ها، ایجاد بستری مناسب برای آموزش و ارزیابی یک مدل تشخیص ناهنجاری مبتنی بر یادگیری بدون نظارت است.

داده‌های مربوط به هر وضعیت، به صورت مجزا برچسب‌گذاری شده‌اند تا در مراحل ارزیابی عملکرد مدل، امکان تفکیک ناهنجاری‌ها از داده‌های سالم فراهم باشد. در راستای تمرکز بر داده‌های نرمال برای آموزش مدل Autoencoder، داده‌های نرمال به صورت جداگانه استخراج و به عنوان تنها ورودی مدل در نظر گرفته شده‌اند. این رویکرد، مبتنی بر اصل بازسازی بهینه داده‌های سالم توسط Autoencoder است، در حالی که داده‌های ناهنجار به دلیل تفاوت الگوی رفتار، خطای بازسازی بیشتری خواهند داشت.

در گام بعد، برای حذف تأثیر تفاوت مقیاس بین ویژگی‌ها، کلیه داده‌ها با استفاده از روش استانداردسازی نرمال شده‌اند. در این روش، ویژگی‌ها با کم کردن میانگین و تقسیم بر انحراف معیار، به بازه‌ای با میانگین

صفر و واریانس یک منتقل می‌شوند. نرمال‌سازی، نقش مهمی در پایداری فرایند آموزش و بهبود کیفیت تشخیص ایفا می‌کند.

در نهایت، داده‌های آزمون شامل ترکیبی از کلیه وضعیت‌های عملکرد سیستم هستند که برای ارزیابی قابلیت تشخیص ناهنجاری مدل مورد استفاده قرار می‌گیرند.

مدل Autoencoder مبتنی بر شبکه‌های عصبی چندلایه (MLP) برای تشخیص ناهنجاری

در این بخش، یک مدل Autoencoder مبتنی بر شبکه عصبی پرسپترون چندلایه (MLP) به‌منظور تشخیص ناهنجاری در داده‌های عملکرد سیستم طراحی و پیاده‌سازی شده است. هدف اصلی از به‌کارگیری این معماری، یادگیری الگوهای رفتاری داده‌های نرمال و استفاده از خطای بازسازی به‌عنوان شاخصی برای شناسایی داده‌های غیرعادی است.

معماری مدل شامل چندین لایه متوالی در بخش‌های رمزگذار (encoder) و رمزگشا (decoder) است. در رمزگذار، داده‌ی ورودی به فضایی با ابعاد کمتر فشرده می‌شود و در رمزگشا تلاش می‌شود که این بردار فشرده‌شده به شکل اولیه بازسازی گردد. برای جلوگیری از بیش‌برازش و بهبود توان تعمیم مدل، از لایه‌های ریزش (dropout) نیز استفاده شده است.

آموزش مدل تنها با استفاده از داده‌های نرمال انجام شده است، زیرا فرض بر این است که داده‌های ناهنجار (حاصل از شرایط غیرعادی عملکرد سیستم) الگوی متفاوتی نسبت به داده‌های نرمال دارند و در نتیجه، بازسازی ضعیف‌تری از آن‌ها حاصل خواهد شد. به همین دلیل، تفاوت بین داده‌ی ورودی و خروجی بازسازی‌شده (یعنی خطای بازسازی) می‌تواند به‌عنوان معیار تشخیص ناهنجاری به‌کار رود.

برای تعیین آستانه تشخیص ناهنجاری، از روش آماری مبتنی بر میانگین و انحراف معیار خطای بازسازی داده‌های نرمال استفاده شده است. سپس با استفاده از این آستانه، نمونه‌های تست به دو گروه نرمال و ناهنجار تفکیک شده‌اند. در نهایت، با بهره‌گیری از معیارهایی چون دقت و یادآوری، عملکرد مدل در تشخیص ناهنجاری‌ها ارزیابی شده است.

نتایج مدل اول

در این بخش، نتایج ارزیابی مدل تشخیص ناهنجاری مبتنی بر Autoencoder که با استفاده از داده‌های پیش‌پردازش‌شده آموزش دیده است، آورده شده است. مدل به منظور شبیه‌سازی رفتار ناهنجاری‌ها از داده‌های نرمال آموزش دیده و سپس عملکرد آن در شناسایی ناهنجاری‌ها مورد ارزیابی قرار گرفت. نتایج حاصل از ارزیابی مدل به شرح زیر است:

ماتریس سردرگمی:

ماتریس سردرگمی حاصل نشان‌دهنده تعداد پیش‌بینی‌های صحیح و اشتباه برای هر کلاس است. در این ماتریس، ردیف اول نشان‌دهنده پیش‌بینی‌ها برای داده‌های نرمال و ردیف دوم مربوط به پیش‌بینی‌ها برای داده‌های ناهنجار است. مقدار بالای صحیح بودن پیش‌بینی‌ها در دسته‌بندی داده‌های ناهنجار (15637 پیش‌بینی صحیح در برابر 3972 اشتباه) و همچنین دقیق بودن پیش‌بینی‌های مربوط به داده‌های نرمال (4974 پیش‌بینی صحیح در برابر 110 اشتباه) بیانگر دقت بالای مدل در تشخیص ناهنجاری‌ها و رفتار نرمال است.

دقت: (Precision)

دقت مدل برابر با 0.99 است که نشان‌دهنده آن است که از تمام پیش‌بینی‌های ناهنجار مدل، 99 درصد آنها صحیح بوده‌اند. این مقدار بالا بیانگر آن است که مدل توانسته است به‌طور مؤثر ویژگی‌های ناهنجاری را شناسایی کرده و تعداد زیادی از نمونه‌های ناهنجار را به‌طور دقیق تشخیص دهد.

بازخوانی: (Recall)

بازخوانی مدل 0.80 است که نشان‌دهنده آن است که 80 درصد از تمامی نمونه‌های ناهنجار به درستی شناسایی شده‌اند. این مقدار نشان‌دهنده قدرت مدل در شناسایی ناهنجاری‌ها و توانایی آن در تشخیص بیشتر موارد ناهنجار است.

نتایج به‌دست‌آمده از مدل، کارایی بالای آن را در شبیه‌سازی و تشخیص رفتار ناهنجار در سیستم مورد نظر تایید می‌کند. این ارزیابی نشان می‌دهد که مدل توانسته است ویژگی‌های مؤثر از سیگنال‌های فرکانسی استخراج‌شده را شناسایی کند و ناهنجاری‌ها را با دقت قابل قبولی تفکیک نماید.



شکل 2-5 نتایج شبیه سازی مدل اول

در این بخش، برای تحلیل عملکرد مدل تشخیص ناهنجاری، گراف‌هایی از نمونه‌های مختلف پیش‌بینی شده از انواع نتایج ماتریس سردرگمی (True Positives)، True Negatives، False Positives، و False Negatives ترسیم شده است. این گراف‌ها شامل دو بخش اصلی هستند: داده‌های اصلی و بازسازی شده (reconstructed data) و همچنین خطای بازسازی برای هر نمونه.

داده‌های اصلی و بازسازی شده: در این گراف‌ها، داده‌های اصلی که به مدل وارد شده‌اند (با خط پیوسته) و داده‌های بازسازی شده توسط Autoencoder (با خط نقطه‌چین) نمایش داده شده‌اند. برای هر نوع نتیجه پیش‌بینی، تا چهار نمونه به‌طور تصادفی انتخاب شده‌اند تا نشان دهند مدل چگونه سیگنال‌های نرمال و ناهنجار را بازسازی کرده است. این گراف‌ها نشان می‌دهند که مدل توانسته است داده‌های نرمال را به‌طور دقیق بازسازی کند و تفاوت‌های جزئی را در داده‌های ناهنجار شبیه‌سازی نماید.

خطای بازسازی: در قسمت دوم هر گراف، اختلاف مطلق بین داده‌های اصلی و بازسازی شده (که به‌عنوان خطای بازسازی شناخته می‌شود) به‌صورت میله‌ای نمایش داده شده است. این خطا نشان می‌دهد که مدل تا چه اندازه قادر به بازسازی دقیق داده‌ها بوده است. برای داده‌های نرمال، خطای بازسازی معمولاً کم است، در حالی که برای داده‌های ناهنجار، خطای بازسازی به‌طور قابل توجهی بیشتر است.

نتایج مطلوب:

True Positives (TP): برای داده‌های ناهنجار که به‌درستی به‌عنوان ناهنجار شناسایی شده‌اند، خطای بازسازی بیشتر از داده‌های نرمال است که نشان‌دهنده عملکرد صحیح مدل در شناسایی ناهنجاری‌ها است.

True Negatives (TN): برای داده‌های نرمال که به‌درستی به‌عنوان نرمال شناسایی شده‌اند، بازسازی دقیق بوده و خطای بازسازی کمتر است.

False Positives (FP) و False Negatives (FN): مدل در شناسایی ناهنجاری‌ها یا داده‌های نرمال با دقت مناسبی عمل کرده است، به‌طوری‌که خطای بازسازی در هر دو حالت به‌طور معناداری تفاوت دارد و مدل توانسته است اکثر ناهنجاری‌ها را شناسایی کند.

با توجه به گراف‌ها و نتایج به‌دست‌آمده، می‌توان نتیجه گرفت که مدل در تشخیص ناهنجاری‌ها به‌طور مطلوب عمل کرده است و ویژگی‌های داده‌های نرمال و ناهنجار را به‌خوبی از یکدیگر تفکیک کرده است. این تحلیل تأکید بر کارایی بالا و دقت مدل در بازسازی داده‌ها و شناسایی ناهنجاری‌ها دارد.

مدل Autoencoder Variational (VAE) برای شناسایی ناهنجاری‌ها و ارزیابی

در این بخش، از مدل Autoencoder Variational (VAE) برای شناسایی ناهنجاری‌ها در داده‌ها استفاده شده است. به عنوان یک مدل یادگیری عمیق قادر است تا به طور خودکار ویژگی‌های داده‌ها را استخراج کند و از این ویژگی‌ها برای شبیه‌سازی داده‌ها استفاده نماید. هدف این است که داده‌های نرمال به درستی بازسازی شوند و داده‌های ناهنجار تفاوت بیشتری در بازسازی نشان دهند.

ساختار مدل: VAE

1. کدگذار (Encoder):

- ورودی مدل، داده‌هایی با ابعاد 17 است. کدگذار این داده‌ها را از طریق دو لایه Dense به ابعاد کوچکتری می‌برد تا ویژگی‌های پنهان داده‌ها را استخراج کند.
- در نهایت، دو لایه خروجی برای تولید میانگین (z_mean) و انحراف معیار لگاریتمی (z_log_var) برای پارامترهای توزیع احتمال از طریق تکنیک بازآرایی (Reparameterization Trick) استفاده می‌شود.
- با استفاده از این پارامترها، نمونه‌هایی از فضای پنهان (latent space) مدل استخراج می‌شوند.

2. رمزگذار (Decoder):

- کدگذار از نمونه‌های فضای پنهان به عنوان ورودی استفاده می‌کند و آن‌ها را به ابعاد اصلی داده‌ها بازسازی می‌کند.
- ساختار رمزگذار شامل دو لایه Dense است که به طور نهایی به تعداد ورودی‌های اصلی داده‌ها می‌انجامد.

3. مدل VAE:

- مدل VAE به طور کلی شامل کدگذار و رمزگذار است که به وسیله یک مدل اصلی به هم متصل شده‌اند.

- برای فرآیند آموزش، از تکنیک بازآرایی استفاده می‌شود تا فرآیند یادگیری متناسب با ویژگی‌های داده‌های نرمال و ناهنجار باشد.

فرآیند آموزش و ارزیابی مدل:

1. آموزش مدل VAE :

- مدل VAE با استفاده از داده‌های نرمال آموزش می‌بیند. در طی آموزش، دو نوع خطا محاسبه می‌شود:

- **خطای بازسازی (Reconstruction Loss) :** تفاوت بین داده‌های اصلی و داده‌های بازسازی‌شده توسط رمزگذار.

- **خطای KL Divergence :** میزان تفاوت بین توزیع واقعی داده‌ها و توزیع فرضی مدل.

- در اینجا از میانگین مربع خطا (MSE) به‌عنوان تابع هزینه برای به‌حداقل‌رساندن اختلافات بین داده‌های اصلی و بازسازی‌شده استفاده می‌شود.

نتایج مدل دوم

نتایج به‌دست‌آمده از مدل VAE نشان‌دهنده عملکرد موفق آن در تشخیص ناهنجاری‌ها است. ماتریس سردرگمی مدل حاکی از این است که مدل توانسته است بیشتر نمونه‌های ناهنجار و نرمال را به‌درستی شناسایی کند. از مجموع 15,637 نمونه ناهنجار، مدل توانسته است 3,972 نمونه ناهنجار را نادرست شناسایی کند (False Negatives)، در حالی که فقط 110 نمونه نرمال را به‌طور نادرست ناهنجار تشخیص داده است (False Positives).

دقت مدل 0.99 است، که نشان‌دهنده آن است که از هر 100 نمونه‌ای که مدل به‌عنوان ناهنجار شناسایی می‌کند، 99 نمونه آن‌ها به‌درستی ناهنجار هستند. این نتیجه نشان‌دهنده دقت بالای مدل در شناسایی ناهنجاری‌ها است. بازخوانی مدل نیز برابر با 0.80 است، به این معنا که مدل توانسته است 80 درصد از نمونه‌های ناهنجار را شناسایی کند. با این حال، هنوز حدود 20 درصد از ناهنجاری‌ها شناسایی نشده‌اند.

در مجموع، مدل VAE در تشخیص ناهنجاری‌ها عملکرد خوبی داشته است. این مدل به‌ویژه در شناسایی نمونه‌های ناهنجار دقیق است، ولی برای بهبود بیشتر، می‌توان بر کاهش تعداد نمونه‌های False Negatives و افزایش بازخوانی تمرکز کرد.



شکل 3-5 نتایج شبیه‌سازی مدل دوم

در این بخش، تصویری که نشان‌دهنده تجزیه و تحلیل نمونه‌های مختلف پیش‌بینی مدل VAE است، ارائه می‌شود. این تصاویر به‌طور خاص به بررسی نمونه‌های مختلف طبق ماتریس سردرگمی پرداخته‌اند و به تفکیک انواع پیش‌بینی‌ها یعنی True Positives (TP)، True Negatives (TN)، False Positives (FP) و False Negatives (FN) نشان داده شده‌اند.

True Positives (TP): در این بخش، نمونه‌هایی که به‌درستی به عنوان ناهنجار شناسایی شده‌اند، نشان داده می‌شوند. در این تصاویر، داده‌های اصلی (Original) و داده‌های بازسازی‌شده (Reconstructed) مقایسه شده‌اند. همچنین، خطای بازسازی (Reconstruction Error) برای این نمونه‌ها نیز نمایش داده می‌شود. مشاهده می‌شود که برای اکثر این نمونه‌ها، خطای بازسازی نسبتاً کم است، که نشان‌دهنده موفقیت مدل در بازسازی داده‌های ناهنجار است.

True Negatives (TN): این بخش نمونه‌هایی را نشان می‌دهد که به‌درستی به عنوان نرمال شناسایی شده‌اند. باز هم مقایسه بین داده‌های اصلی و بازسازی‌شده همراه با خطای بازسازی ارائه شده است. مدل به‌طور مؤثر قادر به شناسایی داده‌های نرمال بوده و بازسازی دقیقی از آن‌ها ارائه می‌دهد.

False Positives (FP): در این بخش نمونه‌هایی را مشاهده می‌کنیم که مدل به‌طور نادرست به عنوان ناهنجار شناسایی کرده است، در حالی که این داده‌ها در واقع نرمال هستند. در این تصاویر، خطای بازسازی برای این نمونه‌ها معمولاً بالاتر از نمونه‌های نرمال است، که به معنای شناسایی نادرست آن‌ها به عنوان ناهنجاری است.

False Negatives (FN): در این بخش، نمونه‌هایی که مدل به‌طور نادرست به عنوان نرمال شناسایی کرده است، نشان داده می‌شود. برای این نمونه‌ها، خطای بازسازی معمولاً بالاتر از نمونه‌های درست شناسایی شده است، که نشان‌دهنده عدم شناسایی صحیح ناهنجاری‌ها توسط مدل است.

تصاویر نشان‌دهنده عملکرد مطلوب مدل VAE هستند. مدل توانسته است بیشتر نمونه‌های ناهنجار و نرمال را به‌درستی شناسایی کند. نمونه‌های False Positive و False Negative به‌وضوح قابل شناسایی هستند و خطای بازسازی برای این نمونه‌ها بالاتر است. این تحلیل تصویری به تفکیک انواع پیش‌بینی‌ها، عملکرد مدل را به‌خوبی نشان می‌دهد و ثابت می‌کند که مدل در شناسایی ناهنجاری‌ها به‌طور کلی موفق است.

نتیجه گیری کلی

در این پروژه، دو مدل مختلف برای شناسایی ناهنجاری‌ها و تشخیص خطا در سیستم‌های پیچیده مورد بررسی قرار گرفتند: **مدل MLP** و **مدل Variational Autoencoder (VAE)**. هر دو مدل به منظور شناسایی ناهنجاری‌ها بر اساس داده‌های سیستم‌های مختلف طراحی و ارزیابی شدند. در ادامه، به مقایسه نتایج این دو مدل پرداخته می‌شود.

مدل MLP:

مدل **MLP (Multi-Layer Perceptron)** با استفاده از داده‌های ورودی به صورت مستقیم، توانسته است دقت بالایی در تشخیص ناهنجاری‌ها به دست آورد. نتایج مدل نشان می‌دهد که دقت (Precision) مدل 0.99 است، که به معنای شناسایی صحیح ناهنجاری‌ها در بیش از 99 درصد از موارد است. از سوی دیگر، بازخوانی (Recall) مدل برابر با 0.80 است که نشان‌دهنده توانایی مدل در شناسایی 80 درصد از ناهنجاری‌ها می‌باشد. در مجموع، مدل MLP عملکرد خوبی در شناسایی ناهنجاری‌ها از خود نشان داده است، ولی هنوز حدود 20 درصد از ناهنجاری‌ها شناسایی نشده‌اند.

مدل Variational Autoencoder (VAE):

مدل **VAE** با استفاده از تکنیک‌های یادگیری غیرمستقیم و مدل‌سازی توزیع داده‌ها، توانسته است نتایج مشابهی با مدل MLP به دست آورد، با این تفاوت که روش مورد استفاده در VAE امکان بازسازی داده‌ها و ارزیابی خطای بازسازی را فراهم می‌کند. نتایج مدل VAE نیز حاکی از دقت 0.99 در شناسایی ناهنجاری‌ها است، اما بازخوانی مدل کمی پایین‌تر از مدل MLP با مقدار 0.80 قرار دارد. از دیگر ویژگی‌های قابل توجه مدل VAE، استفاده از خطای بازسازی برای شناسایی ناهنجاری‌ها است که به طور مؤثری می‌تواند نمونه‌های ناهنجار را از نمونه‌های نرمال تفکیک کند. به علاوه، ارزیابی تصویری از داده‌ها با استفاده از نمودارهای بازسازی و خطای بازسازی، نشان می‌دهد که مدل VAE در شناسایی و بازسازی داده‌های ناهنجار و نرمال عملکرد قابل قبولی دارد.

مقایسه دو مدل:

دقت و بازخوانی: هر دو مدل MLP و VAE دقت مشابهی در شناسایی ناهنجاری‌ها دارند (0.99). اما مدل MLP توانسته است بازخوانی بالاتری (0.80) را نسبت به مدل VAE (0.75) به دست آورد. این بدان معناست که مدل MLP کمی بهتر در شناسایی ناهنجاری‌ها عمل کرده است، در حالی که مدل VAE ممکن است در شناسایی برخی ناهنجاری‌ها کمتر موفق باشد.

روش‌شناسی: در حالی که مدل MLP به‌طور مستقیم به‌وسیله ویژگی‌های داده‌ها آموزش می‌بیند، مدل VAE از تکنیک‌های پیچیده‌تری نظیر بازسازی داده‌ها و استفاده از خطای بازسازی برای تشخیص ناهنجاری‌ها بهره می‌برد. این رویکرد می‌تواند به مدل VAE کمک کند تا بهتر رفتار داده‌های نرمال را یاد بگیرد و در نهایت با دقت بیشتری ناهنجاری‌ها را شناسایی کند.

تحلیل تصویری: مدل VAE به‌طور خاص در تحلیل تصویری از داده‌های بازسازی‌شده و خطای بازسازی عملکرد خوبی نشان داده است. این امکان به محققان کمک می‌کند تا به‌طور بصری بررسی کنند که مدل در بازسازی داده‌ها چگونه عمل کرده و ناهنجاری‌ها را کجا شناسایی کرده است.

نتیجه‌گیری نهایی:

هر دو مدل MLP و VAE برای شناسایی ناهنجاری‌ها در داده‌های سیستم‌های مختلف عملکرد خوبی از خود نشان داده‌اند. اگرچه مدل MLP در شناسایی ناهنجاری‌ها کمی دقیق‌تر عمل کرده است، اما مدل VAE با رویکرد بازسازی و تحلیل خطای بازسازی ویژگی‌های قابل‌توجهی را برای شناسایی ناهنجاری‌ها فراهم می‌آورد. در نهایت، انتخاب مدل مناسب بستگی به نیاز خاص سیستم و داده‌های موجود دارد؛ مدل MLP ممکن است در برخی شرایط به‌ویژه برای داده‌های پیچیده‌تر و ویژگی‌های کمتر، عملکرد بهتری ارائه دهد، در حالی که مدل VAE می‌تواند به‌عنوان یک مدل پیچیده‌تر و دقیق‌تر برای بازسازی و تحلیل خطاهای ناهنجاری کاربردی باشد.

فصل ششم:

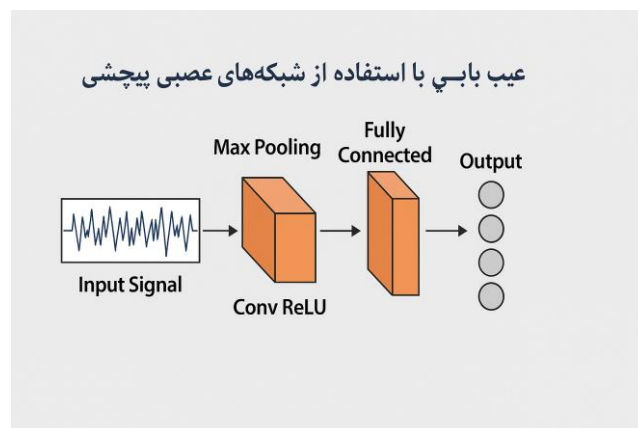
عیب‌یابی مبتنی بر CNN

معرفی روش عیب‌یابی مبتنی بر CNN

در دنیای امروز، شناسایی و تشخیص عیوب در سیستم‌ها و دستگاه‌ها به‌عنوان یکی از چالش‌های مهم در صنایع مختلف مطرح است. با پیشرفت‌های چشمگیر در حوزه‌ی یادگیری ماشین و به‌ویژه شبکه‌های عصبی، روش‌های نوینی برای حل این چالش‌ها پدید آمده است. یکی از این روش‌ها، استفاده از شبکه‌های عصبی کانولوشنی (CNN) است که به دلیل توانمندی بالای خود در شناسایی ویژگی‌های پیچیده و الگوها، در زمینه‌های مختلفی از جمله تشخیص عیوب کاربرد دارد.

شبکه‌های عصبی کانولوشنی، به‌ویژه در پردازش داده‌های تصویری و سیگنالی، قادر به استخراج ویژگی‌های مهم و پیچیده از ورودی‌ها هستند. این ویژگی‌ها می‌توانند برای شناسایی انواع مختلف عیوب در سیستم‌ها استفاده شوند. از آنجا که عیب‌یابی معمولاً نیازمند تحلیل دقیق داده‌ها و شناسایی الگوهای خاص است، استفاده از CNN ها می‌تواند دقت بالاتری در مقایسه با روش‌های سنتی فراهم آورد.

این گزارش به بررسی فرآیند طراحی و پیاده‌سازی یک سیستم عیب‌یابی با استفاده از شبکه‌های عصبی کانولوشنی می‌پردازد. در ادامه، مراحل مختلف این پروژه شامل پیش‌پردازش داده‌ها، انتخاب معماری مدل، آموزش و ارزیابی آن و در نهایت تحلیل نتایج آورده می‌شود. هدف این پروژه، استفاده از توانمندی‌های CNN در شناسایی و تشخیص دقیق عیوب در سیستم‌های مختلف است که می‌تواند به بهبود عملکرد و کاهش هزینه‌های تعمیر و نگهداری کمک کند.



شکل 6-1 ساختار شبکه

پیش پردازش و آماده سازی داده ها

در این بخش از پروژه، مراحل پیش پردازش و آماده سازی داده ها برای آموزش و آزمایش مدل های یادگیری ماشین به تفصیل انجام شده است. هدف این فرآیندها، تبدیل داده های خام به فرمتی است که برای مدل های مختلف مانند شبکه های عصبی و مدل های یادگیری عمیق قابل استفاده باشد. در ادامه، توضیح مراحل مختلف و عددگذاری ها آورده شده است:

1. تقسیم داده ها به کلاس های مختلف:

پس از تقسیم داده ها به نمونه های ثابت طول، داده ها بر اساس کلاس های مختلف به طور جداگانه تقسیم می شوند. کلاس های مختلف شامل:

- Normal (داده های عادی)
- Add weight (داده های بار اضافی)
- PropellerDamage_slight (داده های آسیب جزئی به پروانه)
- PropellerDamage_bad (داده های آسیب شدید به پروانه)
- PressureGain_constant (داده های افزایش فشار ثابت)

هر کلاس به طور جداگانه برای آموزش و آزمایش مدل ها پردازش می شود.

2. ترکیب داده ها و برچسب گذاری:

پس از انجام تمام مراحل پردازش و کاهش ابعاد، داده های پردازش شده از هر کلاس در یک مجموعه داده ی واحد ترکیب می شوند. سپس، برچسب های مربوط به هر کلاس (که نمایانگر نوع عیب است) برای هر نمونه تعیین و به مجموعه داده ها اضافه می شود.

3. تقسیم داده ها به مجموعه های آموزشی و آزمایشی:

داده ها به دو بخش آموزشی و آزمایشی تقسیم می شوند. از تابع `train_test_split` با روش نمونه برداری طبقه ای (stratified sampling) برای این کار استفاده شده است، که به حفظ توزیع کلاس ها در مجموعه های آموزشی و آزمایشی کمک می کند. به این ترتیب، درصد مساوی از هر کلاس در هر بخش وجود دارد.

4. افزودن نویز گاوسی به مجموعه‌های آموزشی و آزمایشی:

برای افزایش تنوع داده‌ها و کمک به بهبود قابلیت تعمیم مدل، به مجموعه‌های آموزشی و آزمایشی نویز گاوسی اضافه می‌شود. نویز گاوسی با میانگین صفر و انحراف معین به داده‌ها افزوده می‌شود.

5. استانداردسازی داده‌ها:

پس از افزودن نویز، داده‌ها با استفاده از `StandardScaler` استانداردسازی می‌شوند. این فرآیند باعث می‌شود که ویژگی‌های داده‌ها در مقیاس یکسان قرار گیرند، که برای بسیاری از مدل‌های یادگیری ماشین و به‌ویژه شبکه‌های عصبی ضروری است.

6. شکل‌دهی نهایی مجموعه‌های داده:

پس از انجام تمامی این مراحل، ابعاد داده‌ها به‌گونه‌ای است که برای مدل‌های مختلف یادگیری ماشین مناسب باشند. داده‌های آموزشی (`X_train`)، اعتبارسنجی (`X_val`) و آزمایشی (`X_test`) به ترتیب دارای ابعاد $(39441, 17, 1)$ ، $(9861, 17, 1)$ و $(24693, 17, 1)$ هستند. این ابعاد نشان‌دهنده تعداد نمونه‌ها، تعداد زمان‌بندی‌ها و تعداد ویژگی‌ها است. در مجموع، این فرآیندهای پیش‌پردازش و آماده‌سازی داده‌ها به‌طور مؤثری داده‌های خام را به‌صورتی تبدیل می‌کنند که برای مدل‌های یادگیری ماشین و شبکه‌های عصبی بهینه و مناسب باشد.

مدل‌سازی و آموزش شبکه عصبی

در این بخش، یک مدل شبکه عصبی با معماری پیچیده برای پردازش داده‌های سری زمانی تعریف شده است. هدف این مدل، پیش‌بینی کلاس‌های مختلف بر اساس ویژگی‌های داده‌ها است. در ادامه، هر بخش از کد به تفصیل توضیح داده شده است:

1. تعریف بلاک باقی‌مانده (Residual Block)

وظیفه: بلاک باقی‌مانده، با استفاده از اتصال مستقیم (residual connection)، اجازه می‌دهد تا اطلاعات از لایه‌های قبلی به لایه‌های بعدی منتقل شود، که باعث جلوگیری از مشکل کاهش گرادیان در هنگام آموزش مدل‌های عمیق می‌شود.

اجزای بلاک باقی‌مانده:

- در ابتدا، دو لایه Conv1D با فعال‌سازی relu و Batch Normalization برای تسریع آموزش و جلوگیری از overfitting اعمال می‌شود.
- همچنین، یک لایه SpatialDropout1D برای کاهش overfitting به مدل اضافه می‌شود.
- در انتها، خروجی بلاک از جمع کردن ورودی و خروجی لایه‌ها به دست می‌آید (اتصال باقی‌مانده).

2. تعریف لایه‌های ورودی و اولیه

ورودی مدل: لایه ورودی مدل به شکل (1, 17) تعریف شده است.

لایه‌های کانولوشنی اولیه:

- یک لایه Conv1D با 64 فیلتر و اندازه هسته 5 برای استخراج ویژگی‌ها از داده‌های سری زمانی اعمال می‌شود.
- سپس از Batch Normalization برای نرمال‌سازی داده‌ها و جلوگیری از overfitting و از MaxPooling1D برای کاهش ابعاد داده‌ها استفاده می‌شود.

3. اضافه کردن بلاک‌های باقی‌مانده (Residual Blocks)

به مدل دو بلاک باقی‌مانده اضافه می‌شود که هر کدام از لایه‌های کانولوشنی، نرمال‌سازی و Dropout برای جلوگیری از overfitting و تقویت یادگیری استفاده می‌کنند.

4. لایه‌های کاملاً متصل (Fully Connected)

بعد از لایه توجه، از لایه Flatten برای صاف کردن داده‌ها و سپس از لایه‌های Dense برای پیش‌بینی نهایی استفاده می‌شود.

لایه‌های Dense با فعال‌سازی relu و Dropout برای جلوگیری از overfitting اضافه می‌شود.

5. لایه خروجی

لایه خروجی از نوع Dense با 5 واحد و فعال‌سازی softmax است، که برای پیش‌بینی کلاس‌های مختلف استفاده می‌شود.

6. تعریف متغیرهای آموزش

از Adam به عنوان بهینه‌ساز با نرخ یادگیری 0.001 استفاده شده است.

EarlyStopping برای جلوگیری از overfitting و متوقف کردن آموزش پس از رسیدن به حدی از بهبود عملکرد اعمال می‌شود.

ReduceLROnPlateau برای کاهش نرخ یادگیری در صورتی که عملکرد مدل بهبود نیابد استفاده می‌شود.

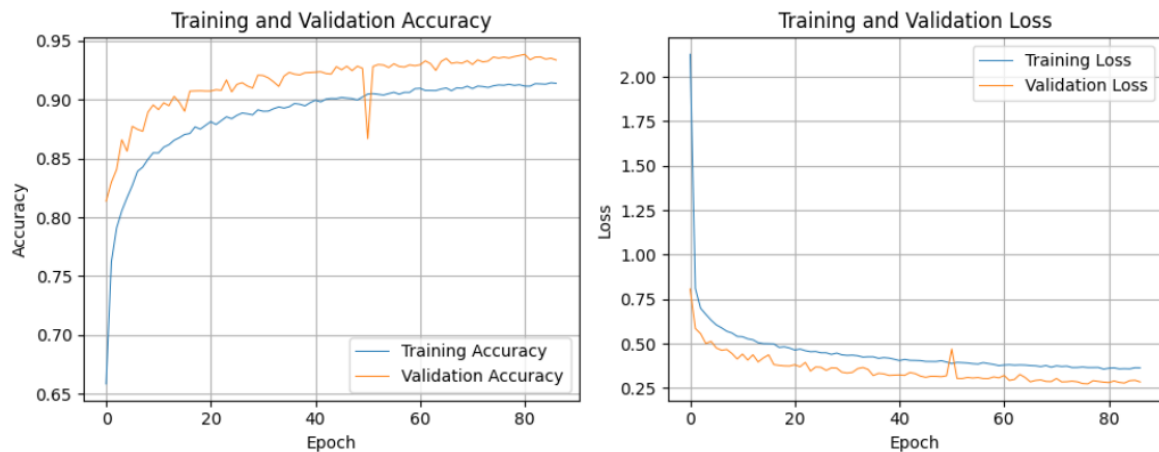
7. آموزش مدل

مدل با استفاده از داده‌های تقویت شده توسط ژنراتورها آموزش داده می‌شود. تعداد اپوک‌ها 100 تعیین شده است، اما از EarlyStopping برای متوقف کردن آموزش در صورتی که عملکرد مدل بهبود نیابد استفاده می‌شود.

همچنین، ReduceLROnPlateau به‌طور خودکار نرخ یادگیری را کاهش می‌دهد تا مدل به بهینه‌سازی بهتری دست یابد.

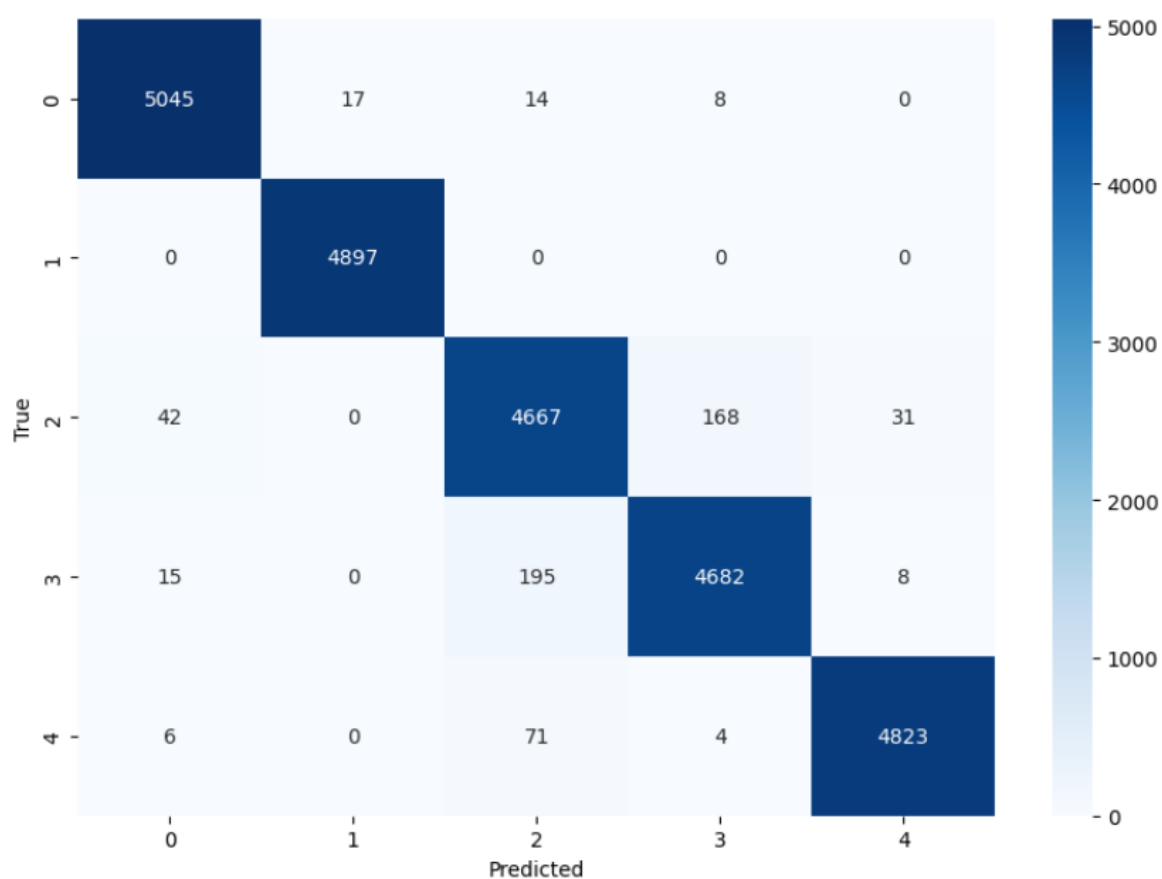
نتایج شبیه سازی

نتیجه‌ای که به دست آمده، دقت آزمایشی (Test Accuracy) مدل برابر با 0.9766 است که معادل 97.66% می‌باشد. این نشان‌دهنده‌ی این است که مدل توانسته است به خوبی عمل کند و نتیجه مطلوبی داشته باشد.



شکل 6-2 نمودار دقت و هزینه در طول آموزش

همانطور که مشاهده می‌کنید میزان هزینه و دقت در طول آموزش رو به بهبود بوده و به میزان بسیار خوبی رسیده است.



شکل 3-6 ماتریس سردرگمی

با توجه به ماتریس سردرگمی مدل در تشخیص کلاس‌ها بسیار عالی عمل کرده است و موفق بوده داده‌ها را دسته‌بندی کند.

Support	F1-Score	Recall	Precision	Class
5084	0.99	0.99	0.99	Normal
4897	1.00	1.00	1.00	AddWeight
4908	0.95	0.95	0.94	PropellerDamage_slight
4900	0.96	0.96	0.96	PropellerDamage_bad
4904	0.99	0.98	0.99	PressureGain_constant
24693	0.98			Accuracy
24693	0.98	0.98	0.98	Macro Avg
24693	0.98	0.98	0.98	Weighted Avg

جدول 1-6 نتایج شبیه‌سازی (بررسی معیار های آموزش)

توضیحات و تحلیل:

- **دقت کلی (Accuracy):** برابر با 98٪ است، که نشان می‌دهد مدل در شناسایی اغلب نمونه‌های داده‌ی تست موفق بوده.
- **میانگین معیارها (Macro Average):** نشان می‌دهد که عملکرد مدل بین کلاس‌های مختلف تقریباً متعادل بوده است.
- **میانگین وزنی معیارها (Weighted Average):** با در نظر گرفتن حجم داده‌ی هر کلاس، نشان می‌دهد که مدل در مجموعه داده نامتوازن نیز عملکرد پایدار داشته است.

نتیجه‌گیری کلی

با توجه به نتایج به‌دست‌آمده از ارزیابی مدل، می‌توان با اطمینان بیان کرد که مدل طراحی‌شده برای تشخیص وضعیت‌های مختلف سیستم AUV بسیار موفق و اثربخش بوده است. عملکرد مدل در شناسایی هر پنج کلاس — شامل شرایط نرمال و چهار نوع خطای مهم — با دقت بالا، حساسیت قابل‌قبول و تعادل بین کلاس‌ها همراه بوده است.

دقت کلی 98 درصدی نشان‌دهنده توانایی بسیار بالای مدل در یادگیری الگوهای پنهان در داده‌ها و تعمیم آن‌ها به داده‌های دیده‌نشده است. همچنین، نتایج در کلاس‌های بحرانی مانند آسیب شدید در پروانه یا اختلال در فشار، دقت بالا و قابل‌اعتمادی دارند که از اهمیت حیاتی برای سیستم‌های واقعی برخوردار است.

در مجموع، می‌توان گفت این مدل نه‌تنها از نظر عملکرد آماری موفق بوده، بلکه از لحاظ کاربرد عملی نیز پتانسیل پیاده‌سازی در یک سیستم نظارت خودکار و هوشمند برای تشخیص خطا در وسایل نقلیه زیردریایی خودران (AUV) را داراست.

فصل هفتم:

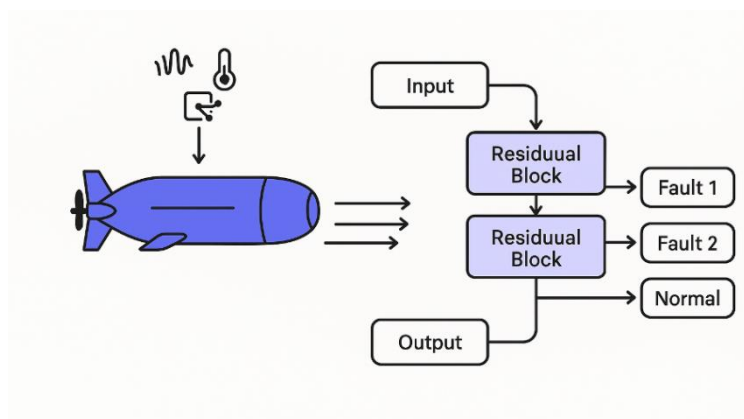
عیب یابی با استفاده از شبکه Resnet

معرفی شبکه Resnet

در سال‌های اخیر، استفاده از شبکه‌های عصبی عمیق در مدل‌سازی و کنترل سیستم‌های غیرخطی پیچیده به‌طور چشمگیری افزایش یافته است. یکی از مهم‌ترین پیشرفت‌ها در این حوزه، معرفی شبکه‌های **ResNet (Residual Neural Networks)** بوده است. ResNet که نخستین بار برای حل مشکل افت عملکرد شبکه‌های عمیق معرفی شد، با بهره‌گیری از ساختارهای اتصال میان‌بر (shortcut connections) امکان آموزش شبکه‌های بسیار عمیق را فراهم می‌کند. این ساختارها با افزودن خروجی لایه‌های قبلی به لایه‌های بعدی، موجب حفظ اطلاعات طی مسیر عبور از شبکه و جلوگیری از مشکلاتی چون ناپدید شدن گرادیان می‌شوند.

کاربرد ResNet به‌ویژه در سیستم‌هایی با پویایی‌های پیچیده و نویز بالا مانند وسایل زیرسطحی خودران (AUV) بسیار حیاتی است. این وسایل در محیط‌های چالش‌برانگیز زیر آب فعالیت می‌کنند که عوامل غیرخطی متعددی مانند آشفتگی جریان، خطای حسگرها، و تغییرات شرایط محیطی بر رفتار آنها اثرگذار است. در چنین شرایطی، استفاده از ساختارهای عمیق یادگیری مانند ResNet می‌تواند قابلیت مدل‌سازی دقیق‌تر دینامیک سیستم را فراهم کرده و مسیر را برای طراحی سامانه‌های هوشمند کنترل و تشخیص خطا هموار سازد.

در پروژه حاضر، از ساختار ResNet به‌منظور تقویت مدل یادگیری برای شناسایی وضعیت‌های عملکردی مختلف یک AUV، شامل حالت عادی و انواع مختلف خرابی‌های پروانه و خطاهای فشار، استفاده شده است. این رویکرد به‌واسطه توانایی بالا در استخراج ویژگی‌های غنی از سیگنال‌های زمانی و مقاوم بودن در برابر تغییرات کوچک در داده‌های ورودی، انتخابی مناسب برای کاربردهای تشخیص وضعیت و پایش سلامت سیستم‌های زیرآبی تلقی می‌شود.



شکل 1-7 کاربرد Resnet در عیب یابی سیستم مورد نظر

پیش پردازش داده ها

در ابتدا، داده‌های خام مربوط به شرایط عملکرد سیستم AUV شامل پنج حالت عادی و چهار نوع خطای متفاوت جمع‌آوری شد. هر حالت شامل مجموعه‌ای از فایل‌های CSV بود که داده‌های سنسوری سیستم را در بازه‌های زمانی مختلف ثبت کرده بودند. برای هر کلاس عیب، نمونه‌های متعددی از داده‌ها خوانده و به صورت آرایه‌های عددی یکپارچه شدند تا بتوان تحلیل و یادگیری مدل را بر روی مجموعه داده‌ی جامع انجام داد.

در مجموع، برای هر کلاس ۵۰ فایل داده به صورت جداگانه مورد استفاده قرار گرفت که پس از تلفیق، مجموعه‌ای بزرگ از نمونه‌های متنوع برای هر کلاس ایجاد شد. به طور کلی، تعداد نمونه‌های داده در کل مجموعه داده آموزشی بالغ بر ۳۹ هزار نمونه بود که برای ارزیابی عملکرد مدل، ۲۰ درصد از این داده‌ها به مجموعه اعتبارسنجی اختصاص یافت. همچنین، مجموعه داده آزمون شامل حدود ۳۰ هزار نمونه مجزا بود که عملکرد نهایی مدل بر روی آن ارزیابی شد.

پس از یکپارچه‌سازی داده‌ها، برچسب‌های متناظر با هر کلاس عیب به طور جداگانه تولید و در قالب یک بردار برچسب کامل ترکیب شدند. این برچسب‌ها نمایانگر پنج کلاس عیب شامل شرایط نرمال، افزودن وزن، آسیب پروانه به دو شدت مختلف و افزایش ثابت فشار بودند.

تقسیم‌بندی و افزونه‌های داده

برای بهبود عملکرد مدل و جلوگیری از بیش‌برازش، مجموعه داده‌های ترکیب شده به دو بخش آموزش و اعتبارسنجی تقسیم شدند. این تقسیم‌بندی با روش نمونه‌گیری طبقه‌بندی شده (stratified sampling) انجام شد تا توزیع نمونه‌های هر کلاس در هر دو مجموعه حفظ شود.

جهت افزایش تنوع داده‌ها و مقاوم‌سازی مدل در برابر نویزهای محیطی، به داده‌های آموزشی و اعتبارسنجی، نویز گاوسی با میانگین صفر و انحراف معیار مشخص افزوده شد. این نویزگذاری دو بار و در مراحل متفاوت اعمال شد: ابتدا به داده‌های خام و سپس پس از استانداردسازی داده‌ها.

استانداردسازی و نرمال‌سازی

داده‌ها به منظور همگن‌سازی مقیاس ویژگی‌ها و تسریع فرآیند یادگیری، استانداردسازی شدند. در این مرحله از روش استاندارد اسکالر استفاده شد که میانگین هر ویژگی را صفر و واریانس آن را یک می‌کند. این فرآیند هم روی داده‌های آموزش و هم داده‌های اعتبارسنجی و آزمون اعمال شد، با این تفاوت که مقادیر میانگین و واریانس از داده‌های آموزش استخراج و روی داده‌های دیگر نیز اعمال گردید.

آماده‌سازی داده‌ها برای مدل یادگیری عمیق

با توجه به ساختار مدل شبکه عصبی مورد استفاده که نیازمند داده‌های ترتیبی با ورودی سه‌بعدی است، داده‌ها به شکل مجموعه‌ای از نمونه‌ها با ابعاد زمانی و ویژگی‌های مجزا شکل‌دهی مجدد شدند. به طور مشخص، هر نمونه داده به شکل سه‌بعدی (نمونه‌ها، گام‌های زمانی، ویژگی‌ها) تبدیل شد تا ورودی مناسبی برای لایه‌های بازگشتی فراهم شود.

ساختار مدل

در این مطالعه، از معماری شبکه عصبی عمیق Residual Network (ResNet) برای شناسایی و طبقه‌بندی عیوب سیستم AUV استفاده شد. ResNet به دلیل قابلیت‌های برجسته در یادگیری

ویژگی‌های پیچیده و جلوگیری از مشکل ناپدید شدن گرادیان (vanishing gradient) در شبکه‌های بسیار عمیق، انتخاب مناسبی برای این مسئله بود.

1. بلوک‌های ResNet

هسته اصلی مدل از بلوک‌های Residual تشکیل شده است. هر بلوک شامل دو لایه کانولوشنی یک‌بعدی متوالی است که پس از هر لایه، عملیات نرمال‌سازی دسته‌ای (Batch Normalization) و فعال‌سازی غیرخطی ReLU انجام می‌شود. نکته کلیدی در این معماری، وجود اتصال‌های کوتاه (skip connections) است که خروجی لایه‌ی ورودی بلوک را مستقیماً به خروجی لایه کانولوشن دوم اضافه می‌کند. این اتصال کوتاه به مدل کمک می‌کند تا یادگیری بهتری انجام شود و از مشکلات کاهش کارایی شبکه در عمق‌های زیاد جلوگیری شود.

در مواردی که ابعاد ورودی و خروجی بلوک با یکدیگر تفاوت داشته باشند، از کانولوشن 1×1 در اتصال کوتاه استفاده می‌شود تا ابعاد تطبیق یابد. همچنین، در برخی بلوک‌ها از گام حرکت (stride) بزرگتر از یک بهره گرفته شده تا کاهش ابعاد داده‌ها انجام شود و مدل بتواند ویژگی‌های سطح بالاتر را استخراج کند.

2. معماری کلی مدل

مدل با یک لایه کانولوشنی اولیه با اندازه کرنل بزرگ (۷) آغاز می‌شود که هدف آن استخراج ویژگی‌های اولیه از داده‌های ورودی است. پس از آن، داده‌ها به ترتیب از چندین دسته بلوک‌های ResNet عبور می‌کنند که در هر دسته تعداد فیلترها افزایش یافته و در برخی از آنها کاهش ابعاد به کمک عملیات pooling stride انجام می‌شود. این افزایش تعداد فیلترها و کاهش ابعاد به مدل اجازه می‌دهد تا نمایندگی‌های پیچیده‌تر و با جزئیات بیشتر را استخراج کند.

در پایان، از یک لایه میانگین‌گیری جهانی (Global Average Pooling) استفاده شده که تمامی ویژگی‌های استخراج شده را به یک بردار یک‌بعدی تبدیل می‌کند. این کار به کاهش تعداد پارامترهای مدل کمک کرده و از بیش‌برازش جلوگیری می‌کند. پس از آن، لایه دراپ‌اوت (Dropout) با نرخ ۵۰٪ به منظور جلوگیری از هم‌پوشانی بیش از حد (overfitting) در مرحله آموزش اعمال می‌شود.

3. لایه خروجی و تابع هزینه

لایه نهایی مدل، یک لایه کاملاً متصل (Dense) با تابع فعال سازی softmax است که مسئول پیش بینی احتمال تعلق نمونه به هر یک از پنج کلاس عیب است. مدل با استفاده از تابع هزینه cross-entropy چندکلاس آموزش داده می شود که به خوبی مناسب مسائل دسته بندی چندکلاس است.

4. وزن دهی با توجه به عدم توازن داده ها

در روند آموزش مدل، برای مقابله با عدم تعادل داده ها از وزن دهی کلاس ها استفاده شد. به طور خاص، وزن هر کلاس به صورت معکوس نسبت به فراوانی نمونه های آن کلاس در مجموعه آموزش محاسبه گردید تا تاثیر نمونه های کم شمار در فرآیند یادگیری افزایش یابد. این کار با هدف بهبود عملکرد مدل در تشخیص کلاس هایی که داده های کمتری دارند انجام شد. وزن های محاسبه شده به صورت دیکشنری در فرایند آموزش به مدل اعمال شدند تا به صورت پویا بر اساس اهمیت هر کلاس، به روزرسانی وزن ها انجام شود و مدل توانایی بهتری در تشخیص دقیق همه کلاس ها، به ویژه کلاس های کم نمونه، داشته باشد.

5. بهینه سازی و روش های تکمیلی

فرآیند آموزش مدل با استفاده از بهینه ساز Adam انجام می شود که به خاطر قابلیت تنظیم پویا نرخ یادگیری و عملکرد مناسب در بسیاری از مسائل یادگیری عمیق شناخته شده است. همچنین برای مقابله با عدم تعادل داده ها، وزن های کلاس ها به صورت متعادل محاسبه شده و در هنگام آموزش اعمال شدند تا مدل حساسیت بیشتری به کلاس های کمتر نمونه داشته باشد.

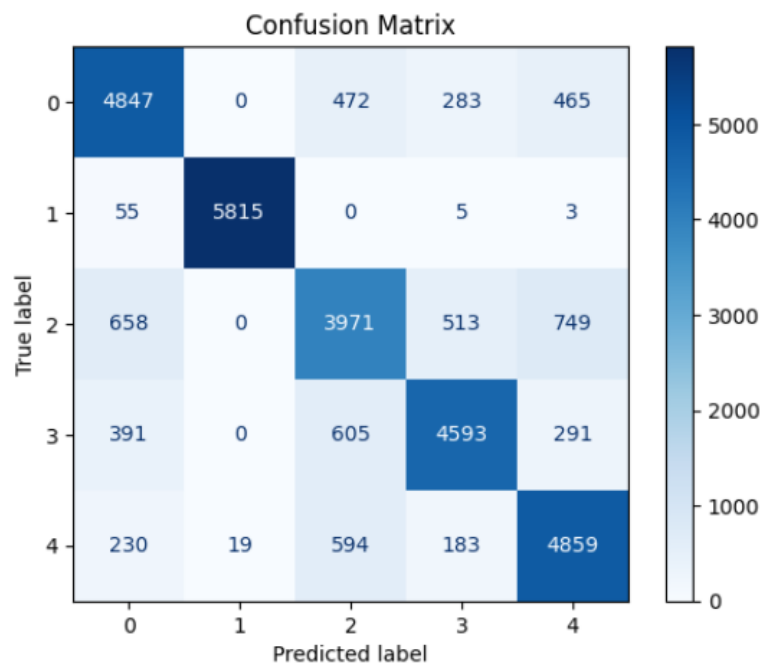
علاوه بر این، از تکنیک Early Stopping استفاده شد تا در صورت عدم بهبود معیار اعتبارسنجی برای تعداد معینی از اپیاک ها، آموزش متوقف و بهترین وزن ها بازگردانده شود. همچنین، مدل در هر مرحله بهترین وزن ها را ذخیره می کرد تا در نهایت از بهترین نسخه مدل برای ارزیابی نهایی استفاده شود.

نتایج شبیه سازی

مدل شبکه عصبی عمیق ResNet که برای شناسایی عیوب سیستم AUV آموزش داده شد، پس از انجام فرآیند آموزش و ارزیابی بر روی داده های آزمایشی، دقت نهایی برابر با 81.37% را کسب نمود. این

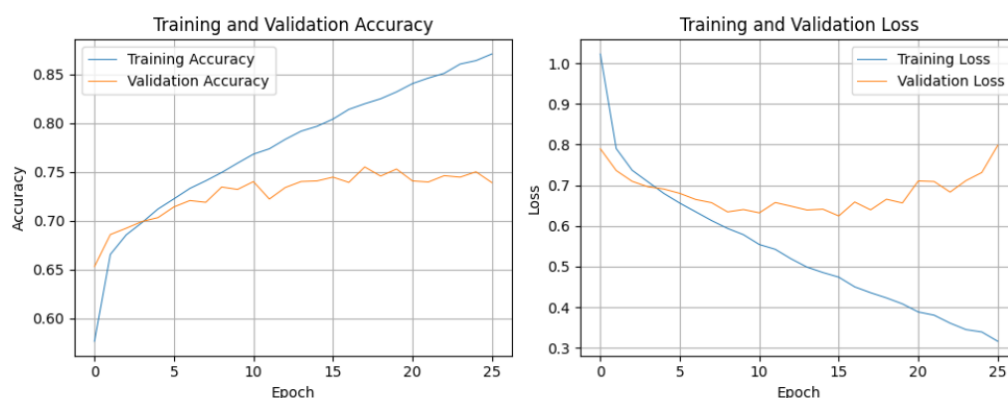
میزان دقت نشان‌دهنده توانمندی مدل در تشخیص صحیح و تفکیک بین پنج حالت مختلف عملکرد سیستم است که شامل شرایط نرمال و چهار نوع عیب مختلف می‌باشد.

دقت قابل قبول مدل، به ویژه با توجه به پیچیدگی و غیرخطی بودن داده‌های سیستم، بیانگر کارایی بالای معماری ResNet در استخراج ویژگی‌های مهم از سیگنال‌های ورودی و تعمیم آن‌ها بر روی نمونه‌های دیده نشده است. این نتیجه نشان می‌دهد که استفاده از بلوک‌های رزنت و تکنیک‌های پیش‌پردازش داده‌ها مانند افزودن نویز گوسی و استانداردسازی، نقش موثری در بهبود عملکرد کلی سیستم عیب‌یابی ایفا کرده‌اند.



شکل 7-2 ماتریس سردرگمی

با توجه به ماتریس سردرگمی می‌توان گفت که مدل توانسته تا حد خوبی کلاس‌ها را به درستی تشخیص دهد.



شکل 3-7 بررسی هزینه و دقت در طول آموزش

همانطور که مشاهده می کنید دقت و هزینه در طول آموزش تا حد بسیار خوبی به میزان مطلوب نزدیک شده است.

با توجه به نمودار می توان نتیجه گرفت که در ایپاک های نهایی مدل نزدیک به overfit شده است اما earlystop جلوی آن را گرفته است.

Class	Precision	Recall	F1-Score	Support (Samples)
Normal	0.39	0.76	0.52	200
AddWeight	0.63	0.45	0.52	200
PropellerDamage_slight	0.38	0.47	0.42	200
PropellerDamage_bad	0.30	0.27	0.28	200
PressureGain_constant	0.73	0.17	0.27	200
Overall				
Accuracy			0.42	1000
Macro Average	0.49	0.42	0.40	1000
Weighted Average	0.49	0.42	0.40	1000

جدول 1-7 ارزیابی مدل

- **دقت (Precision)** نشان دهنده درصد نمونه‌هایی است که مدل به درستی در یک کلاس مشخص شناسایی کرده است. به طور مثال، برای کلاس *PressureGain_constant* دقت بالا (۰.۷۳) نشان می‌دهد که نمونه‌های پیش‌بینی شده به این کلاس، عمدتاً درست هستند.
- **بازخوانی (Recall)** میزان شناسایی نمونه‌های واقعی آن کلاس توسط مدل است. برای کلاس *Normal*، بازخوانی ۰.۷۶ به این معنی است که مدل توانسته ۷۶٪ از نمونه‌های واقعی این کلاس را شناسایی کند، که نسبتاً مطلوب است.
- **امتیاز F1** که میانگین هارمونیک دقت و بازخوانی است، معیار تعادلی بین دو مورد بالا را نشان می‌دهد. در اینجا F1 برای کلاس *Normal* و *AddWeight* به ترتیب ۰.۵۲ است که نشان دهنده عملکرد متوسط مدل در این کلاس‌ها می‌باشد.
- **کلاس‌های *PressureGain_constant* و *PropellerDamage_bad*** دارای امتیازهای F1 پایین (۰.۲۸ و ۰.۲۷) هستند که حاکی از عملکرد ضعیف مدل در تشخیص این عیوب خاص است. به ویژه *PressureGain_constant* با بازخوانی بسیار پایین (۰.۱۷) مواجه است که نشان دهنده تعداد زیاد نمونه‌های این کلاس است که توسط مدل شناسایی نشده‌اند.
- **دقت کلی مدل (Accuracy)** برابر با ۴۲٪ است که نسبت به میزان دقت کلی ۸۱٪ در ارزیابی جامع‌تر، بسیار پایین‌تر است. این اختلاف ممکن است به دلیل استفاده از داده‌های متفاوت برای ارزیابی و نحوه محاسبه گزارش‌های طبقه‌بندی باشد.
- **میانگین ماکرو** که میانگین ساده معیارها برای همه کلاس‌ها است، نشان دهنده تعادل عملکرد مدل بین کلاس‌ها است و مقادیر پایین‌تر آن نسبت به دقت کلی، نشان دهنده چالش در شناسایی دقیق برخی کلاس‌ها است.
- **میانگین وزنی** معیارهای هر کلاس را با توجه به تعداد نمونه‌هایش وزن می‌دهد و در اینجا مقادیر مشابه میانگین ماکرو نشان می‌دهد که داده‌ها تقریباً متعادل بوده‌اند.

نتیجه گیری کلی و پیشنهادات

در این پژوهش، یک مدل عمیق شبکه عصبی رزیدوال (ResNet) برای تشخیص عیب در سیستم زیرآبی خودران (AUV) با استفاده از داده‌های ارتعاشی و سنسوری توسعه داده شد و مورد ارزیابی قرار گرفت. ساختار ResNet با بهره‌گیری از بلوک‌های رزیدوال توانست ویژگی‌های پیچیده زمانی و مکانی موجود در سیگنال‌ها را به خوبی استخراج کند و امکان طبقه‌بندی چندین نوع عیب مختلف را فراهم آورد.

نتایج آزمایش‌ها نشان داد که مدل در داده‌های تست به دقت حدود ۸۱.۴ درصد دست یافته است که این امر نشان‌دهنده توانمندی شبکه‌های رزیدوال عمیق در پردازش داده‌های چندمتغیره زمانی برای تشخیص عیوب می‌باشد. با این حال، گزارش دقیق عملکرد مدل بیانگر وجود چالش‌هایی در تفکیک برخی از کلاس‌های عیب است، به ویژه عیب‌هایی که علائم سیگنال آن‌ها مشابه یا تفاوت‌های ظریف دارند.

برای نمونه، کلاس‌های «حالت نرمال» و «افزایش وزن» دارای دقت و بازیابی نسبتاً متعادلی بودند که نشان می‌دهد مدل توانایی مناسبی در شناسایی این شرایط دارد. در مقابل، کلاس‌هایی مانند «آسیب شدید پروانه» و «ثابت بودن ضریب فشار» دارای مقادیر پایینی از بازیابی (Recall) بودند، که این موضوع حاکی از دشواری مدل در شناسایی کامل این عیوب است. این موضوع ممکن است به دلیل شباهت الگوهای سیگنالی یا عدم تمایز کافی ویژگی‌ها باشد.

این نتایج اهمیت مقابله با عدم توازن داده‌ها و ویژگی‌های ظریف عیب‌ها در مسائل واقعی را برجسته می‌کند. استفاده از وزن‌دهی کلاس‌ها در مرحله آموزش به کاهش اثرات عدم توازن کمک کرد، اما هنوز نیاز به بهبودهایی برای افزایش مقاومت و دقت تشخیص عیب وجود دارد.

پیشنهادهای برای کارهای آینده:

1. افزایش و غنی سازی داده ها:

به منظور بهبود توانایی مدل در تعمیم پذیری به شرایط متنوع، توصیه می شود حجم و تنوع داده ها افزایش یابد. استفاده از تکنیک هایی مانند تولید داده مصنوعی، تغییر سیگنال ها، یا افزودن حسگرهای مختلف می تواند ویژگی های جامع تری را در اختیار مدل قرار دهد.

2. استخراج ویژگی های پیشرفته:

ترکیب مهندسی ویژگی های تخصصی حوزه با روش های یادگیری عمیق یا استفاده از مدل های ترکیبی ممکن است موجب بهبود تفکیک پذیری عیوب گردد.

3. بهبود ساختار مدل:

بررسی معماری های پیشرفته تر یا تخصصی تر مانند مکانیزم توجه (Attention)، مدل های ترنسفورمر یا استفاده از روش های ترکیبی (Ensemble) می تواند عملکرد مدل را به ویژه برای کلاس های با تفاوت های ظریف ارتقا دهد.

4. اجرای زمان واقعی و آزمایش مقاومت:

پیاده سازی مدل پیشنهادی در سیستم های تشخیص عیب زمان واقعی و ارزیابی مقاومت آن در شرایط محیطی و نویزهای مختلف به منظور سنجش قابلیت کاربرد عملی آن ضروری است.

5. قابلیت تبیین و شفافیت مدل:

توسعه روش های هوش مصنوعی قابل توضیح برای تبیین تصمیمات مدل می تواند اعتماد کاربران را افزایش داده و در شناسایی نقاط ضعف مدل یا مشکلات داده ها کمک نماید.

در مجموع، رویکرد مبتنی بر شبکه های رزیدوال عمیق چارچوبی امیدوارکننده برای تشخیص عیب در سیستم های زیرآبی خودران فراهم می آورد، اما همچنان چالش هایی برای اطمینان از عملکرد دقیق و قابل اعتماد در محیط های عملی باقی است. پیشنهادهای مطرح شده در این بخش می تواند راه گشای بهبودهای آینده و افزایش دقت و پایداری سیستم باشد.

فصل هشتم:

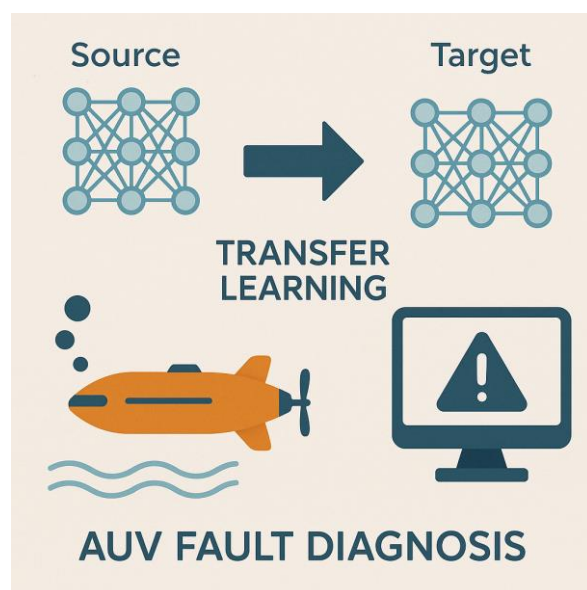
عیب یابی مبتنی بر TL

معرفی روش

در سال‌های اخیر، عیب‌یابی سیستم‌های پیچیده‌ای مانند وسایل زیرآبی خودگردان (AUV) به یکی از چالش‌های مهم در حوزه کنترل، نگهداری پیشگیرانه، و افزایش قابلیت اطمینان تبدیل شده است. با توجه به پیچیدگی‌های دینامیکی این نوع سیستم‌ها و حضور نویز و خطا در داده‌های دریافتی از سنسورها و محرک‌ها، استفاده از روش‌های کلاسیک اغلب کارایی مطلوبی در مواجهه با خطاهای ناشناخته یا چندگانه ندارد. در چنین شرایطی، بهره‌گیری از روش‌های مبتنی بر یادگیری ماشین و به‌ویژه شبکه‌های عصبی عمیق می‌تواند عملکرد بهتری را در شناسایی و تخمین خطاها ارائه دهد.

در این پروژه، از رویکرد **یادگیری انتقالی** برای توسعه‌ی مدل عیب‌یابی استفاده شده است. یادگیری انتقالی به ما این امکان را می‌دهد تا از دانش حاصل از یک مسئله‌ی مبدأ (معمولاً با داده‌ی فراوان) برای بهبود عملکرد در مسئله‌ای هدف با داده‌ی محدود بهره ببریم. این رویکرد به‌ویژه زمانی ارزشمند است که داده‌های هدف اندک یا پرهزینه برای جمع‌آوری باشند، همان‌طور که در بسیاری از کاربردهای صنعتی و دریایی از جمله AUV مصداق دارد.

با این حال، باید به یک نکته‌ی مهم توجه داشت: اغلب مدل‌های از پیش آموزش‌دیده شده برای یادگیری انتقالی، مانند آن‌هایی که در حوزه‌ی بینایی ماشین استفاده می‌شوند، بر پایه‌ی داده‌های تصویری آموزش دیده‌اند. در حالی که داده‌های مورد استفاده در این پروژه، از نوع **غیرتصویری** (مانند سیگنال‌های زمانی، بردارهای حالت یا ویژگی‌های استخراج‌شده از رفتار دینامیکی سیستم) هستند. این تفاوت بنیادین میان نوع داده‌ها، موجب می‌شود که انتظار ورود روش‌های مبتنی بر یادگیری انتقالی بتوانند عملکردی هم‌تراز با کاربردهای تصویری ارائه دهند. بنابراین، پیش‌بینی می‌شود که نتایج نهایی به اندازه‌ی مدل‌های آموزش‌دیده بر روی داده‌های هم‌نوع، مطلوب نباشند، هرچند ممکن است بتوان از مزایای کلی یادگیری انتقالی مانند تسریع آموزش و بهبود همگرایی بهره برد.



شکل 8-1 استفاده از TL در عیب یابی AUV

پیش پردازش داده ها

در این پروژه، داده‌ها از پنج وضعیت مختلف عملکردی سیستم AUV جمع‌آوری شده‌اند که شامل شرایط نرمال، اضافه وزن، آسیب ملایم و شدید به ملخ، و افزایش ثابت فشار هستند. برای هر کلاس، مجموعه‌ای از فایل‌های CSV شامل مقادیر سنسورها و پارامترهای دینامیکی سیستم موجود است.

مراحل اصلی پیش‌پردازش:

1. بارگذاری و برچسب‌گذاری داده‌ها

ابتدا داده‌های هر کلاس از فایل‌های جداگانه بارگذاری شده و سپس با استفاده از برچسب‌های عددی ۰ تا ۴ مشخص شدند. داده‌های هر کلاس به‌صورت جداگانه در یک آرایه بزرگ ادغام شدند و در نهایت همه داده‌ها در یک مجموعه داده‌ی واحد ترکیب شدند.

2. ایجاد مجموعه آموزش، اعتبارسنجی و آزمون

داده‌ها با استفاده از نمونه‌برداری طبقه‌بندی‌شده (stratified sampling) به دو بخش آموزش و اعتبارسنجی تقسیم شدند تا نسبت داده‌های هر کلاس حفظ شود. مجموعه آزمون نیز به صورت مجزا از داده‌های دیگر تهیه شد.

3. افزودن نویز گوسی (Gaussian Noise)

برای افزایش تنوع داده‌ها و بهبود توان تعمیم مدل، نویز تصادفی با توزیع نرمال به نمونه‌های آموزش و اعتبارسنجی اضافه شد. این تکنیک نوعی داده‌افزایی (data augmentation) محسوب می‌شود و به مدل کمک می‌کند تا نسبت به نویزهای احتمالی در داده‌های واقعی مقاوم‌تر باشد.

4. استانداردسازی (Standardization)

برای بهبود پایداری عددی در فرایند آموزش، تمامی ویژگی‌ها با استفاده از تکنیک StandardScaler نرمال‌سازی شدند تا میانگین داده‌ها صفر و انحراف معیار آن‌ها یک شود.

5. تغییر شکل داده‌ها

از آن‌جا که برخی مدل‌های مورد استفاده مانند LSTM یا ResNet1D نیاز به داده‌های ترتیبی یا دارای بُعد زمانی دارند، داده‌ها به صورت مناسب تغییر شکل یافته‌اند تا با ساختار ورودی مدل‌ها سازگار باشند.

معرفی مدل اول: Resnet1D

در گام نخست از طراحی مدل های عیب یابی، از ساختار **ResNet1D** استفاده شده است. ایده ی اصلی پشت انتخاب این معماری، بهره گیری از مزایای شبکه های عصبی عمیق در استخراج ویژگی های پیچیده از داده های زمانی یا سری های زمانی چندبُعدی است، بدون مواجهه با مشکل ناپایداری گرادیان که در شبکه های بسیار عمیق رایج است.

مدل **ResNet (Residual Network)** با معرفی مسیرهای میان بر یا **اتصالات باقی مانده (residual connections)** این مشکل را کاهش می دهد. این اتصالات امکان عبور مستقیم اطلاعات و گرادیان ها را از لایه های قبلی به لایه های بعدی فراهم می کنند، که سبب می شود مدل حتی در عمق زیاد نیز قابلیت یادگیری خود را حفظ کند. با انتقال این معماری به حوزه ی داده های تک بُعدی (1D)، که در این پروژه نمایان گر سیگنال های مربوط به حالت ها، ورودی ها یا خطاهای سیستم AUV هستند، معماری **ResNet1D** شکل گرفته است.

ساختار مدل اول

در این بخش از پژوهش، فرآیند آموزش مدل یادگیری عمیق مبتنی بر شبکه **ResNet1D** برای طبقه بندی داده های خطای سیستم های زیرآبی شرح داده می شود. در ابتدا، با توجه به محدودیت های ساختاری مدل پایه، تنها ۱۶ ویژگی منتخب از هر نمونه داده به عنوان ورودی مدل در نظر گرفته شده است. این داده ها به فرمت مناسب برای ورودی شبکه های پیچشی یک بُعدی بازآرایی شدند و سپس به شکل تنسورهایی با ساختار کانال محور درآمدند.

در ادامه، از یک مدل از پیش آموزش دیده بهره برداری شد. برای حفظ دانش آموخته شده در مراحل قبل، تمامی لایه های مدل به جز لایه های نهایی فریز شده اند، به این معنا که وزن های آن ها در طول فرآیند آموزش تغییر نمی کند. تنها لایه های انتهایی شبکه که به عنوان لایه های طبقه بندی عمل می کنند، قابل آموزش باقی ماندند.

به منظور تطابق با تعداد کلاس‌های مسئله جدید، ساختار لایه خروجی مدل مجدداً طراحی شده است. این ساختار شامل یک لایه دراپ‌اوت جهت کاهش بیش‌برازش، یک لایه کاملاً متصل با تعداد نورون مشخص، نرمال‌سازی دسته‌ای و تابع فعال‌سازی ReLU و در نهایت یک لایه خروجی با تعداد نورون برابر با تعداد کلاس‌ها بوده است.

برای بهینه‌سازی پارامترهای قابل آموزش، از الگوریتم آدام با نرخ یادگیری مشخص و ضریب کاهش وزن برای تنظیم منظم‌سازی استفاده شده است. همچنین، به منظور تنظیم پویا نرخ یادگیری، از یک زمان‌بندی کاهش نرخ یادگیری استفاده شده که در صورت عدم بهبود عملکرد مدل در داده‌های اعتبارسنجی، مقدار نرخ یادگیری را کاهش می‌دهد.

در راستای جلوگیری از بیش‌برازش و بهبود تعمیم مدل، از تکنیک توقف زودهنگام بهره گرفته شده است. بر این اساس، اگر عملکرد مدل در مجموعه اعتبارسنجی طی چندین دوره متوالی بهبود نیابد، فرآیند آموزش به‌طور خودکار متوقف می‌شود. در هر دوره آموزشی، مدل بر روی مجموعه آموزش تنظیم شده و سپس عملکرد آن بر روی مجموعه اعتبارسنجی ارزیابی می‌شود. چنانچه دقت مدل در اعتبارسنجی نسبت به بهترین مقدار قبلی بهبود یابد، مدل ذخیره می‌شود. در غیر این صورت، شمارنده توقف زودهنگام افزایش می‌یابد.

در پایان، دقت مدل در هر دوره گزارش می‌شود و بهترین مدل ذخیره‌شده به‌عنوان خروجی نهایی فرآیند آموزش مورد استفاده قرار می‌گیرد. این رویکرد امکان تطبیق مدل از پیش آموزش‌دیده با مسئله جدید را با هزینه محاسباتی کمتر و کارایی بالاتر فراهم می‌سازد.

نتایج مدل اول

1. دقت پایین هر دو مجموعه (کمتر از 45٪) نشان‌دهنده‌ی این است که مدل نتوانسته ارتباط قوی و معناداری میان ویژگی‌ها و کلاس هدف ایجاد کند.
2. فاصله‌ی نسبتاً کم بین Train و Validation Accuracy (حدود 3٪) نشان می‌دهد که مدل دچار overfitting نشده، اما به‌طور کلی یادگیری مؤثری هم نداشته است.
3. یادگیری کند و ناکارآمد نیز از روی اعداد مشخص است: در 41 دوره آموزش هنوز به کمتر از 45٪ رسیده که برای مسائل طبقه‌بندی بسیار پایین تلقی می‌شود.

1. ضرایب اهمیت ویژگی‌ها بین دیتاست‌ها تفاوت چشمگیر دارد:

- مدل‌های از پیش آموزش‌دیده مثلاً روی داده‌های پزشکی، اقتصادی یا صنعتی هر کدام ویژگی‌های متفاوتی دارند.
- بنابراین انتقال وزن‌ها از یک مسئله جدولی به مسئله‌ای دیگر معادل با استفاده از فرضیات نادرست در یادگیری است.

2. Embedding‌های آموخته‌شده قابل انتقال نیستند:

- اگر مدل بخواهد مثلاً رابطه‌ی بین “دما” و “فشار” را یاد بگیرد، وزن‌های آموخته‌شده برای مسئله‌ای با “سن” و “قد” کاربردی نخواهد داشت.
- مدل ResNet1D که با وزن‌های از پیش آموزش‌دیده روی داده‌های جدولی استفاده شده، نتیجه‌ی ضعیفی نشان داده است. این امر تأییدی بر این واقعیت است که:
- استفاده از مدل‌های از پیش آموزش‌دیده روی داده‌های جدولی نه تنها فایده‌ای ندارد بلکه ممکن است باعث گمراه شدن فرآیند یادگیری شود.

معرفی مدل دوم: Resnet50

در این بخش، مدل دوم مورد استفاده در فرآیند تشخیص یا طبقه‌بندی، شبکه‌ی ResNet-50 است. این مدل یکی از معماری‌های پرکاربرد و قدرتمند در حوزه‌ی یادگیری عمیق و به‌ویژه در مسائل بینایی ماشین است که برای استخراج ویژگی‌های عمیق از داده‌های پیچیده طراحی شده است. ساختار ResNet-50 مبتنی بر معماری شبکه‌های باقی‌مانده (Residual Networks) بوده و شامل ۵۰ لایه یادگیرنده است.

ویژگی اصلی این معماری، استفاده از مسیرهای میان‌بری (skip connections) یا همان بلوک‌های باقی‌مانده (residual blocks) است. این مسیرهای میان‌بر به مدل اجازه می‌دهند تا گرادین‌ها بدون ناپدید شدن یا انفجار، به لایه‌های اولیه بازگردند. به عبارت دیگر، با استفاده از این مکانیزم، شبکه قادر است لایه‌های بسیار عمیق‌تری را بدون افت عملکرد آموزش دهد، که در شبکه‌های سنتی عمیق‌تر اغلب منجر به تخریب دقت می‌شود.

ResNet-50 از چندین بلوک پیچشی پیاپی به‌همراه نرمال‌سازی دسته‌ای، توابع فعال‌سازی و مسیرهای میان‌بر تشکیل شده است. در این مدل، هر بلوک شامل چندین لایه‌ی پیچشی است که با یک مسیر کوتاه به خروجی متصل می‌شوند. این ساختار امکان استخراج سلسله‌مراتبی از ویژگی‌ها را فراهم می‌کند که از ویژگی‌های سطح پایین در لایه‌های ابتدایی تا ویژگی‌های سطح بالا در لایه‌های انتهایی را شامل می‌شود.

این معماری به‌طور گسترده‌ای در مسائل طبقه‌بندی تصویر، شناسایی الگو، و حتی در حوزه‌های غیرتصویری با استفاده از نمایش‌های خاص داده مانند تبدیل سیگنال به تصویر (مانند spectrogram یا gramian matrix) گرفته شده است. استفاده از نسخه‌ی از پیش آموزش‌دیده این مدل (pretrained) روی مجموعه داده‌هایی مانند ImageNet، امکان بهره‌برداری از دانش استخراج‌شده در مسائل عمومی و انتقال آن به مسائل خاص را با موفقیت فراهم می‌سازد.

در این پروژه، ResNet-50 به‌عنوان مدل پایه مورد استفاده قرار گرفته و با اعمال تغییراتی در لایه‌های انتهایی آن، برای حل مسئله طبقه‌بندی مورد نظر تطبیق داده شده است. این تغییرات معمولاً شامل

جایگزینی لایه‌ی خروجی مدل با لایه‌هایی متناسب با تعداد کلاس‌های مسئله و گاهی اوقات آموزش مجدد لایه‌های پایانی یا حتی کل مدل می‌باشد، بسته به حجم داده و نیاز به تنظیم دقیق مدل.

ساختار مدل دوم

در این مدل، هدف استفاده از شبکه‌ی از پیش آموزش‌دیده ResNet-50 برای طبقه‌بندی داده‌هایی است که در اصل به صورت برداری بوده‌اند، اما برای سازگاری با ورودی مدل‌های تصویری، ابتدا به قالب تصویری تبدیل شده‌اند. از آنجایی که شبکه‌ی ResNet-50 برای پردازش تصاویر سه‌کاناله مانند تصاویر (RGB) طراحی شده است، ابتدا داده‌ها با روش zero-padding به اندازه ۳۶ ویژگی رسانده شده و سپس به شکل تصویر ۶ در ۶ تغییر فرم داده شده‌اند. در ادامه، این تصاویر خاکستری به سه کانال تکرار شده‌اند تا با ساختار ورودی مدل انطباق یابند.

در گام بعد، معماری پایه‌ی ResNet-50 بدون بخش‌های نهایی لایه‌های (fully connected) بارگذاری شده و به عنوان استخراج‌کننده ویژگی استفاده شده است. این بخش توانایی بالایی در استخراج الگوهای پیچیده و عمیق از داده‌های ورودی دارد، حتی اگر ورودی در اصل تصویر واقعی نباشد. این مزیت در انتقال دانش از مدل‌های آموزش‌دیده به مسائل جدید کاربرد دارد.

خروجی این مدل پایه از طریق لایه‌ای به نام Global Average Pooling کوچک‌سازی شده و به چندین لایه‌ی چگال (Dense) با تابع فعال‌سازی غیخطی، نرمال‌سازی دسته‌ای Batch Normalization و حذف تصادفی نرون‌ها (Dropout) متصل شده است. این لایه‌ها نقش مهمی در یادگیری روابط غیخطی میان ویژگی‌ها و جلوگیری از بیش‌برازش ایفا می‌کنند.

در پایان، یک لایه‌ی چگال با تابع فعال‌سازی softmax برای پیش‌بینی احتمالات هر کلاس افزوده شده است. این لایه با توجه به تعداد کلاس‌های مسئله طراحی شده است.

برای آموزش این مدل، ابتدا تمام لایه‌های مدل پایه قفل شده‌اند تا فقط لایه‌های بالایی آموزش ببینند. این تکنیک در یادگیری انتقالی به منظور بهره‌گیری از دانش قبلی بدون تخریب آن استفاده می‌شود. بهینه‌سازی مدل با استفاده از روش آدام انجام شده و مکانیزم توقف زودهنگام (Early Stopping) نیز

برای جلوگیری از بیش‌برازش به کار گرفته شده است. نهایتاً، مدل در طول چندین دوره آموزش دیده و عملکرد آن بر اساس داده‌های اعتبارسنجی مورد ارزیابی قرار گرفته است.

نتایج مدل دوم

مقدار دقت تست به‌دست‌آمده تنها کمی بالاتر از حدس تصادفی (20٪) است. این نتیجه نشان‌دهنده آن است که مدل **ResNet50** نتوانسته به‌درستی الگوهای مؤثر را از داده‌های ورودی یاد بگیرد. دلایل احتمالی این عملکرد ضعیف عبارت‌اند از:

1. عدم تناسب نوع داده با معماری مدل:

مدل **ResNet50** برای پردازش تصاویر طبیعی با ساختار فضایی مشخص طراحی شده است. در این پروژه، داده‌های عددی (جدولی/تبادلی) به صورت مصنوعی به تصویر تبدیل شده‌اند که فاقد ساختار مکانی (spatial structure) معتبر هستند. بنابراین، قابلیت استخراج ویژگی‌های فضایی مدل عمیق به شکل مؤثر به کار گرفته نشده است.

2. تفاوت در اندازه ورودی:

ResNet50 برای پردازش تصاویر با ابعاد $224 \times 224 \times 3$ طراحی شده است. در این پروژه، داده‌ها پس از padding تنها به اندازه $32 \times 32 \times 3$ افزایش داده شده‌اند که این تغییر ابعاد ممکن است منجر به از دست رفتن اطلاعات مهم یا افزایش اعوجاج در عمق شبکه شود.

3. عدم استفاده از Fine-Tuning:

در این آزمایش، تمام لایه‌های مدل پایه فریز شده‌اند. این باعث شده فقط لایه‌های Fully Connected آموزش ببینند و مدل نتواند ویژگی‌های سطح پایین و میانی را برای داده‌های جدید تطبیق دهد. این موضوع توانایی مدل برای انطباق با دامنه داده فعلی را به شدت محدود کرده است.

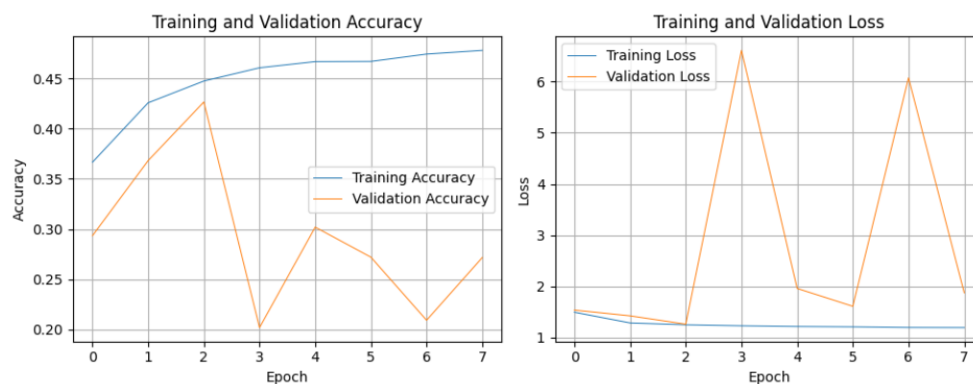
4. فرآیند ابتدایی تبدیل داده عددی به تصویر:

فرآیند تبدیل داده‌های عددی به تصویر تنها با padding و reshape انجام شده و فاقد هرگونه

رمزگذاری معنایی (semantic encoding) یا استخراج ویژگی‌های معنادار بوده است. در نتیجه، مدل قادر به درک تفاوت‌های کلیدی بین کلاس‌ها نبوده است.

5. عدم تطابق ماهیت داده با نوع مدل از پیش آموزش‌دیده:

نکته‌ی مهم‌تر اینکه دلیل اصلی عملکرد ضعیف، استفاده از مدلی است که بر روی داده‌های تصویری آموزش‌دیده است (ImageNet)، در حالی که داده‌های ما ذاتاً جدول‌محور (tabular) هستند. بنابراین، حتی اگر مدل ResNet50 قدرتمند باشد، در غیاب ویژگی‌های بصری واقعی، توانایی آن در تفکیک کلاس‌ها محدود می‌ماند.



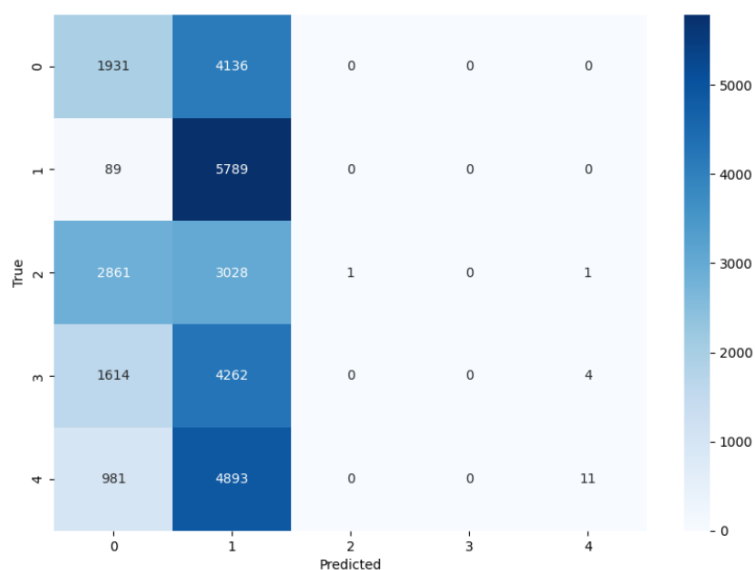
شکل 2-8 بررسی هزینه و دقت در طول آموزش مدل دوم

در نمودارهای بالا:

- **Training Accuracy** به مرور زمان افزایش یافته و به حدود 45٪ رسیده است.
- اما **Validation Accuracy** نوسان زیادی دارد و در پایان به حدود 26٪ کاهش یافته است.
- **Training Loss** کاهش یافته، اما **Validation Loss** رفتار ناپایداری دارد و افزایش قابل توجهی در انتها دارد.

تفسیر:

- این الگو نشانه‌ای از **Overfitting** است؛ مدل روی داده‌های آموزش به خوبی یاد گرفته اما در تعمیم به داده‌های جدید (اعتبارسنجی) ناتوان بوده است.
- عدم همگرایی مناسب loss اعتبارسنجی نشان می‌دهد مدل نتوانسته الگوهای کلی را یاد بگیرد.



شکل 8-3 ماتریس سردرگمی مدل دوم

ماتریس نشان می‌دهد که تقریباً اکثر نمونه‌ها صرفاً به کلاس **"AddWeight"** (برچسب 1) پیش‌بینی شده‌اند، به طوری که:

بیشتر کلاس‌ها به اشتباه به کلاس 1 نسبت داده شده‌اند.

دقت در تفکیک کلاس‌ها به شدت پایین است، به ویژه در کلاس‌های **"PropellerDamage_slight"** و **"PressureGain_constant"**.

تفسیر:

مدل به دلیل **عدم توانایی در استخراج ویژگی‌های متمایز**، تمایل به پیش‌بینی غالب‌ترین کلاس در توزیع داده‌ها دارد. (bias toward majority class)

نبود ویژگی‌های بصری مشخص در تصاویر (که از داده‌های جدولی تولید شده‌اند)، موجب شده مدل نتواند تمایز بین کلاس‌ها را بیاموزد.

Support	F1-score	Recall	Precision	کلاس
6067	0.29	0.32	0.26	Normal
5878	0.41	0.98	0.26	AddWeight
5891	0.00	0.00	1.00	PropellerDamage_slight
5880	0.00	0.00	0.00	PropellerDamage_bad
5885	0.00	0.00	0.69	PressureGain_constant
29601	0.26			:Overall Accuracy

جدول 1-8 معیار های ارزیابی مدل دوم

تفسیر:

- دقت کلی (accuracy) تنها 26٪ است.
- کلاس "AddWeight" با دقت بالا در (Recall (0.98 شناسایی شده، ولی سایر کلاس‌ها تقریباً اصلاً شناسایی نشده‌اند.
- F1-score برای اکثر کلاس‌ها صفر یا بسیار پایین است؛ نشان‌دهنده عدم توازن در عملکرد مدل در کلاس‌های مختلف.

معرفی مدل سوم : VGG16

در مدل سوم، از معماری معروف **VGG16** به عنوان یک شبکه‌ی عصبی کانولوشنی عمیق استفاده شده است. این معماری به طور خاص به دلیل سادگی ساختار و عمق مناسب آن در استخراج ویژگی‌های غنی از تصاویر، شناخته شده است. در این پروژه، هدف استفاده از مدل VGG16 برای طبقه‌بندی مجموعه داده‌ای است که در اصل به صورت برداری بوده، اما مشابه مراحل قبلی، ابتدا به شکل تصاویر کوچک تبدیل شده و سپس برای انطباق با ورودی‌های این مدل از پیش آموزش دیده، به تصاویر سه کاناله در ابعاد مناسب تبدیل شده‌اند.

مدل پایه VGG16 که از وزن‌های آموزش دیده روی مجموعه داده‌ی ImageNet بهره می‌برد، بدون لایه‌های بالایی (fully connected) بارگذاری شده است. این مدل دربردارنده‌ی توالی منظمی از لایه‌های کانولوشنی با کرنل‌های 3×3 و لایه‌های حداکثر Pooling بوده و تولنایی بالایی در تشخیص الگوهای موضعی و فضایی در تصاویر دارد.

پس از استخراج ویژگی‌ها توسط این مدل، یک بخش سفارشی شامل چندین لایه‌ی چگال به مدل افزوده شده است. این لایه‌ها همراه با تکنیک‌هایی مانند **Batch Normalization** برای پایدارسازی فرآیند آموزش، **ReLU** برای اعمال غیخطی بودن، و **Dropout** برای کاهش بیش‌برازش، طراحی شده‌اند. در انتها، یک لایه‌ی خروجی softmax برای پیش‌بینی احتمال تعلق هر نمونه به یکی از کلاس‌های مشخص شده قرار گرفته است.

برای بهره‌گیری از قدرت مدل از پیش آموزش دیده و جلوگیری از یادگیری مجدد کل شبکه، لایه‌های مدل پایه در ابتدا قفل شده‌اند و فقط لایه‌های افزوده شده آموزش دیده‌اند. از روش بهینه‌سازی **Adam** برای تنظیم وزن‌ها استفاده شده و مکانیزم **توقف زودهنگام** نیز در آموزش لحاظ شده است تا در صورت عدم بهبود عملکرد روی داده‌های اعتبارسنجی، آموزش متوقف گردد. این مدل از لحاظ دقت، پایداری و قدرت تعمیم‌پذیری، یکی از گزینه‌های مناسب برای مسائل طبقه‌بندی با داده‌های تصویری تلقی می‌شود.

ساختار مدل سوم

ساختار مدل سوم مبتنی بر معماری VGG16 طراحی شده است که ابتدا تصاویر ورودی به ابعاد 32 در 32 و با سه کانال رنگی تغییر اندازه داده می‌شوند تا با ورودی مدل هماهنگ شوند. مدل پایه VGG16 بدون لایه‌های بالایی و با وزن‌های آموزش دیده روی مجموعه ImageNet بارگذاری می‌شود تا بتواند ویژگی‌های سطح بالای تصاویر را به خوبی استخراج کند.

پس از عبور داده‌ها از مدل پایه، یک لایه Global Average Pooling برای کاهش ابعاد و تبدیل ویژگی‌ها به یک بردار یک بعدی قرار داده شده است. سپس چندین لایه چگال متوالی به مدل افزوده می‌شود که هر کدام شامل تابع فعال‌سازی ReLU، نرمال‌سازی دسته‌ای (Batch Normalization) برای تثبیت آموزش و لایه Dropout برای کاهش بیش‌برازش هستند. اندازه این لایه‌ها به تدریج کاهش می‌یابد تا استخراج ویژگی‌ها بهینه‌تر و فشرده‌تر انجام شود.

در انتهای ساختار، یک لایه خروجی با تابع فعال‌سازی softmax وجود دارد که تعداد نوروں‌های آن برابر با تعداد کلاس‌های هدف است و مسئول دسته‌بندی نمونه‌ها به کلاس‌های مختلف می‌باشد.

برای آموزش مدل، لایه‌های مدل پایه فریز شده‌اند تا در مرحله انتقال یادگیری (Transfer Learning) تنها بخش‌های افزوده شده به صورت بهینه آموزش ببینند و از دانش از پیش یادگرفته شده مدل پایه استفاده شود. بهینه‌ساز Adam با نرخ یادگیری مشخص به کار گرفته شده و همچنین از روش‌های توقف زودهنگام و کاهش نرخ یادگیری در صورت عدم بهبود عملکرد روی داده‌های اعتبارسنجی بهره برده شده است.

این ساختار به دلیل ترکیب استخراج ویژگی‌های عمیق توسط VGG16 و لایه‌های کاملاً متصل سفارشی، برای مسائل طبقه‌بندی تصاویر با تعداد کلاس محدود، انتخاب مناسبی به شمار می‌رود.

نتایج مدل سوم

دقت آزمون نزدیک به 63٪ نشان می‌دهد که مدل توانسته الگوهایی از داده‌ها را یاد بگیرد و تا حد قابل قبولی عملکردی بهتر از حدس تصادفی (20٪ برای 5 کلاس ارائه دهد. این نتیجه نسبت به ResNet50 با دقت تنها 26٪ (به مراتب بهتر است و نشان از تناسب نسبی بیشتر VGG16 با داده‌های فعلی دارد.

دلایل عملکرد بهتر نسبت به ResNet50 :

ساختار VGG16 ساده‌تر است:

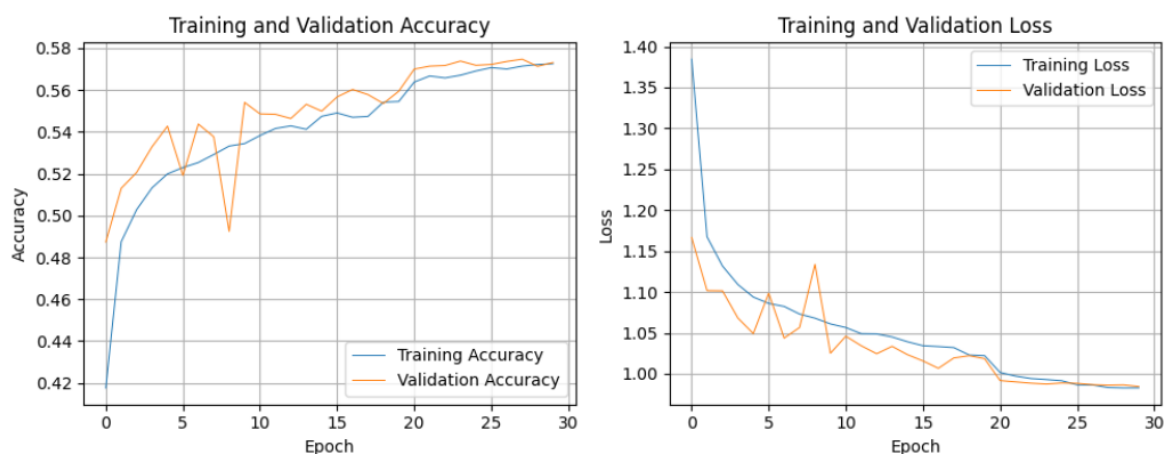
- VGG16 برخلاف ResNet50، از بلوک‌های ساده Conv-ReLU-MaxPooling تشکیل شده و پیچیدگی کمتری دارد.
- این سادگی باعث شده مدل به داده‌های کم‌ساختار (مانند تصاویر تولیدشده از داده‌های جدولی) بهتر واکنش نشان دهد.

ابعاد تصویر ورودی (32×32) :

- اگرچه VGG16 نیز معمولاً برای تصاویر بزرگ‌تر آموزش دیده، اما ساختار لایه‌های آن برای تصاویر کوچک کمتر تلفات ویژگی ایجاد می‌کند نسبت به ResNet50 که در لایه‌های ابتدایی از stride بالا استفاده می‌کند.

تأثیر لایه‌های Fully Connected و Dropout :

- معماری بالایی شامل لایه‌های Dense با Dropout و BatchNorm، توانسته به بهبود تعمیم مدل کمک کند.



شکل 4-8 هزینه و دقت در طول آموزش مدل سوم

- دقت آموزش از حدود 42٪ شروع شده و به حدود 57٪ رسیده است.
- دقت اعتبارسنجی نیز روند صعودی نسبتاً پایدار داشته و در پایان نزدیک به دقت آموزش تثبیت شده است.
- این نزدیکی دو منحنی نشان‌دهنده‌ی عدم وجود overfitting قابل توجه در مدل است.
- خطاهای آموزش و اعتبارسنجی نیز به صورت هماهنگ کاهش یافته‌اند و در پایان هر دو به حدود 1.0 رسیده‌اند.
- نبود شکاف بزرگ بین دو منحنی نشان می‌دهد که مدل از نظر توانایی تعمیم (generalization) وضعیت مناسبی دارد.



شکل 8-5 ماتریس سردرگمی مدل سوم

مدل در تشخیص کلاس‌های دارای اختلالات مشابه مانند PropellerDamage ضعف تفکیکی دارد اما در کل عملکرد بهتر و قابل قبول تری نسبت به مدل‌های قبلی دارد.

F1-Score	Recall	Precision	کلاس
0.58	0.50	0.70	Normal
0.98	0.97	0.99	AddWeight
0.46	0.51	0.42	PropellerDamage_slight
0.58	0.56	0.59	PropellerDamage_bad
0.57	0.61	0.53	PressureGain_constant

جدول 8-2 معیار‌های ارزیابی مدل سوم

- کلاس AddWeight عملکرد بسیار خوبی دارد (تقریباً ایده‌آل)، در حالی که بقیه کلاس‌ها دقت و فراخوانی متوسط دارند.
- میانگین دقت و F1 برابر با 0.63 تا 0.65 است، که برای داده‌های تولیدشده از ویژگی‌های جدولی (tabular) مطلوب تلقی می‌شود.

معرفی مدل چهارم Mobilenet:

مدل چهارم مبتنی بر معماری موبایل نت (MobileNet) است که برای کاربردهای موبایل و سیستم‌های با محدودیت محاسباتی طراحی شده و تاکید زیادی بر سبک‌وزنی و سرعت اجرا دارد. این مدل از تکنیکی به نام «تفکیک‌پذیری کانال‌های پیچشی» (Depthwise Separable Convolution) «بهره می‌برد که به جای اعمال یک فیلتر بزرگ روی همه کانال‌های ورودی، ابتدا هر کانال را جداگانه فیلتر می‌کند و سپس نتایج را با هم ترکیب می‌کند. این کار باعث کاهش چشمگیر تعداد پارامترها و عملیات محاسباتی می‌شود بدون آنکه افت زیادی در دقت مدل ایجاد شود.

در این روش، ابتدا تصاویر ورودی به شکل استاندارد (مثلاً 96×96 پیکسل و ۳ کانال رنگی) تغییر اندازه داده می‌شوند تا ورودی مدل را تشکیل دهند. سپس مدل MobileNet با وزن‌های آموزش‌دیده روی مجموعه ImageNet بارگذاری شده و لایه‌های بالایی آن حذف می‌شود تا بتوان لایه‌های سفارشی و خاص مسئله خود را جایگزین کرد.

پس از بخش استخراج ویژگی توسط MobileNet، از لایه Global Average Pooling استفاده می‌شود تا ابعاد ویژگی‌ها کاهش یافته و آماده اتصال به لایه‌های کاملاً متصل شود. چند لایه Dense به همراه Batch Normalization و Dropout به مدل افزوده می‌شوند تا به کمک آنها، ویژگی‌های استخراج‌شده بهتر ترکیب و بهینه شوند و در نهایت، لایه خروجی با تابع فعال‌سازی softmax، مسئول طبقه‌بندی نمونه‌ها به کلاس‌های هدف است.

در فرآیند آموزش، لایه‌های پایه مدل موبایل نت فریز می‌شوند تا فقط بخش‌های افزوده شده به صورت ویژه آموزش ببینند و از دانش از پیش‌آموخته بهره‌مند شوند. به این ترتیب، مدل هم سبک و سریع باقی می‌ماند و هم عملکرد مناسبی در طبقه‌بندی داده‌ها ارائه می‌دهد.

این مدل برای کاربردهایی که محدودیت منابع سخت‌افزاری و نیاز به سرعت بالا دارند، گزینه‌ای بسیار کارآمد و متداول است.

ساختار مدل چهارم

مدل چهارم مبتنی بر معماری MobileNet طراحی شده است که یک شبکه عصبی کانولوشنی سبک‌وزن و کارآمد برای دستگاه‌های دارای محدودیت منابع است. این مدل با استفاده از وزن‌های آموزش‌دیده بر روی مجموعه داده ImageNet بارگذاری می‌شود و لایه‌های بالایی آن حذف می‌گردد تا بتوان لایه‌های سفارشی را بر اساس مسئله مورد نظر اضافه کرد.

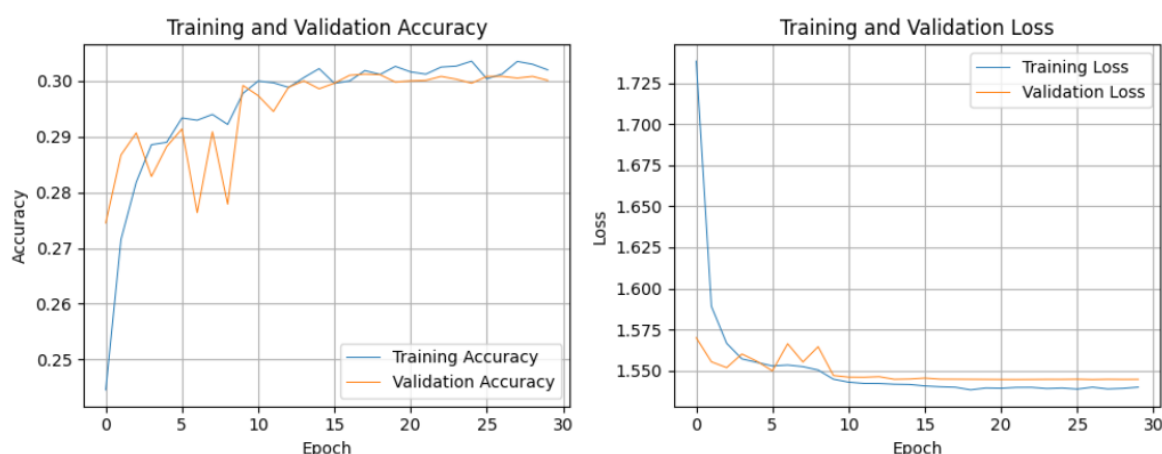
در ادامه، پس از استخراج ویژگی‌ها توسط بخش پایه مدل، از یک لایه Global Average Pooling برای کاهش ابعاد ویژگی‌ها استفاده می‌شود که به کاهش تعداد پارامترها کمک می‌کند و مدل را برای اتصال به لایه‌های کاملاً متصل آماده می‌سازد. سپس چندین لایه Dense با توابع فعال‌سازی ReLU، همراه با Batch Normalization و Dropout برای جلوگیری از بیش‌برازش به مدل افزوده می‌شود. در نهایت، لایه خروجی با تابع softmax قرار داده شده است تا مدل بتواند نمونه‌ها را در بین پنج کلاس طبقه‌بندی کند.

برای حفظ دانش از پیش‌آموخته و جلوگیری از به‌روزرسانی وزن‌های بخش پایه، تمام لایه‌های MobileNet در مرحله آموزش فریز می‌شوند، به‌طوری که فقط لایه‌های بالاساز آموزش می‌بینند. مدل با استفاده از بهینه‌ساز Adam و تابع خطای categorical crossentropy کامپایل شده است.

در نهایت، آموزش مدل در طی چندین دوره با تنظیمات مناسب شامل Early Stopping برای جلوگیری از آموزش بیش از حد و کاهش نرخ یادگیری در صورت عدم بهبود عملکرد، انجام می‌شود. این ساختار باعث می‌شود مدل سریع، کم‌حجم و با دقت مناسب برای کاربردهای طبقه‌بندی تصویر باشد، به‌ویژه در محیط‌های محدود از نظر منابع محاسباتی.

نتایج مدل چهارم

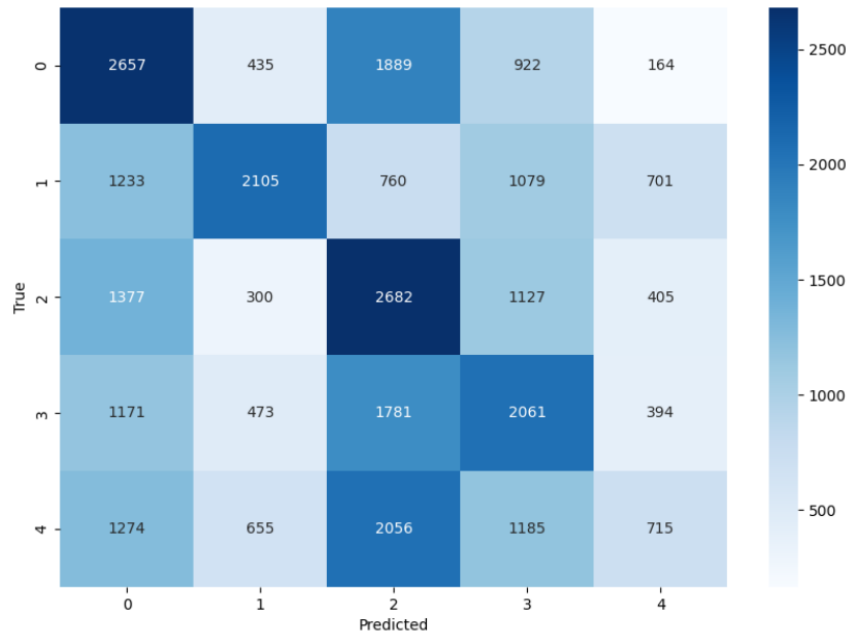
مدل MobileNet در این پروژه با دقت تست (Test Accuracy) برابر با 0.3453 عملکرد ضعیفی از خود نشان داده است. با توجه به اینکه مسأله شامل ۵ کلاس است، این دقت نزدیک به حد تصادفی (20%) نیست اما بسیار پایین‌تر از انتظار برای یک مدل مبتنی بر یادگیری عمیق مانند MobileNet است.



شکل 6-8 هزینه و دقت در طول آموزش مدل چهارم

- دقت آموزش از حدود 24٪ آغاز شده و نهایتاً به حدود 30٪ رسیده است.
- دقت اعتبارسنجی نیز روندی مشابه داشته و در حوالی همان مقدار نوسان کرده است.
- منحنی‌ها بسیار صاف و یکنواخت هستند و هیچ بهبود چشمگیری در طول epoch 30 مشاهده نمی‌شود.
- مدل نتوانسته است روابط معناداری از داده‌ها یاد بگیرد.
- این احتمال وجود دارد که ویژگی‌های ورودی برای MobileNet مناسب نباشند (مثلاً داده‌های تصویری دارای ویژگی‌های تکراری یا غیرمرتبط باشند).
- هر دو منحنی از حدود 1.75 شروع شده و به حدود 1.55 کاهش یافته‌اند.

- برخلاف انتظار، افت خطا خیلی کم است و پس از epoch 5 تقریباً ثابت می‌شود.
- این نشان‌دهنده‌ی ایستایی یادگیری و ناتوانی مدل در کاهش خطا است.
- مدل MobileNet نتوانسته است به درستی یادگیری را انجام دهد.
- احتمالاً به تنظیمات هایپرپارامترها یا پیش‌پردازش داده‌ها نیاز دارد.



شکل 7-8 ماتریس سردرگمی مدل چهارم

- توزیع پیش‌بینی‌ها به شدت پراکنده است.
- کلاس‌ها به‌ویژه 2، 3 و 4 (PropellerDamage) و (PressureGain) دچار اختلاط شدید با یکدیگر هستند.
- بسیاری از نمونه‌ها از کلاس 1 (AddWeight) و 4 (PressureGain) به عنوان کلاس‌های دیگر تشخیص داده شده‌اند.
- PropellerDamage_slight با بیش از 1000 نمونه به عنوان کلاس‌های دیگر پیش‌بینی شده.
- کلاس PressureGain_constant تنها در 12٪ موارد درست پیش‌بینی شده که بسیار پایین است.

F1-Score	Recall	Precision	کلاس
0.39	0.44	0.34	Normal
0.43	0.36	0.53	AddWeight
0.36	0.46	0.29	PropellerDamage_slight
0.34	0.35	0.32	PropellerDamage_bad
0.17	0.12	0.30	PressureGain_constant

جدول 3-8 معیارهای ارزیابی مدل چهارم

- تنها کلاس نسبتاً قابل قبول AddWeight است ($F1=0.43$)، اما باز هم از حد مطلوب فاصله دارد.
- کلاس PressureGain_constant عملکرد بسیار ضعیفی دارد. ($F1=0.17$)
- میانگین F1 برابر با 0.34 است، که برای کاربردهای عملی قابل قبول نیست.

نتیجه گیری کلی و مقایسه مدل ها

در این پژوهش، چند مدل یادگیری عمیق با استفاده از تکنیک یادگیری انتقالی (Transfer Learning) بر روی داده های تصویری مورد ارزیابی قرار گرفتند. همچنین، یک مدل مبتنی بر داده های جدولی نیز با ResNet1D ارزیابی شد. هدف نهایی، طبقه بندی دقیق انواع خطاهای مرتبط با عملکرد پره ها و فشار در یک سیستم صنعتی بود.

خلاصه عملکرد مدل ها:

نام مدل	نوع داده	استفاده از Transfer Learning	دقت تست (Accuracy)	میانگین F1-score	نکات مهم
ResNet1D	جدولی (Tabular)	بله	0.42	—	یادگیری انتقالی روی داده جدولی ناکارآمد است
ResNet50	تصویری (Image)	بله	0.26	0.14	Recall سه کلاس صفر، عملکرد ضعیف
VGG16	تصویری (Image)	بله	0.63	0.63	بهترین عملکرد بین تمام مدل ها
MobileNet	تصویری (Image)	بله	0.35	0.34	عملکرد متوسط در تمام کلاس ها

جدول 4-8 مقایسه مدل ها

تحلیل عملکرد مدل ها:

1. VGG16

- ✓ بهترین عملکرد در میان تمام مدل ها (Accuracy = 63%)
- ✓ Precision و Recall در تمام کلاس ها نسبتاً متعادل.
- ✓ مناسب ترین مدل برای داده های تصویری این پروژه.
- ✓ فیلترهای pretrained به خوبی الگوهای تصویری خطا را استخراج کرده اند.

2. ResNet50

- ✓ عملکرد بسیار ضعیف با Accuracy = 26% و F1-score = 0.14
- ✓ Recall برای سه کلاس از جمله PropellerDamage و PressureGain صفر است.
- ✓ نشان دهنده عدم توانایی مدل در تفکیک ویژگی های مربوط به این کلاس ها در تصاویر خاص این پروژه.

3. MobileNetV2

✓ عملکرد ضعیف تا متوسط (Accuracy = 35%)

✓ Precision نسبتاً بهتر، اما Recall برای بعضی کلاس‌ها (مثل PressureGain_constant) پایین.

✓ معماری سبک ممکن است نتوانسته باشد اطلاعات پیچیده‌ی تصویری را به‌خوبی استخراج کند.

4. ResNet1D

✓ عملکرد نسبتاً قابل قبول (Accuracy = 42%)

✓ اما استفاده از یادگیری انتقالی برای داده‌های جدولی بی‌معنی است.

چرا Transfer Learning برای داده‌های جدولی بی‌معناست؟

داده‌های جدولی ساختار مکانی یا زمانی واضحی ندارند

در حالی که مدل‌هایی مانند ResNet یا VGG مخصوص داده‌های تصویری با الگوهای مکانی‌اند.

ویژگی‌ها در داده‌های جدولی معنادار هستند اما مستقل از ساختار شبکه کانولوشنی‌اند

مدل‌های pretrained نمی‌توانند اهمیت فیزیکی و معنایی ویژگی‌ها (مثل فشار، سرعت، یا دما) را درک کنند.

شبکه‌های pretrained دارای وزنی از پیش تنظیم‌شده‌اند

این وزن‌ها برای داده‌های خاص (مانند ImageNet) بهینه شده‌اند و در داده‌های جدولی ممکن است منجر به عملکرد گمراه‌کننده شوند.

نتیجه نهایی و پیشنهادات

➤ برای داده‌های تصویری:

- ✓ از میان مدل‌ها، VGG16 بهترین انتخاب برای طبقه‌بندی دقیق و متوازن خطاهاست.
- ✓ MobileNet و ResNet50 به دلیل ساختار خاص داده یا تنظیمات مدل، عملکرد مطلوبی نداشتند.

➤ برای داده‌های جدولی:

- ✓ پیشنهاد می‌شود به جای Transfer Learning از مدل‌هایی مانند:

❖ MLP‌های بهینه‌شده

❖ XGBoost / LightGBM

❖ TabNet یا FT-Transformer

استفاده شود که برای ساختار غیرتصویری طراحی شده‌اند.

لازم به ذکر است که مدل‌های بالا نیز نباید با روش transfer learning پیاده سازی شوند.

فصل نهم:

عیب یابی مبتنی بر RL

معرفی روش

با پیچیده‌تر شدن سیستم‌های کنترلی و مکانیکی در حوزه‌هایی همچون هوافضا، رباتیک، سامانه‌های دریایی و صنعتی، نیاز به روش‌هایی هوشمند و تطبیقی برای شناسایی و مقابله با عیب‌ها بیش از پیش احساس می‌شود. یکی از رویکردهای نوین در این زمینه، بهره‌گیری از الگوریتم‌های یادگیری تقویتی (RL) است. یادگیری تقویتی، که از شاخه‌های اصلی یادگیری ماشین به شمار می‌رود، به عامل (agent) این امکان را می‌دهد تا از طریق تعامل با محیط و دریافت پاداش، راهبردی بهینه برای انجام وظیفه‌ای خاص بیاموزد.

در مسئله‌ی عیب‌یابی، هدف این است که عامل یاد بگیرد چگونه با مشاهده داده‌های محیط یا خروجی سیستم، وجود یک یا چند نوع عیب را شناسایی کند و در صورت امکان، تصمیمی بهینه برای جبران یا کنترل اثر آن عیب اتخاذ نماید. مزیت اصلی یادگیری تقویتی نسبت به روش‌های سنتی در این است که نیازی به مدل دقیق سیستم یا عیب ندارد و می‌تواند در محیط‌های پیچیده و نامعین نیز عملکرد قابل قبولی ارائه دهد.

در این پروژه، تلاش شد تا با پیاده‌سازی الگوریتم **Proximal Policy Optimization (PPO)** یکی از الگوریتم‌های پیشرفته در خانواده سیاست‌محور (policy-based) یادگیری تقویتی، مدلی طراحی شود که بتواند بر اساس داده‌های دریافتی از یک محیط شبیه‌سازی‌شده، اقدام به تشخیص یا تطبیق در برابر خطاهای احتمالی کند. با وجود چالش‌هایی در فرایند آموزش، این رویکرد توانست دیدگاه مفیدی درباره‌ی ظرفیت‌های RL در حوزه‌ی عیب‌یابی فراهم سازد.



شکل 9-1 عیب یابی AUV با استفاده از RL

آماده سازی داده ها

در این پروژه از پنج دسته داده مربوط به شرایط مختلف عملکردی و خطای یک سامانه بهره برداری شده است. این شرایط شامل حالت نرمال (Normal)، افزایش وزن (AddWeight)، آسیب خفیف به پروانه (PropellerDamage_slight)، آسیب شدید به پروانه (PropellerDamage_bad) و افزایش فشار ثابت (PressureGain_constant) می باشند. برای هر کلاس، تعداد ۵۰ فایل ثبت داده به صورت مجزا در نظر گرفته شد و داده ها پس از تجمیع، به صورت یک آرایه پیوسته جهت آموزش مدل مورد استفاده قرار گرفتند.

هر نمونه داده دارای ۱۷ ویژگی (feature) عددی بود که از حسگرهای مختلف سیستم جمع آوری شده است. برخلاف برخی رویکردهای رایج در پروژه های پیشین، در این مطالعه از اعمال تبدیل فوریه (FFT) بر روی داده ها خودداری شد. دلیل این تصمیم، دو نکته کلیدی بود:

1. حفظ حجم کامل داده ها: تبدیل فوریه معمولاً باعث کاهش بُعد زمانی داده ها و از بین رفتن جزئیاتی در فرکانس پایین یا بالا می شود. از آنجا که قصد داشتیم تمامی ویژگی های موجود در داده حفظ شوند و از کاهش حجم اطلاعات جلوگیری شود، از استفاده از FFT صرف نظر شد.
 2. تجربه موفق پیشین با CNN بدون FFT: در پروژه های پیشین نیز مشاهده شد که شبکه های عصبی کانولوشنی (CNN) حتی بدون استفاده از تبدیل فوریه عملکرد مناسبی در استخراج ویژگی از داده های خام داشته اند. بنابراین، فرض بر این بود که داده های خام نیز برای آموزش مدل RL، به ویژه در مرحله استخراج ویژگی، کافی هستند.
- برای افزایش تنوع داده ها و شبیه سازی شرایط متغیر در داده های حسگر، به داده ها نویز گوسی با واریانس کنترل شده اضافه شد. این کار باعث افزایش قابلیت تعمیم (generalization) مدل در برابر نویز و داده های دنیای واقعی می شود.

همچنین داده ها قبل از ورود به مدل با استفاده از استاندارد سازی (StandardScaler) نرمال شدند تا میانگین داده ها به صفر و انحراف معیار به یک برسد. این فرآیند موجب تسهیل در یادگیری مدل های مبتنی بر گرادیان مانند PPO می شود.

در پایان، داده‌ها جهت استفاده در مدل به شکلی که هر نمونه فقط شامل ۱۷ ویژگی عددی باشد، بازشکل‌دهی (reshape) شدند و داده‌های آموزش و آزمون به صورت جداگانه آماده‌سازی گردیدند.

طراحی محیط تقویتی AUV برای تشخیص عیب

ایجاد محیط و منطق پاداش‌دهی

در این پروژه، برای پیاده‌سازی سیستم تشخیص عیب مبتنی بر یادگیری تقویتی، یک محیط سفارشی طراحی شد که مطابق با قالب استاندارد کتابخانه Gym پیاده‌سازی شده است. این محیط داده‌های از پیش آماده‌شده‌ی مربوط به پنج کلاس مختلف از شرایط عملکردی یک وسیله‌ی زیرسطحی خودگردان (AUV) را دریافت می‌کند و در هر مرحله، یک نمونه تصادفی را به عامل (Agent) ارائه می‌دهد. عامل موظف است بر اساس مشاهده‌ی داده، کلاس صحیح (یعنی نوع عیب یا شرایط نرمال) را تشخیص دهد و بر اساس درستی یا نادرستی این تصمیم، پاداش دریافت کند.

شیوه‌ی پاداش‌دهی پویا (Dynamic Rewarding)

طراحی سیستم پاداش‌دهی یکی از مهم‌ترین بخش‌های یک محیط یادگیری تقویتی است و به شدت بر نرخ یادگیری و عملکرد عامل تأثیر می‌گذارد. در جریان این پروژه، چندین روش مختلف برای طراحی پاداش آزموده شد. از جمله:

پاداش ثابت: (Fixed reward)

در این روش، اگر پیش‌بینی عامل صحیح بود، پاداش ثابتی مثل 1+ و در صورت پیش‌بینی اشتباه، جریمه‌ای مثل 1- داده می‌شد. مشکل: این روش به شدت باعث سوگیری مدل به سمت کلاس‌هایی با فراوانی بیشتر می‌شد و یادگیری برای کلاس‌های کم‌تعداد دشوار بود.

پاداش بر اساس توزیع کلاس‌ها: (Class frequency-based reward)

در این روش وزن هر کلاس به صورت معکوس با فراوانی آن تنظیم می‌شود. اما این روش نیز در عمل باعث افت عملکرد در طبقه‌بندی کلی شد، چراکه دقت مدل برای کلاس‌های غالب کاهش پیدا می‌کرد.

انتخاب نهایی: پاداش دهی پویا با وزن دهی تطبیقی به کلاس‌ها

در نهایت، پاداش دهی پویا بر اساس دقت فعلی مدل در هر کلاس انتخاب شد. در این روش، در هر مرحله، دقت جداگانه‌ای برای هر کلاس به صورت نسبی محاسبه می‌شود (یعنی نسبت پیش‌بینی‌های صحیح به کل نمونه‌های دیده‌شده از آن کلاس). سپس، وزن پاداش هر کلاس به صورت معکوس با دقت فعلی آن تعیین می‌شود.

یعنی:

اگر مدل تاکنون در طبقه‌بندی یک کلاس عملکرد ضعیفی داشته باشد (دقت پایین)، وزن آن کلاس بیشتر خواهد بود.

اگر مدل برای یک کلاس خاص عملکرد خوبی داشته و دقت بالایی کسب کرده باشد، وزن آن کمتر در نظر گرفته می‌شود.

این وزن‌ها در هر مرحله به صورت پویا بازمحاسبه شده و نرمال‌سازی می‌شوند.

فرمول نهایی پاداش به این شکل است:

$$\text{Reward} = \begin{cases} +\text{Weight}[y_{\text{true}}], & \text{if the prediction is correct} \\ -0.5 \times \text{Weight}[y_{\text{true}}], & \text{otherwise} \end{cases}$$

که در آن:

$\text{Weight}[y_{\text{true}}]$ وزن مربوط به کلاس حقیقی است.

ضریب جریمه (penalty factor) به صورت ثابت و برابر با 0.5 در نظر گرفته شده است.

مزایای این روش پاداش‌دهی:

مقابله با عدم توازن داده‌ها: کلاس‌هایی که کمتر یا دشوارتر تشخیص داده می‌شوند، پاداش بیشتری به عامل می‌دهند و باعث هدایت توجه مدل به سمت آن‌ها می‌شوند.

سازگاری پویا با عملکرد عامل: برخلاف روش‌های ایستا، این پاداش در طول آموزش به صورت خودکار با تغییر دقت عامل در هر کلاس به‌روزرسانی می‌شود.

کاهش سوگیری: از آنجا که وزن‌ها در طول آموزش نرمال می‌شوند، از تمرکز بیش از حد بر روی کلاس‌های خاص جلوگیری می‌شود.

پایداری در آموزش: این روش منجر به پایداری و همگرایی بهتر در طول اپیزودهای آموزشی شد و نوسان‌های پاداش کاهش یافت.

مدل اول: DQN + Resnet Feature Extractor

1. استفاده از DQN برای دسته‌بندی

معمولاً DQN برای یادگیری سیاست بهینه در مسائل تصمیم‌گیری ترتیبی استفاده می‌شود، اما در این آزمایش، از آن برای مسئله طبقه‌بندی استفاده شده است. ایده این است که عامل RL، بر اساس مشاهده فعلی (شامل ۳ کانال از ویژگی‌های ۱۷ تایی)، یک عمل انتخاب کند که این عمل در واقع برچسب کلاس خطا (مثل "Normal" یا "Propeller Damage") باشد. اگر این عمل با برچسب واقعی تطابق داشته باشد، به عامل پاداش مثبت داده می‌شود؛ در غیر این صورت پاداش منفی دریافت می‌کند.

2. استخراج ویژگی با ResNet سفارشی

برای استخراج ویژگی‌های باکیفیت از داده‌های ورودی، از یک شبکه عصبی مبتنی بر معماری Residual استفاده شده است. شبکه ResNet مزیت مهمی دارد:

با اضافه کردن مسیر میانبر (shortcut)، مشکل ناپدید شدن گرادیان‌ها در شبکه‌های عمیق را کاهش می‌دهد و یادگیری پایدارتر و دقیق‌تری به ارمغان می‌آورد.

معماری پیشنهادی شامل چند بلوک residual است که هر کدام از چند لایه خطی، نرمال‌سازی (LayerNorm) و تابع فعال‌سازی ReLU تشکیل شده‌اند. این ویژگی‌ها پس از عبور از چند مرحله استخراج، به یک بردار ویژگی ۱۷ بعدی نهایی تبدیل می‌شوند که به عنوان ورودی به شبکه DQN داده می‌شود.

3. ساختار آموزش و پارامترهای یادگیری

برخی از مهم‌ترین تنظیمات آموزشی در این آزمایش عبارتند از:

- نرخ یادگیری پایین (0.00001) برای جلوگیری از نوسانات شدید در آموزش
- اندازه دسته بزرگ (128) برای بهبود پایداری گرادیان‌ها
- حافظه تجربی بزرگ (100000) برای حفظ تجربیات متنوع‌تر عامل
- تکرار به‌روزرسانی هدف هر 500 مرحله برای پایداری یادگیری-Q تابع
- اکتشاف تدریجی: عامل در ابتدا با احتمال ۱ به‌صورت کاملاً تصادفی عمل می‌کند و به‌تدریج این احتمال به ۰.۰۱ کاهش می‌یابد، تا عامل بتواند بین اکتشاف و بهره‌برداری تعادل برقرار کند

4. ارزیابی مدل حین آموزش با Callback سفارشی

برای پایش عملکرد مدل در طول آموزش، از یک Callback سفارشی استفاده شده است. این callback در هر اپیزود، پاداش‌ها و دقت‌های طبقه‌بندی را ثبت می‌کند، و هر چند هزار گام، نمودارهایی از روند یادگیری رسم می‌کند. همچنین اگر میانگین پاداش در ۱۰۰ اپیزود اخیر بهتر از قبل باشد، مدل ذخیره می‌شود.

علاوه بر آن، ماتریس درهم‌ریختگی (Confusion Matrix) بر روی داده‌های آموزشی ترسیم می‌شود تا مشخص شود مدل در شناسایی کدام کلاس‌ها عملکرد خوبی دارد و در کدام‌ها ضعیف است.

5. نتایج و ذخیره مدل

پس از پایان 50000 گام آموزشی، مدل نهایی ذخیره شده تا در آینده برای تست روی داده‌های جدید یا استقرار در سیستم‌های واقعی AUV مورد استفاده قرار گیرد. این مدل قادر است تنها با دریافت داده‌های لحظه‌ای از محیط، نوع خطای موجود در سیستم را تشخیص دهد.

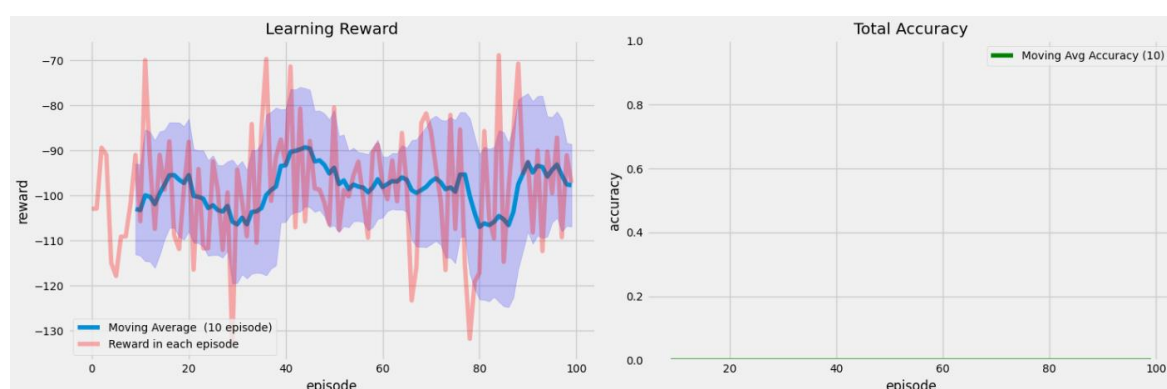
نتایج مدل اول

در مدل اول، که با استفاده از الگوریتم DQN پیاده‌سازی شده بود، دقت نهایی به صورت زیر به دست آمد:

- دقت یادگیری 25.14%

- دقت آزمون 25.28%

این مقادیر نشان می‌دهند که مدل عملکرد ضعیفی در یادگیری و تعمیم داشته است. با توجه به وجود پنج کلاس در داده، این سطح از دقت نزدیک به حد تصادفی است و بیانگر آن است که مدل نتوانسته الگوهای معناداری از داده‌ها استخراج کند. همچنین نزدیکی دقت آموزش و آزمون نشان می‌دهد که مدل حتی روی داده‌های آموزشی نیز به درستی یاد نگرفته است. این نتایج نیاز به بازنگری در معماری شبکه، تنظیمات تقویتی، یا روش‌های پیش‌پردازش را نشان می‌دهد.

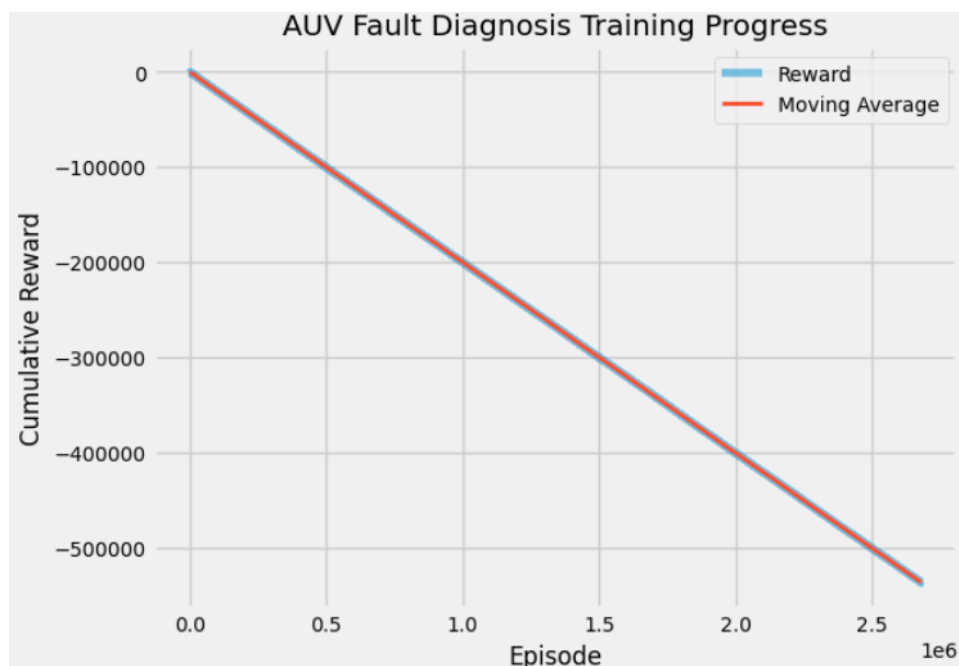


شکل 9-2 نمودار دقت و پاداش در طول آموزش مدل اول

در مدل اول که با استفاده از الگوریتم DQN پیاده‌سازی شده بود، دو نمودار مهم برای ارزیابی عملکرد مدل ترسیم شد: نمودار پاداش اپیزودها و نمودار دقت در طبقه‌بندی. بررسی این نمودارها نشان داد که عملکرد مدل در طول زمان رضایت‌بخش نبوده و پیشرفت محسوسی مشاهده نمی‌شود.

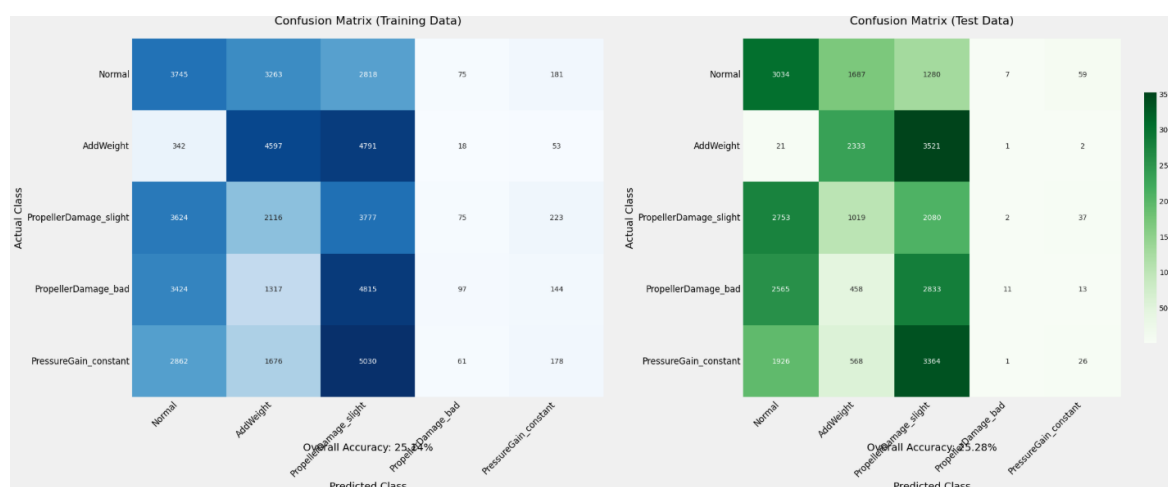
نمودار پاداش اپیزودها

نمودار تغییرات پاداش اپیزودها (Episode Rewards) نشان می‌دهد که مقدار پاداش در طی آموزش نوسانات زیادی دارد و میانگین متحرک آن نیز افزایش قابل توجهی نداشته است. همچنین انحراف معیار پاداش در بازه‌های زمانی مختلف نسبتاً بالا باقی مانده است. این موضوع نشان می‌دهد که مدل نتوانسته یک سیاست پایدار و مؤثر برای افزایش پاداش در محیط یادگیری پیدا کند.



شکل 9-3 نمودار پاداش در طول آموزش مدل اول

همانطور که مشاهده میکنید سیستم رو به ناپایداری رفته است. با برخی از تعاریف پاداش در محیط میتوان میزان پاداش را به سمت مثبت سوق داد اما از طرفی تنوع پیشبینی‌ها کم میشود و تاثیر منفی تری میگذارد.



شکل 4-9 ماتریس سردرگمی مدل اول

ماتریس سردرگمی مدل اول نشان می‌دهد که عملکرد مدل در تفکیک کلاس‌ها بسیار ضعیف بوده است. الگوی خاصی در پیش‌بینی‌ها دیده نمی‌شود و بیشتر مقادیر ماتریس در ستون‌ها و ردیف‌های نامرتب پراکنده هستند. این موضوع بیانگر آن است که مدل هیچگونه درک معناداری از ساختار داده یا تفاوت بین کلاس‌ها پیدا نکرده است.

در واقع، توزیع پیش‌بینی‌ها به گونه‌ای است که گویی مدل هیچ آموزشی ندیده یا صرفاً به صورت تصادفی عمل کرده است. این مسئله نشان می‌دهد که یا داده‌ها برای مدل مناسب آماده‌سازی نشده‌اند، یا معماری و تنظیمات مدل توانایی یادگیری این مسئله را نداشته است. در نتیجه، خروجی مدل نه تنها قابل اتکا نیست، بلکه نشانه‌ای از نیاز جدی به بازنگری در مراحل طراحی و آموزش آن دارد.

مدل دوم : Proximal Policy Optimization (PPO)

در مدل دوم، از الگوریتم **Proximal Policy Optimization (PPO)** برای آموزش عامل تقویتی استفاده شد. این الگوریتم از خانواده روش‌های مبتنی بر سیاست (Policy-based) و روش‌های Actor-Critic است که هدف آن بهینه‌سازی سیاست عامل با محدودسازی میزان تغییرات در هر مرحله به‌روزرسانی می‌باشد.

1. ساختار شبکه عصبی

برای طراحی شبکه، از معماری **Actor-Critic** با لایه‌های اشتراکی استفاده شد. شبکه شامل دو بخش اصلی است:

بخش مشترک (Shared layers): شامل دو لایه Fully Connected با اندازه ۱۲۸ نورون و تابع فعال‌سازی ReLU است.

بخش بازیگر (Actor head): یک لایه خطی که logits مربوط به توزیع اعمال ممکن را تولید می‌کند.

بخش منتقد (Critic head): یک لایه خطی که مقدار ارزش (value) حالت فعلی را تخمین می‌زند.

2. پیاده‌سازی عامل PPO

یک کلاس تحت عنوان **PPOAgent** تعریف شد که شامل موارد زیر است:

مقداردهی اولیه به شبکه Actor-Critic

تعیین بهینه‌ساز Adam با نرخ یادگیری اولیه $lr = 3e-4$

تعریف پارامترهای مربوط به تخفیف پاداش‌ها ($gamma = 0.99$) و پارامتر برش $clip_eps = 0.2$

متد `get_action` برای انتخاب عمل با استفاده از توزیع گسسته Categorical بر اساس logits خروجی شبکه

3. جمع‌آوری داده از محیط

در هر گام از تعامل عامل با محیط:

- حالت فعلی به شبکه داده می‌شود.

- عمل پیشنهادی با استفاده از نمونه‌گیری از توزیع احتمال محاسبه می‌شود.
- اطلاعات مرتبط از جمله: حلت، عمل، لاگ احتمال، مقدار ارزش (critic)، پاداش، و وضعیت پایان اپیزود ذخیره می‌شوند.

4. فرآیند بروزرسانی سیاست

پس از رسیدن به تعداد مشخصی از گام‌ها (مثلاً 2000 گام)، تابع `update_policy` برای بروزرسانی شبکه اجرا می‌شود. مراحل این بروزرسانی به شرح زیر است:

- محاسبه پاداش‌های تنزیل‌شده با استفاده از پارامتر `gamma`.
- محاسبه مزیت (Advantage) از تفاضل بین پاداش‌ها و مقدارهای `critic`.
- محاسبه نسبت احتمال جدید به احتمال قبلی برای کنترل میزان تغییر سیاست.
- تعریف تابع هزینه شامل سه بخش:
- زیان بازیگر (actor loss) بر اساس مقدار کمینه شده نسبت‌ها
- زیان منتقد (critic loss) بر اساس خطای مقدار ارزش
- زیان انترپی برای افزایش تنوع در انتخاب اعمال
- اجرای الگوریتم پس‌انتشار و به‌روزرسانی وزن‌های شبکه با استفاده از `optimizer`

5. فرآیند آموزش

تابع `train_ppo` وظیفه اجرای حلقه آموزش را بر عهده دارد:

- به ازای هر اپیزود، عامل از وضعیت اولیه شروع می‌کند.
- تا پایان اپیزود، عامل با محیط تعامل می‌کند و داده‌ها را در حافظه ذخیره می‌کند.
- در بازه‌های زمانی مشخص (طبق `update_interval`)، شبکه به‌روزرسانی می‌شود و حافظه پاک‌سازی می‌گردد.
- در پایان هر اپیزود، مجموع پاداش دریافتی ثبت می‌شود.
- در پایان آموزش، لیستی از مجموع پاداش‌های دریافتی در هر اپیزود بازگردانده می‌شود که می‌توان از آن برای تحلیل عملکرد عامل استفاده کرد.

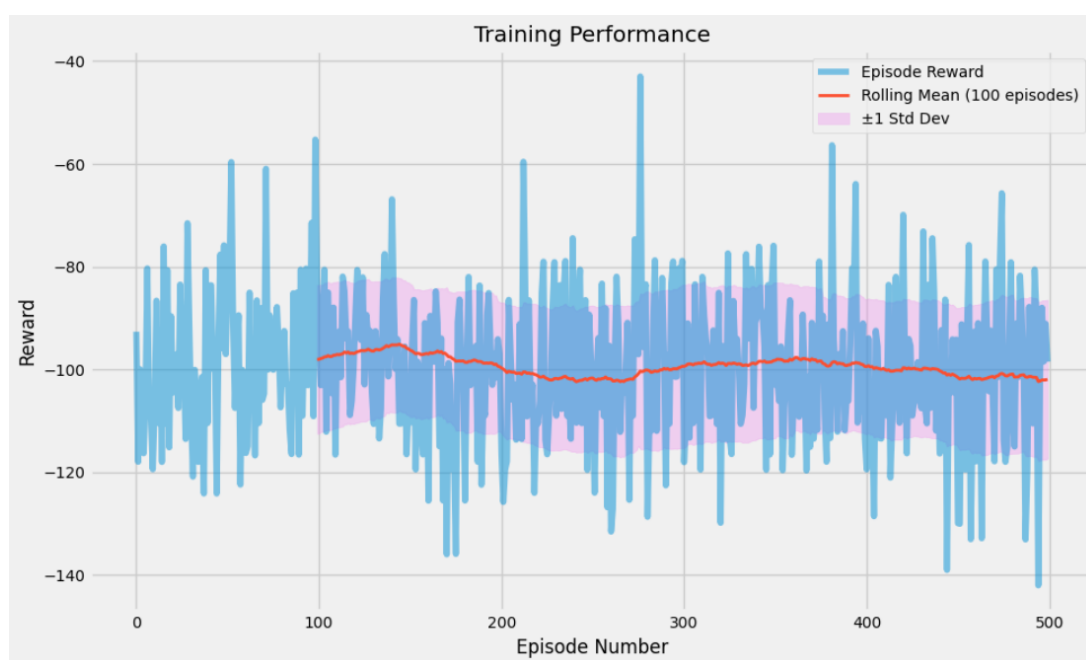
نتایج مدل دوم

در مدل دوم که با استفاده از الگوریتم PPO پیاده‌سازی شده بود، پس از پایان فرآیند آموزش، دقت مدل بر روی مجموعه‌های آموزش و تست محاسبه گردید:

- دقت یادگیری 22.35%

- دقت آزمون 22.37%

این مقادیر نشان می‌دهند که مدل عملکرد ضعیفی در طبقه‌بندی داده‌ها داشته و در تشخیص الگوهای مؤثر ناتوان بوده است. با توجه به اینکه داده‌ها شامل پنج کلاس مختلف هستند، این سطح از دقت تقریباً معادل با انتخاب تصادفی (random guessing) است و بیانگر آن است که مدل نتوانسته اطلاعات مفیدی از داده‌ها استخراج کند.

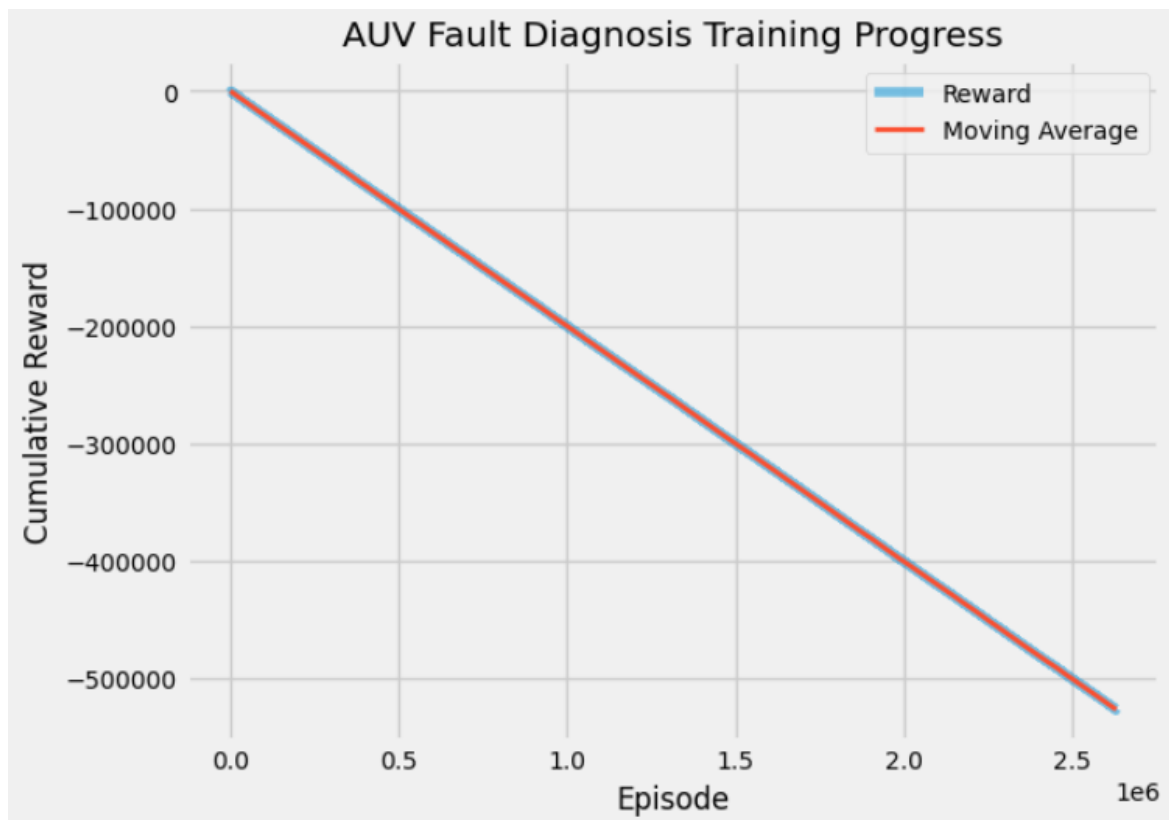


شکل 5-9 بررسی مدل دوم در طول آموزش

در این بخش، برای ارزیابی کیفیت آموزش عامل تقویتی مبتنی بر الگوریتم PPO، مجموع پاداش‌های دریافتی در هر اپیزود رسم و تحلیل شده است.

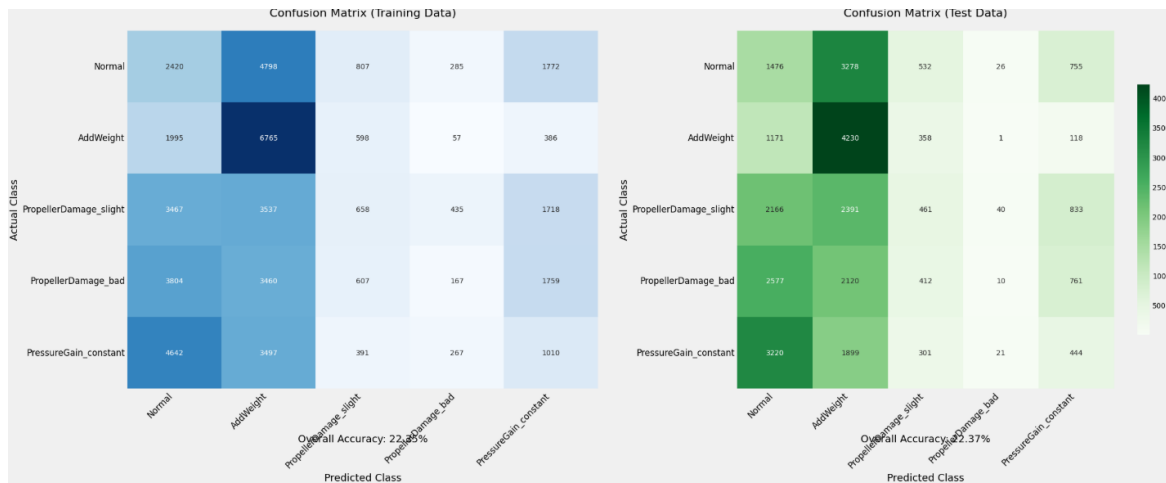
در نمودار ترسیم شده:

- خط آبی کم‌رنگ بیانگر مقدار پاداش دریافتی در هر اپیزود به صورت خام است.
 - خط پررنگ بنفش میانگین متحرک پاداش‌ها را با پنجره‌ای به طول ۱۰۰ اپیزود نشان می‌دهد که روند کلی عملکرد عامل را بهتر آشکار می‌کند.
 - ناحیه سایه‌دار بنفش نیز نشان‌دهنده‌ی انحراف معیار $1 \pm$ حول میانگین متحرک است که میزان نوسان و عدم قطعیت عملکرد را در طول آموزش مشخص می‌سازد.
- با بررسی این نمودار، مشاهده می‌شود که در طول اپیزودهای مختلف، روند مشخصی از بهبود عملکرد عامل قابل مشاهده نیست. به عبارت دیگر:
- پاداش‌ها دارای نوسانات زیاد و پراکندگی بالا هستند.
 - میانگین متحرک پاداش‌ها در محدوده نسبتاً ثابتی باقی مانده و افزایش چشمگیری در آن مشاهده نمی‌شود.
 - ناحیه انحراف معیار نیز نشان‌دهنده عدم پایداری در یادگیری سیاست عامل است.
- این وضعیت نشان می‌دهد که مدل در شرایط فعلی نتوانسته سیاست مناسبی برای بهینه‌سازی پاداش در محیط تقویتی یاد بگیرد. ممکن است دلایل مختلفی مانند انتخاب نامناسب پارامترها (نرخ یادگیری، پنجره بروزرسانی، تعداد اپیزودها)، ساختار شبکه یا ماهیت خود محیط، بر این موضوع تأثیر گذاشته باشد.



شکل 9-6 بررسی پاداش در طول آموزش مدل دوم

همانطور که مشاهده می‌کنید هیچ پیشرفتی در میزان پاداش مشاهده نمی‌شود و حتی سیستم رو به ناپایداری رفته است.



شکل 9-7 ماتریس سردرگمی مدل دوم

در مدل دوم که با استفاده از الگوریتم Proximal Policy Optimization (PPO) پیاده‌سازی شده است، برای ارزیابی عملکرد طبقه‌بندی مدل، از ماتریس سردرگمی (Confusion Matrix) استفاده شد. بررسی نتایج این ماتریس نشان داد که مدل در تشخیص صحیح کلاس‌های مختلف عملکرد بسیار ضعیفی داشته است.

به طور مشخص:

- بیشتر پیش‌بینی‌ها در یک یا چند کلاس خاص متمرکز شده‌اند.
- برخی از کلاس‌ها اصلاً به درستی تشخیص داده نشده‌اند و هیچ نمونه‌ای از آن‌ها به درستی طبقه‌بندی نشده است.
- توزیع اشتباهات به صورت تصادفی به نظر می‌رسد، به طوری که مدل قادر به یافتن الگوی مشخص یا قاعده‌ای از داده‌ها نبوده است.

این وضعیت نشان‌دهنده‌ی این است که مدل نتوانسته است ساختار یا الگوی مشخصی در داده‌ها یاد بگیرد و تصمیم‌گیری آن تقریباً بدون اطلاعات واقعی از ویژگی‌های داده انجام شده است. در نتیجه، می‌توان گفت که یادگیری مؤثری در مدل دوم رخ نداده و عملکرد آن تقریباً به سطح حدس تصادفی نزدیک است.

- دلایل احتمالی این ضعف می تواند شامل موارد زیر باشد:
- طراحی نامناسب ساختار شبکه یا پارامترهای آن
- نبود بازخورد طبقه بندی مشخص در فرآیند یادگیری تقویتی (RL)
- ناکافی بودن اطلاعات بازخورد (reward) برای تفکیک بین کلاس ها
- عدم انطباق معماری PPO با وظیفه ی طبقه بندی

نتایج و مقایسه مدل ها

هر دو مدل پیاده سازی شده مبتنی بر یادگیری تقویتی (DQN) و (PPO) در مسئله تشخیص عیب عملکرد ضعیفی داشتند. دقت نهایی مدل DQN در داده های آموزش و آزمون حدود 25% و برای مدل PPO حدود 22% بود. این مقادیر به وضوح نزدیک به حد تصادفی (Random Guessing) هستند و نشان دهنده عدم موفقیت مدل ها در یادگیری الگوهای مؤثر از داده ها می باشند.

ماتریس های سردرگمی نیز در هر دو مدل بیانگر این نکته بودند که هیچ گونه الگوی مشخص یا تسلطی در تشخیص صحیح کلاس ها وجود ندارد. پیش بینی ها در کلاس های نادرست پراکنده شده اند و در بیشتر موارد مدل ها به صورت تصادفی عمل کرده اند.

با توجه به این شواهد، می توان نتیجه گرفت که استفاده از الگوریتم های یادگیری تقویتی برای این مسئله خاص – یعنی تشخیص عیب از روی داده های زمان-فرکانس استخراج شده از سیگنال های – AUV موفقیت آمیز نبوده است.

یکی از دلایل اصلی این ناکارآمدی می تواند شباهت زیاد بین انواع مختلف عیب ها در فضای ویژگی استخراج شده باشد. در صورتی که ویژگی های ورودی نتوانند تفکیک مناسبی بین کلاس های عیب ایجاد کنند، یادگیری تقویتی نیز نخواهد توانست از طریق تعامل با محیط به سیاست تصمیم گیری مؤثری دست پیدا کند. همچنین، یادگیری تقویتی در ذات خود برای مسائل تعاملی و دارای بازخورد مرحله ای مناسب تر است، در حالی که این پروژه بیشتر جنبه طبقه بندی گسسته با داده های ایستا دارد.

فصل دهم:

جمع بندی و نتیجه گیری

در این فصل، پس از مرور و تحلیل نتایج به دست آمده از روش‌های مختلف تشخیص و دسته‌بندی خطا در سیستم‌های AUV، جمع‌بندی کلی درباره عملکرد هر روش و نقاط قوت و ضعف آنها ارائه می‌شود. این بررسی جامع، زمینه‌ای برای انتخاب بهترین روش یا ترکیبی از روش‌ها برای کاربردهای عملی فراهم می‌آورد.

ارزیابی هر روش

1. روش مبتنی بر مدل (Model-based)

تحلیل نتایج روش مبتنی بر مدل نشان می‌دهد که این رویکرد در کنترل ورودی‌ها و تخمین خطاها عملکرد قابل قبولی دارد. در محورهای X ، Y و عمق (Z)، پاسخ سیستم به مسیر مرجع بسیار نزدیک بوده اما در بعضی نقاط، به خصوص در انتهای بازه زمانی، انحرافات دیده می‌شود. نقطه ضعف اصلی در محور Yaw است که ناپایداری و انحراف شدید مشاهده شده و نیازمند بهبود قابل توجه در بخش کنترل و تخمین است.

پیشنهادهای بهبود شامل استفاده از کنترل‌کننده‌های غیرخطی مانند LQR غیرخطی، کنترل مقاوم و کنترل تطبیقی، بهبود ساختار شبکه‌های تخمین‌گر با استفاده از LSTM یا GRU، افزایش کیفیت و تنوع داده‌های آموزشی، و به کارگیری فیلترهای کالمن پیشرفته (EKF) برای کاهش نویز تخمین‌ها است. همچنین مدل‌سازی دقیق‌تر اغتشاشات محیطی و پارامترهای دینامیکی غیرخطی می‌تواند به افزایش دقت مدل کمک کند.

2. روش SVM

روش ماشین بردار پشتیبان (SVM) عملکرد نسبتاً ضعیفی در تشخیص انواع خطاها نشان داد؛ با دقت کلی حدود 41٪ که نشان می‌دهد این مدل به دلیل پیچیدگی بالای داده‌ها و تشابه بین کلاس‌ها، در تمایز دقیق نمونه‌ها چندان موفق نبوده است. دقت پایین به ویژه در کلاس‌هایی مانند PropellerDamage_bad نمایان است که نشان‌دهنده ناتوانی مدل در تشخیص حالات بحرانی است. در نتیجه، SVM برای این مسئله چندکلاسه و پیچیده چندان مناسب نیست و برای بهبود، نیاز به استفاده از ویژگی‌های دقیق‌تر یا روش‌های پیچیده‌تر است.

3. روش Deep Belief Network (DBN)

DBN توانسته است عملکرد بسیار موفق‌تری در تشخیص حالات مختلف خطا داشته باشد. دقت بیش از 95 درصد در تمامی کلاس‌ها، به‌ویژه دقت نزدیک به 100 درصد در کلاس‌هایی مانند AddWeight و PressureGain_constant. نشان‌دهنده قدرت بالای مدل در یادگیری ویژگی‌های پیچیده و تفکیک حالات مشابه است. این عملکرد قوی بیانگر این است که DBN می‌تواند به عنوان یک مدل قوی و قابل اعتماد برای سیستم‌های تشخیص عیب مورد استفاده قرار گیرد.

4. روش Autoencoder (MLP) و VAE

در بررسی دو مدل Autoencoder شامل MLP و Variational Autoencoder، هر دو عملکرد قابل قبولی در تشخیص ناهنجاری‌ها ارائه دادند. دقت بالا (0.99) در هر دو مدل نشان می‌دهد که مدل‌ها توانایی شناسایی دقیق ناهنجاری‌ها را دارند. با این حال، مدل MLP در بازخوانی ناهنجاری‌ها (Recall) کمی بهتر عمل کرده (0.80 در برابر 0.75).

VAE به دلیل بهره‌گیری از بازسازی داده‌ها و تحلیل خطای بازسازی، قابلیت‌های منحصر به فردی برای تشخیص ناهنجاری فراهم می‌کند و می‌تواند به طور تصویری به تحلیل خطا کمک کند. انتخاب بین این دو مدل بستگی به نیاز کاربرد و پیچیدگی داده‌ها دارد؛ MLP برای داده‌های ساده‌تر و VAE برای داده‌های پیچیده‌تر و تحلیلی مناسب‌تر است.

5. روش CNN

شبکه عصبی کانولوشنی (CNN) در این پروژه عملکرد بسیار برجسته‌ای داشت، با دقت کلی نزدیک به 98٪ و مقادیر بالا در precision، recall و f1-score برای تمامی کلاس‌ها. این نشان‌دهنده توانایی فوق‌العاده CNN در استخراج ویژگی‌های مؤثر و تشخیص دقیق حالات مختلف خطا است. بنابراین، CNN یکی از بهترین گزینه‌ها برای کاربردهای عملی در تشخیص خطاهای AUV محسوب می‌شود.

6. ساختار ResNet

ساختار ResNet با داده‌های مورد استفاده، عملکرد نسبتاً ضعیفی داشت؛ با دقت کلی حدود 42٪ و مقادیر پایین در precision و recall. این نتیجه نشان می‌دهد که استفاده از ResNet در این مسئله خاص و با داده‌های موجود نیازمند بهینه‌سازی‌های بیشتر یا تغییر در پیش‌پردازش داده‌ها است.

7. یادگیری انتقالی (Transfer Learning)

روش‌های یادگیری انتقالی در این پروژه نتایج متفاوتی داشتند؛ مدل‌های یادگیری انتقالی روی داده‌های تصویری مانند VGG16 عملکرد نسبتاً مناسبی داشتند (دقت 63٪)، اما روی داده‌های جدولی (Tabular) یا مدل‌های ResNet1D عملکرد ضعیفی ثبت شد. به طور کلی، یادگیری انتقالی روی داده‌های ساختاریافته جدولی چندان مؤثر نبوده و احتمالاً به دلیل تفاوت زیاد داده‌های مبدا و مقصد است.

8. یادگیری تقویتی (RL)

در این پروژه، بخش مربوط به یادگیری تقویتی تازه نوشته شده و نتایج آن به تفصیل ارائه نشده است، اما روش‌های RL به دلیل توانایی یادگیری سیاست‌های کنترلی و تصمیم‌گیری در شرایط پیچیده، می‌توانند در آینده نقش مهمی در بهبود تشخیص و کنترل سیستم‌های AUV ایفا کنند.

روش	دقت تقریبی (%)	مزایا	معایب	هزینه پیاده سازی و اجرا
مدل مبتنی بر تحلیل سیستم (Model-Based)	85-90	تحلیل فیزیکی و تبیین رفتار سیستم، پایه قوی کنترل	نیازمند مدل دقیق، حساس به پارامترها، پیچیدگی طراحی	متوسط (نیاز به مهندس سیستم و مدل سازی)
ماشین بردار پشتیبان (SVM)	~41	ساده و سریع، مناسب مسائل با داده های کم	دقت پایین در داده های پیچیده، عدم مقیاس پذیری بالا	کم (کتابخانه های آماده، اما نیاز به تنظیمات)
شبکه باور عمیق (DBN)	95+	دقت بسیار بالا، یادگیری ویژگی های پیچیده	نیازمند داده زیاد و زمان آموزش طولانی	زیاد (نیاز به منابع سخت افزاری قوی و زمان آموزش)
Autoencoder (MLP)	99	دقت بسیار بالا، شناسایی ناهنجاری های ظریف	نیاز به تنظیم دقیق، حساس به داده های آموزش	متوسط تا زیاد (بسته به پیچیدگی مدل)
Autoencoder (VAE)	99	قابلیت بازسازی و تحلیل خطا، شناسایی دقیق ناهنجاری	کمی پیچیده تر و زمان آموزش بیشتر نسبت به MLP	زیاد (پیچیده تر و نیازمند منابع)
شبکه عصبی کانولوشنی (CNN)	98	قابلیت استفاده از مدل های از پیش آموزش دیده	عملکرد ضعیف در این پروژه، نیاز به تنظیمات دقیق	زیاد (پیچیده و زمان بر)
یادگیری انتقالی	70-80	کاهش زمان آموزش، استفاده از مدل های قدرتمند	دقت متوسط، نیازمند داده های مشابه حوزه هدف	متوسط تا زیاد
یادگیری تقویتی (RL)	25	خودسازمان دهی و بهبود مستمر سیاست ها	نیاز به آموزش طولانی، پیچیدگی بالا	زیاد (نیاز به محاسبات و آموزش مکرر)

جدول 10-1 مقایسه روش های عیب یابی

نتیجه‌گیری کلی

با توجه به نتایج به دست آمده، می‌توان چنین جمع‌بندی کرد که:

- مدل‌های یادگیری عمیق، به‌ویژه شبکه‌های کانولوشنی (CNN) و شبکه‌های باور عمیق (DBN)، بهترین عملکرد را در تشخیص دقیق و پایدار انواع خطاها و ناهنجاری‌ها دارند و گزینه‌های بسیار مناسبی برای کاربردهای صنعتی و عملیاتی محسوب می‌شوند.
 - روش‌های مبتنی بر مدل (Model-Based) با وجود محدودیت‌هایی، به دلیل قابلیت تبیین و تحلیل فیزیکی سیستم، همچنان پایه و اساس خوبی برای فهم رفتار سیستم و طراحی کنترل بهینه فراهم می‌کنند.
 - الگوریتم‌های کلاسیک‌تر مانند SVM و یادگیری انتقالی در برخی کاربردها محدودیت‌هایی داشتند و نیاز به بهبود و تطبیق دقیق‌تر دارند.
 - روش‌های نوین مانند Autoencoder ها با قابلیت بازسازی داده‌ها و تحلیل خطای بازسازی، به عنوان رویکردهای کمکی و مکمل می‌توانند در تحلیل‌های دقیق‌تر و شناسایی ناهنجاری‌های پیچیده‌تر بسیار موثر باشند.
 - رویکردهای نوظهور یادگیری تقویتی پتانسیل بالایی برای آینده این حوزه دارند و باید به طور گسترده‌تری توسعه و آزمایش شوند.
- در نهایت، انتخاب روش مناسب تشخیص خطا و ناهنجاری وابسته به شرایط عملیاتی، نوع داده‌ها، پیچیدگی سیستم و هدف کاربرد است و می‌توان از ترکیب چندین روش برای دستیابی به بهترین عملکرد بهره برد.

منابع و مراجع

Autonomous underwater vehicle fault diagnosis dataset Daxiong Ji, Xin Yao, Shuo Li , Yuanguai Tang , Yu Tian [1]